

วงจรถัดสัญญาณรบกวนแบบปรับตัวได้ใช้โครงสร้างแบบขนาน  
ADAPTIVE NOISE CANCELLER WITH PARALLEL BLOCK STRUCTURE



ปริญญานิพนธ์นี้เป็นส่วนหนึ่งของการศึกษาตามหลักสูตรปริญญาอุตสาหกรรมศาสตรบัณฑิต

ภาควิชาวิศวกรรมสารสนเทศ

คณะวิศวกรรมศาสตร์

สถาบันเทคโนโลยีพระจอมเกล้าเจ้าคุณทหารลาดกระบัง

ปีการศึกษา 2544

เลขที่.....  
เลขทะเบียน..... 46413  
วัน, เดือน, ปี - 1 เม.ย. 2546

b.....  
i.....

เอกสารนี้เป็นเอกสารที่สงวนไว้สำหรับการใช้งานเพื่อการศึกษาเท่านั้น ไม่อนุญาตให้นำไปใช้ประโยชน์ด้านการค้า  
ไม่ว่ากรณีใดๆ ทั้งสิ้น อีกทั้งห้ามมิให้ดัดแปลงเนื้อหา และต้องอ้างอิงถึงเจ้าของเอกสารทุกครั้งที่มี

๓๒๕๑

หัวข้อวิทยานิพนธ์      วงจรขจัดสัญญาณรบกวนแบบปรับตัวได้ใช้โครงสร้างแบบขนาน  
TITLE                      Adaptive Noise Canceller with Parallel Block Structure  
โดย                            นาย ชูกร ไกรธนานันต์ รหัส 42015488  
อาจารย์ที่ปรึกษา        รศ.ชวลิต เบญจางคประเสริฐ  
ภาควิชา                      วิศวกรรมสารสนเทศ  
คณะ                        วิศวกรรมศาสตร์  
ปีการศึกษา                2544

วิทยานิพนธ์ฉบับนี้เป็น ได้รับอนุมัติให้เป็นส่วนหนึ่งของการศึกษาตามหลักสูตรวิศวกรรม  
ศาสตรบัณฑิต คณะวิศวกรรมศาสตร์ สถาบันเทคโนโลยีพระจอมเกล้าเจ้าคุณทหารลาดกระบัง



ลิขสิทธิ์ของคณะวิศวกรรมศาสตร์ สถาบันเทคโนโลยีพระจอมเกล้าเจ้าคุณทหารลาดกระบัง  
เอกสารนี้เป็นเอกสารที่สงวนไว้สำหรับการใช้งานเพื่อการศึกษาเท่านั้น ไม่อนุญาตให้นำไปเผยแพร่  
ไม่ว่ากรณีใดๆ ทั้งสิ้น อีกทั้งห้ามมิให้ตัดแปลงเนื้อหา และต้องอ้างอิงถึงเจ้าของเอกสารทุกครั้งที่มีการนำไปใช้

หัวข้อปริญญานิพนธ์	วงจรถัดสัญญาณรบกวนแบบปรับตัวได้ใช้โครงสร้างแบบขนาน
นักศึกษา	นาย จูกร ไกรชนานันต์ รหัส 42015488
อาจารย์ผู้ควบคุมปริญญานิพนธ์	รศ.ชวลิต เบญจางคประเสริฐ
ระดับการศึกษา	ปริญญาอุตสาหกรรมศาสตรบัณฑิต
ภาควิชา	วิศวกรรมสารสนเทศ
ปีการศึกษา	2544

#### บทคัดย่อ

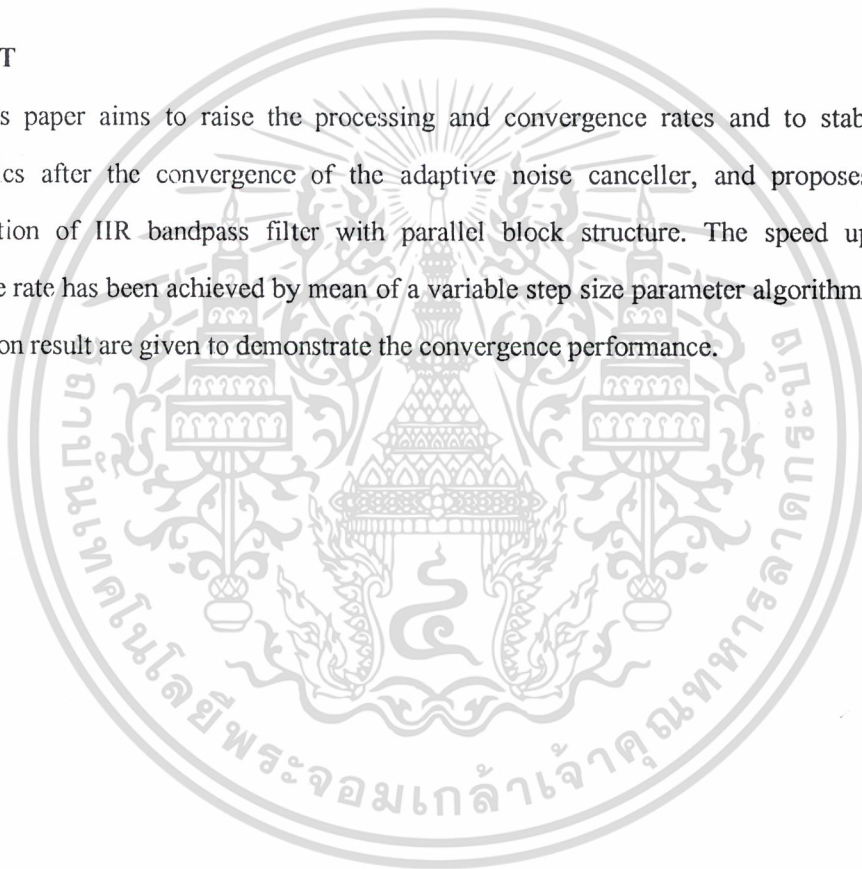
โครงการฉบับนี้เสนอการออกแบบวงจรถัดสัญญาณรบกวนด้วยวงจรถอดดิจิทัลแบบดีพาสแบบ IIR โดยใช้โครงสร้างแบบขนาน เพื่อเพิ่มความเร็วในการทำงาน และวงจรถอดสัญญาณรบกวนได้ดี ใช้อะแดปทีฟอัลกอริทึมแบบปรับค่าได้ ผลการจำลองการทำงานด้วยโปรแกรมคอมพิวเตอร์แสดงถึงสมรรถนะของวงจรถัดสัญญาณรบกวน



**PROJECT TITLE** Adaptive Noise Canceller With Parallal Block Structure  
**STUDENT** Mr. Thakon Kraithananun No 42015488  
**ADVISOR** Assoc.Prof.Chawalit Benjangkprasert  
**COURSE** Bachelor of Industrial Technology  
**DEPARMENT** Information Engineering  
**YEAR** 2001

### ABSTRACT

This paper aims to raise the processing and convergence rates and to stabilize the characteristics after the convergence of the adaptive noise canceller, and proposes a new implementation of IIR bandpass filter with parallel block structure. The speed up of the convergence rate has been achieved by mean of a variable step size parameter algorithm. Finally, the simulation result are given to demonstrate the convergence performance.



เอกสารนี้เป็นเอกสารที่สงวนไว้สำหรับการใช้งานเพื่อการศึกษาเท่านั้น ไม่อนุญาตให้นำไปใช้ประโยชน์ด้านการค้า  
ไม่ว่ากรณีใดๆ ทั้งสิ้น อีกทั้งห้ามมิให้ดัดแปลงเนื้อหา และต้องอ้างอิงถึงเจ้าของเอกสารทุกครั้งที่มีการนำไปใช้

## กิตติกรรมประกาศ

การที่โครงการนี้สำเร็จลงได้นั้นทางคณะผู้จัดทำขอขอบพระคุณต่อท่านทั้งหลายที่กรุณาให้ความอนุเคราะห์ ร่วมมือให้คำปรึกษาและชี้แนะ โดยเฉพาะ รศ.ชวลิต เบญจางคประเสริฐ ที่ให้คำปรึกษาและชี้แนะ เพื่อนักศึกษา มหาวิทยาลัยพระจอมเกล้าธนบุรี ที่ให้คำปรึกษาในการเขียนโปรแกรม

คณะผู้จัดทำ



เอกสารนี้เป็นเอกสารที่สงวนไว้สำหรับการใช้งานเพื่อการศึกษาเท่านั้น ไม่อนุญาตให้นำไปใช้ประโยชน์ด้านการค้า ไม่ว่ากรณีใดๆ ทั้งสิ้น อีกทั้งห้ามมิให้ดัดแปลงเนื้อหา และต้องอ้างอิงถึงเจ้าของเอกสารทุกครั้งที่มีการนำไปใช้

## สารบัญ

เรื่อง	หน้า
บทคัดย่อ	I
ABSTRACT	II
กิตติกรรมประกาศ	III
บทที่ 1 บทนำ	1
วัตถุประสงค์ของโครงการ	2
บทที่ 2 การประมวลผลสัญญาณทางดิจิทัล	3
2.1 Time-Domain analysis	3
2.1.1 The impulse response	3
2.1.2 Step response	4
2.2 Digital convolution	5
2.3 Frequency-Domain analysis	7
2.3.1 Discrete time Fourier series (DTFS)	7
2.3.2 Discrete time Fourier transform (DTFT)	8
2.3.3 Important properties of the Fourier transform	10
2.3.4 Frequency responses of LTI system	11
2.3.5 Transfer function	12
2.4 Z-Transform	17
2.4.1 The inverse Z-transform	18
2.4.2 Plane poles and zeros	18
2.4.3 First and second order of LTI system	20
2.5 การตอบสนองต่อรูปคลื่นสัญญาณอนันต์	23
บทที่ 3 การวิเคราะห์และออกแบบ	26
3.1 วงจรจัดสัญญาณรบกวนแบบปรับตัวได้	26
3.2 การเปลี่ยนค่า Step Size Parameter	27
3.3 ทบทวนเกี่ยวกับ fast adaptive algorithm อย่างง่าย	27

เอกสารนี้เป็นเอกสารที่สงวนไว้สำหรับการใช้งานเพื่อการศึกษาเท่านั้น ไม่อนุญาตให้นำไปใช้ประโยชน์ด้านการค้า  
ไม่ว่ากรณีใดๆ ทั้งสิ้น อีกทั้งห้ามมิให้ตัดแปลงเนื้อหา และต้องอ้างอิงถึงเจ้าของเอกสารทุกครั้งที่มีการนำไปใช้

## สารบัญ (ต่อ)

3.4 Fast adaptive algorithm โดยการใช้โครงสร้างแบบบล็อกขนาน	30
3.5 การวิเคราะห์ convergence rate ของ $\alpha_0(k)$	41
3.6 Adaptive control signal generator โดยการใช้โครงสร้าง parallel block	45
บทที่ 4 โปรแกรมแสดงคุณสมบัติต่างๆ	58
บทที่ 5 บทสรุป	86
เอกสารอ้างอิง	87



เอกสารนี้เป็นเอกสารที่สงวนไว้สำหรับการใช้งานเพื่อการศึกษาเท่านั้น ไม่อนุญาตให้นำไปใช้ประโยชน์ด้านการค้า  
ไม่ว่ากรณีใดๆ ทั้งสิ้น อีกทั้งห้ามมิให้ดัดแปลงเนื้อหา และต้องอ้างอิงถึงเจ้าของเอกสารทุกครั้งที่มีการนำไปใช้

## สารบัญรูป

รูปที่	หน้า
รูปที่ 1.1 Block Diagram ของ Adaptive Digital Filter	1
รูปที่ 1.2 Block Diagram ของ Adaptive Digital Filter โดยใช้โครงสร้างแบบขนาน	2
รูปที่ 2.1 Sequence of $\sin(0.25\pi)$	3
รูปที่ 2.2 Impulse จะเข้าสู่ระบบเพื่อการวิเคราะห์ที่ละตัวเรียงต่อเนื่อง	3
รูปที่ 2.3 แสดงถึง Impulse response	4
รูปที่ 2.4 แสดงถึงการคำนวณค่าของ $y(n)$ ที่ $n = 1$	5
รูปที่ 2.5 Digital convolution process	6
รูปที่ 2.6 Spectrum ของ Fourier และ Fourier Transform	7
รูปที่ 2.7 สัญญาณลักษณะที่เป็นรายคาบถูกเปลี่ยนเป็นแบบไม่รายคาบ	9
รูปที่ 2.8 แสดงถึง Spectrum ของ Impulse ปกติและที่ถูกเลื่อนไป 1 Sample	10
รูปที่ 2.9 แสดงถึงผลการป้อน Sinusoidal เข้าสู่ระบบ LTI	12
รูปที่ 2.10 แสดงถึงอัตราส่วนของ เอ๊าท์พุทต่ออินพุทก็คือ Transfer Function	13
รูปที่ 2.11 แสดงลำดับสัญญาณ $x[n]$	17
รูปที่ 2.12 Z – plane with unit circle	19
รูปที่ 2.13 Amplitude Z – plane with unit circle	20
รูปที่ 2.14 แสดงภาพจำลองของ Low, High pass filter ของ First order system	22
รูปที่ 2.15 Z – plane pole – zeros ของระบบ second order	23
รูปที่ 3.1 ค่าความสัมพันธ์ที่เหมาะสมที่สุดระหว่าง $\alpha_0(k)$ กับ $\alpha_1(k)$	30
รูปที่ 3.2 แสดง Characteristics curves ของ $m_{\alpha_0}(L, I)$	44
รูปที่ 3.3 โครงสร้างแบบบล็อกรูปขนาน	55
รูปที่ 3.4 วงจรปรับค่าสัมประสิทธิ์ล่าสุด	56

## สารบัญตาราง

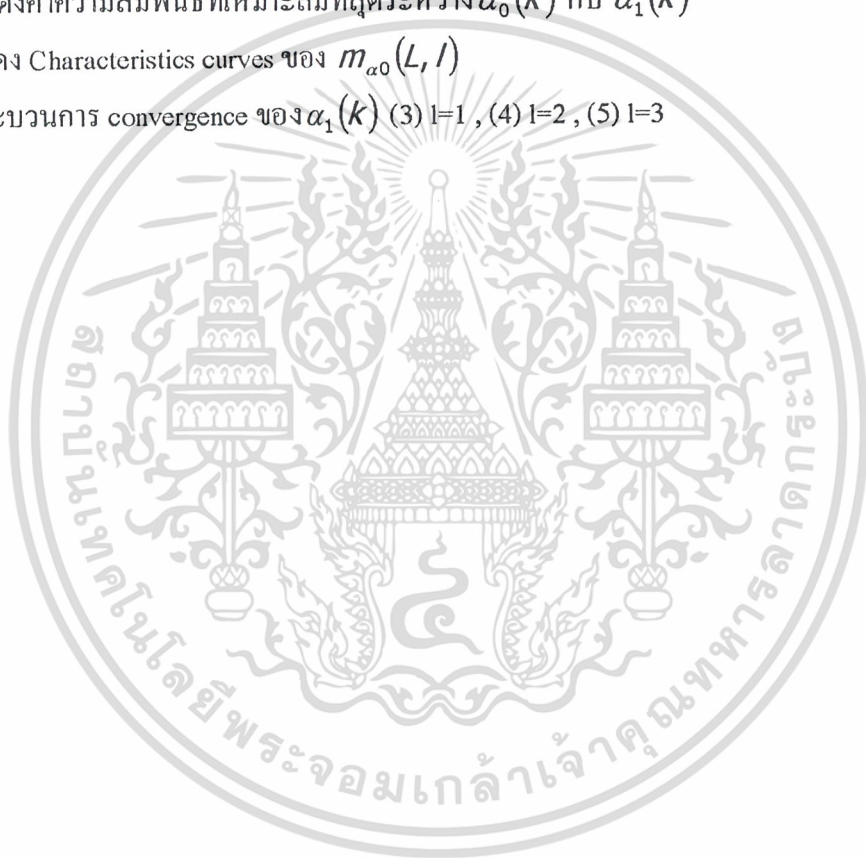
ตารางที่	หน้า
ตารางที่ 1 Discrete Fouries series : properties	11
ตารางที่ 2 Discrete Fouries transform : properties	14
ตารางที่ 3 การแปลงสัญญาณสำคัญโดย Fourier Transform	15
ตารางที่ 4 การคำนวณที่สลับซับซ้อนของโครงสร้าง scalar แบบใหม่	45
ตารางที่ 5 การคำนวณที่สลับซับซ้อนของ parallel block structure แบบใหม่	55



เอกสารนี้เป็นเอกสารที่สงวนไว้สำหรับการใช้งานเพื่อการศึกษาเท่านั้น ไม่อนุญาตให้นำไปใช้ประโยชน์ด้านการค้า  
ไม่ว่ากรณีใดๆ ทั้งสิ้น อีกทั้งห้ามมิให้ดัดแปลงเนื้อหา และต้องอ้างอิงถึงเจ้าของเอกสารทุกครั้งที่มีการนำไปใช้

## สารบัญกราฟ

หัวข้อ	หน้า
กราฟคุณสมบัติของ $ H(\omega) $ เทียบกับ $\omega$	58
กราฟคุณสมบัติของ $ H(\omega) $ เทียบกับ $\alpha_1$	62
กราฟคุณสมบัติของ $\alpha_1$ เทียบกับ $k$ เมื่อ $L=1$	65
กราฟคุณสมบัติของ $m\alpha_0(L, l)$ กรณี $L=1$	69
กราฟแสดงค่าความสัมพันธ์ที่เหมาะสมที่สุดระหว่าง $\alpha_0(k)$ กับ $\alpha_1(k)$	73
กราฟแสดง Characteristics curves ของ $m\alpha_0(L, l)$	76
กราฟกระบวนการ convergence ของ $\alpha_1(k)$ (3) $l=1$ , (4) $l=2$ , (5) $l=3$	85



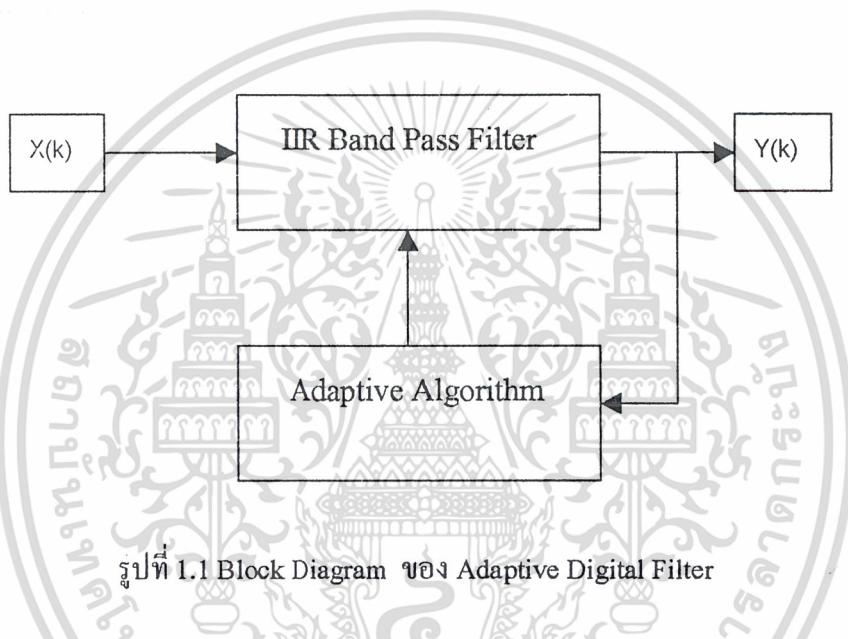
เอกสารนี้เป็นเอกสารที่สงวนไว้สำหรับการใช้งานเพื่อการศึกษาเท่านั้น ไม่อนุญาตให้นำไปใช้ประโยชน์ด้านการค้า  
ไม่ว่ากรณีใดๆ ทั้งสิ้น อีกทั้งห้ามมิให้ดัดแปลงเนื้อหา และต้องอ้างอิงถึงเจ้าของเอกสารทุกครั้งที่มีการนำไปใช้

# บทที่ 1

## บทนำ

### Adaptive Noise Canceller

#### วงจรขจัดสัญญาณรบกวนแบบปรับตัว

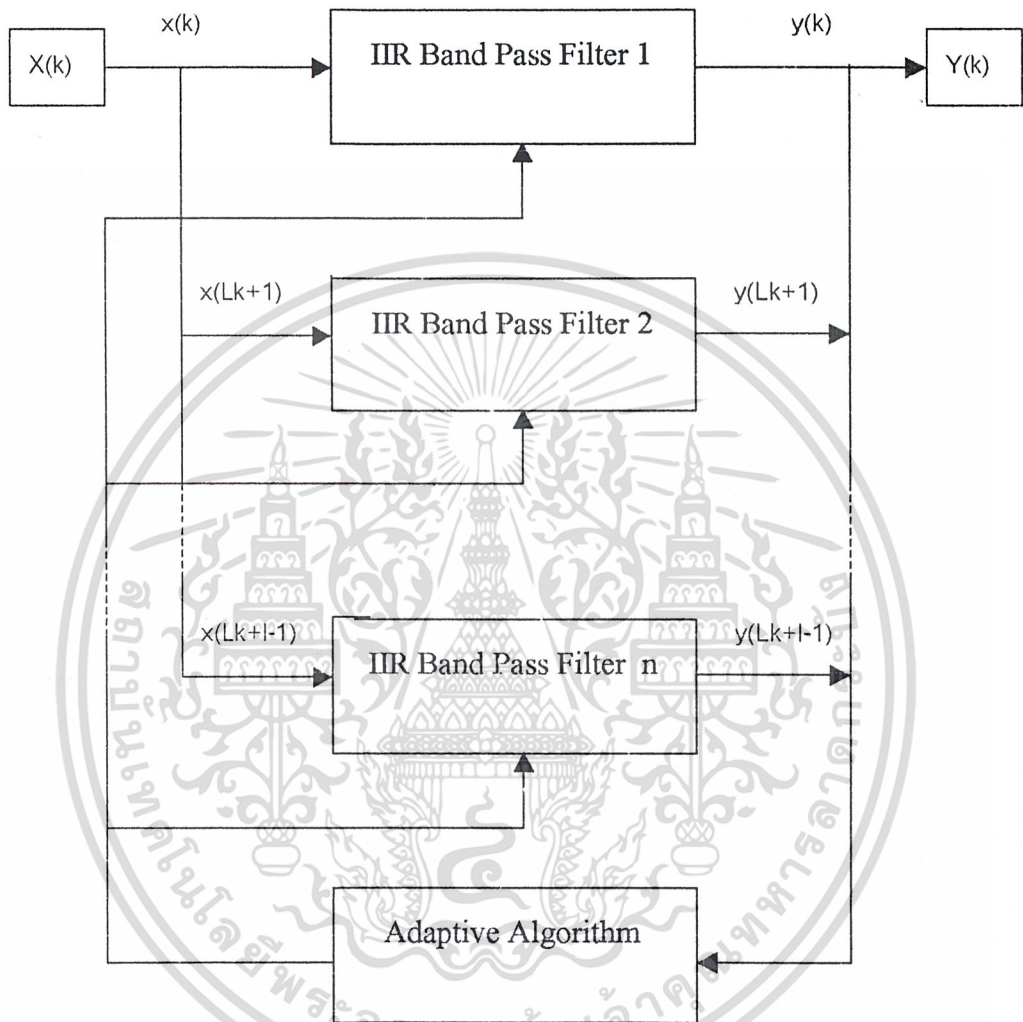


รูปที่ 1.1 Block Diagram ของ Adaptive Digital Filter

การนำไปใช้งานอย่างหนึ่งของ adaptive digital filter ก็คือ สามารถที่จะ detect สัญญาณไซน์ที่ถูกรบกวนด้วยสัญญาณรบกวนแบบ Gaussian noise วิธีการในการทำ adaptive detection มี 2 อย่างคือ

- 1) วิธีการที่ใช้สัญญาณอินพุตอ้างอิง
- 2) วิธีการที่ใช้ Bandpass หรือ Notch filter ผสมกับการปรับเปลี่ยนความถี่เชิงมุม ( $\omega_0$ ) กลาง โดยปริยายนิพนธ์ฉบับนี้จะเน้นที่วิธีที่ 2 โดยใช้ Bandpass Filter

การเพิ่มความเร็วของขบวนการ adaptive detection เป็นสิ่งที่จำเป็นในการใช้งานของ adaptive filter กับช่วงความถี่สูง ดังนั้นเราจึงใช้วิธีการแบบบล็อคขนานเพื่อเพิ่มความเร็วในการ detect สัญญาณไซน์



รูปที่ 1.2 Block Diagram ของ Adaptive Digital Filter โดยใช้โครงสร้างแบบขนาน  
วัตถุประสงค์ของโครงการ

ปริญญานิพนธ์นี้จึงสร้างวงจรกรองความถี่ที่สามารถลดทอนสัญญาณรบกวนได้ดี โดยการออกแบบวงจรอะแดปทีฟอัลกอริทึมประยุกต์เข้ากับวงจรกรองความถี่แบบไอไออาร์แบนด์พาสฟิลเตอร์ อย่างไรก็ตาม algorithm นี้มีปัญหา 2 ข้อ ข้อแรกคือ อัตราการลู่เข้ามีค่าค่อนข้างต่ำ เมื่อ Q-factor filter มีค่าสูง และ resolution จะมีค่าต่ำ เมื่อ Q-factor มีค่าต่ำ ทั้งนี้เกิดจากใช้ Q-factor และ IIR filter คงที่ ซึ่งเมื่อพิจารณา non-block structure, เช่น scalar type ANC และ วิธีที่จะเอาชนะปัญหาต่าง ๆ เหล่านี้จะต้องพัฒนาการใช้ adaptive Q-factor control

เอกสารนี้เป็นเอกสารที่สงวนไว้สำหรับการใช้งานเพื่อการศึกษาเท่านั้น ไม่อนุญาตให้นำไปใช้ประโยชน์ด้านการค้า ไม่ว่ากรณีใดๆ ทั้งสิ้น อีกทั้งห้ามมิให้ดัดแปลงเนื้อหา และต้องอ้างอิงถึงเจ้าของเอกสารทุกครั้งที่มีการนำไปใช้

## บทที่ 2

### การประมวลผลสัญญาณทางดิจิทัล ( Digital Signal Processing )

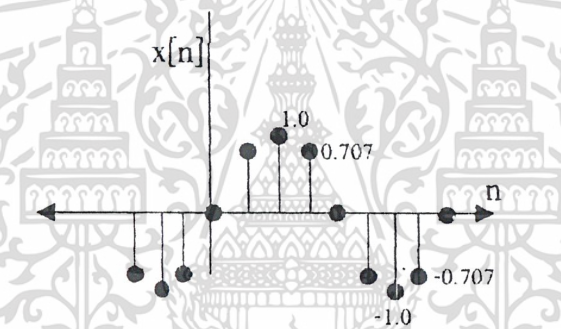
#### 2.1 Time-Domain analysis

การประมวลผลสัญญาณไฟฟ้าในแกนเวลา (Time-Domain) สามารถกระทำได้โดยใช้วิธีการ Convolution ทำให้สามารถหาค่าผลของเอาพุต  $y(n)$  จากระบบ LTI จากลักษณะของอินพุต  $x(n)$  ซึ่งสามารถเขียนสมการ Convolution ได้ดังนี้

$$y(n) = H(\text{การกระทำใดๆกับ}) x(n)$$

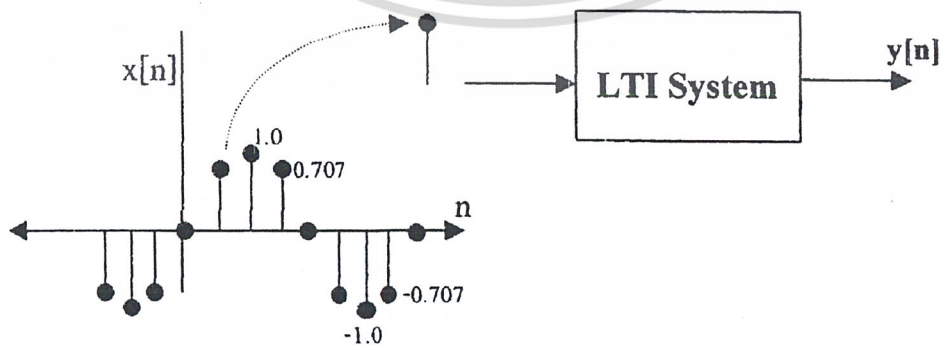
##### 2.1.1 The impulse response

สัญญาณในระบบดิจิทัลจะมีลักษณะเป็นสัญญาณที่ไม่ต่อเนื่องเช่น รูป 2.1



รูปที่ 2.1 Sequence of  $\sin(0.25\pi)$

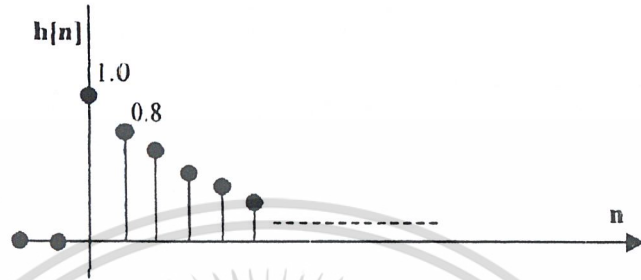
การประมวลผลจะเหมือนกับการเลื่อนเอา Impulse ที่ละตัวของ  $x(n)$  เข้าสู่ระบบ (System) ดังรูป



รูป 2.2 Impulse จะเข้าสู่ระบบเพื่อการวิเคราะห์ที่ละตัวเรียงต่อเนื่อง

เอกสารนี้เป็นเอกสารที่สงวนไว้สำหรับการใช้งานเพื่อการศึกษาเท่านั้น ไม่อนุญาตให้นำไปใช้ประโยชน์ด้านการค้า ไม่ว่ากรณีใดๆ ทั้งสิ้น อีกทั้งห้ามมิให้ดัดแปลงเนื้อหา และต้องอ้างอิงถึงเจ้าของเอกสารทุกครั้งที่มีการนำไปใช้

เราสามารถหาค่าของสัญญาณเข้าพุท  $y(n)$  ได้จากสัญญาณอินพุท แต่ละตัวของ  $x(n)$  โดยการบวกผลตอบสนองของสัญญาณแต่ละตัวรวมกัน



รูปที่ 2.3 แสดงถึง Impulse response

สัญญาณเข้าพุทจะเรียกว่า “Impulse response” จะใช้สัญลักษณ์คือ  $h(n)$  ซึ่งเป็นการบอกให้ทราบว่ารูปสัญญาณ  $h(n)$  คือผลของการตอบสนองของระบบต่อสัญญาณอินพุท ที่เป็น Impulse  $h(n)$  เป็นการแสดงถึง Characteristic ระบบ ซึ่งอาจเป็น High pass, Low pass การนำเอา Impulse response ของแต่ละตำแหน่งของจุดสัญญาณมารวมกัน เรียกว่า Convolution มีสมการพื้นฐานดังนี้

$$y(n) = \sum_{k=-\infty}^{\infty} x(k)h(n-k) \quad (1)$$

### 2.1.2 Step Response

Step Response เป็นสัญญาณทดสอบที่สำคัญอันหนึ่งเราสามารถสร้างได้จาก ผลรวมของ  $\delta(n)$  จาก  $m = -\infty$  ถึง  $+\infty$  หรือเขียนได้เป็น

$$u(n) = \sum_{m=-\infty}^n \delta(m) \quad (2)$$

ค่าของ  $u(n)$  คือค่าของระบบตอบสนองต่อสัญญาณ Amplitude หาก Response ของ  $u(n)$  และ  $\delta(n)$  คือ  $s(n)$  และ  $h(n)$  เราสามารถเขียนสมการได้ใหม่เป็น

$$s(n) = \sum_{m=-\infty}^n h(m) \quad (3)$$

ดังนั้นสมการที่ 3 ก็สามารพิจารณาความสัมพันธ์ ของระบบ คือ

$\delta(n)$  เมื่อรวมที่ทุกค่าของ  $n$  เราได้  $u(n)$  และค่าของผลตอบสนองระบบคือ  $s(n)$

เอกสารนี้เป็นเอกสารที่สงวนไว้สำหรับการใช้งานเพื่อการศึกษาเท่านั้น ไม่อนุญาตให้นำไปใช้ประโยชน์ด้านการค้า ไม่ว่ากรณีใดๆ ทั้งสิ้น อีกทั้งห้ามมิให้ตัดแปลงเนื้อหา และต้องอ้างอิงถึงเจ้าของเอกสารทุกครั้งที่มีการนำไปใช้

$\delta(n)$  มีค่าผลตอบสนองของระบบคือ  $h(n)$  และเมื่อรวมค่า  $h(n)$  ทุกค่าของ  $n$  เราได้  $s(n)$

## 2.2 Digital Convolution

การกระทำการ Convolution คือการป้อนสัญญาณ Impulse เข้าสู่ระบบซึ่งแต่ละ Impulse ที่ป้อนนั้นก็จะมีค่าที่ได้ออกจากระบบที่เป็น Impulse response ที่เหมือนกันที่ Amplitude แต่ต่างกันที่ตำแหน่งเวลาดังสมการ

$$y(n) = \dots + x(-2)h(n+2) + x(-1)h(n+1) + x(0)h(n-1) \\ + x(1)h(n-1) + x(2)h(n-2) + \dots$$

หรือ

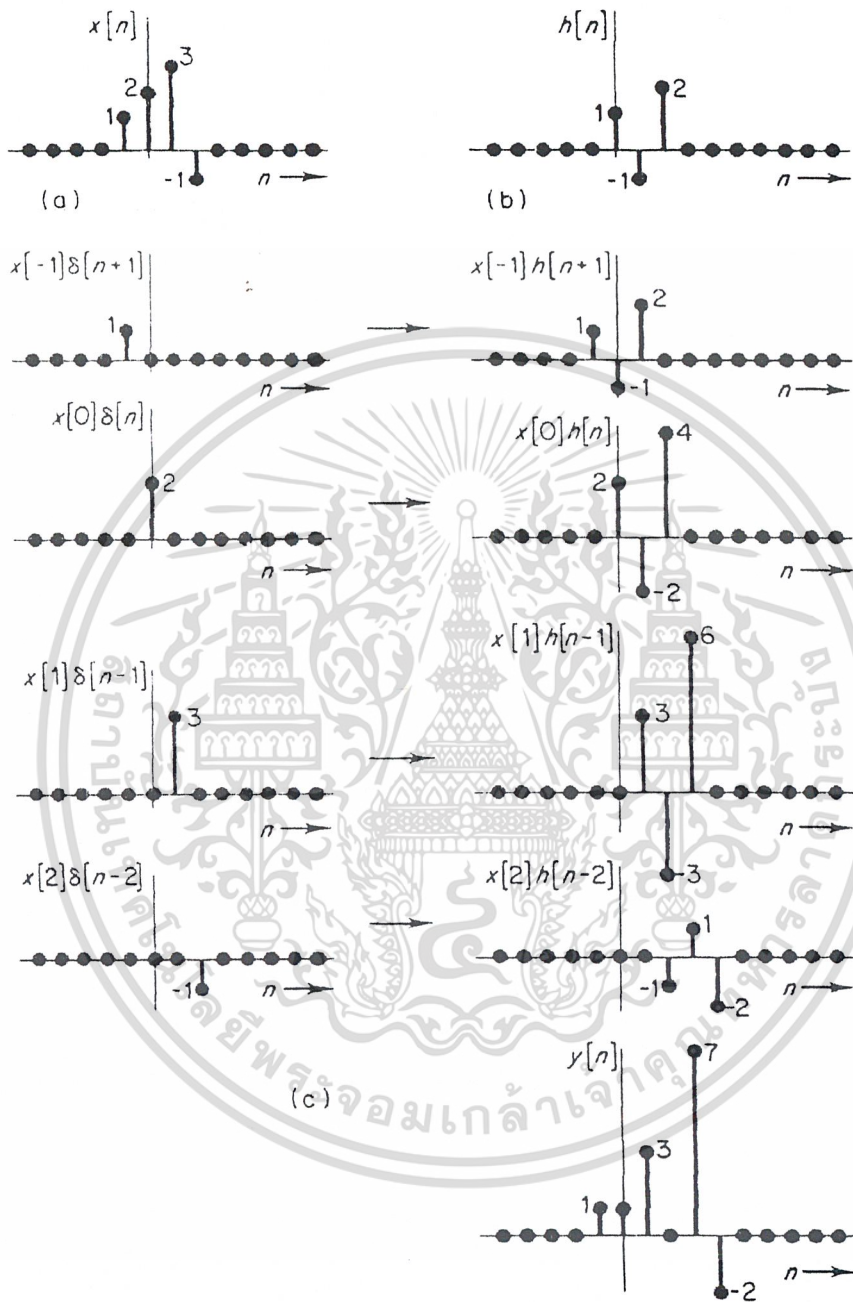
$$y(n) = \sum_{k=-\infty}^{\infty} x(k)h(n-k) \quad (4)$$

จากสมการ 4 เราสามารถใช้คำนวณค่าที่ต้องการได้เลย ดังรูปที่ 2.4



รูปที่ 2.4 แสดงถึงการคำนวณค่าของ  $y(n)$  ที่  $n = 1$

เอกสารนี้เป็นเอกสารที่สงวนไว้สำหรับการใช้งานเพื่อการศึกษาเท่านั้น ไม่อนุญาตให้นำไปใช้ประโยชน์ด้านการค้า ไม่ว่ากรณีใดๆ ทั้งสิ้น อีกทั้งห้ามมิให้ดัดแปลงเนื้อหา และต้องอ้างอิงถึงเจ้าของเอกสารทุกครั้งที่มีการนำไปใช้



รูปที่ 2.5 Digital Convolution process

เอกสารนี้เป็นเอกสารที่สงวนไว้สำหรับการใช้งานเพื่อการศึกษาเท่านั้น ไม่อนุญาตให้นำไปใช้ประโยชน์ด้านการค้า  
ไม่ว่ากรณีใดๆ ทั้งสิ้น อีกทั้งห้ามมิให้ดัดแปลงเนื้อหา และต้องอ้างอิงถึงเจ้าของเอกสารทุกครั้งที่มีการนำไปใช้

เมื่อนำระบบมาต่อร่วมกันแบบอนุกรม ( Associative Law )

เมื่อนำระบบมาต่ออนุกรมกันผลรวมของ  $h(n)$  ที่ได้ก็จะเป็นผลของ  $h(n)$  ของแต่ละระบบทำการ Convolution กัน

$H_t = h_1 * h_2$  เมื่อ  $H_t$  คือ Impulse response ของระบบทั้งหมด จะได้ค่า

$$x(n) * \{h_1(n) * h_2(n)\} = \{x(n) * h_1(n)\} * h_2(n)$$

เมื่อนำระบบมาต่อร่วมกันแบบขนาน ( Distributive Law )

เมื่อระบบถูกนำมาต่อร่วมกันในแบบขนาน ผลรวมของ  $h(n)$  ทั้งระบบ ( $H_t$ ) ก็จะมีค่าเป็นการบวกกันของ

$h(n)$  แต่ละค่านั้นคือ  $H_t = h_1 + h_2$

$$x(n) * \{h_1(n) + h_2(n)\} = \{x(n) * h_1(n)\} + \{x(n) * h_2(n)\} \quad (5)$$

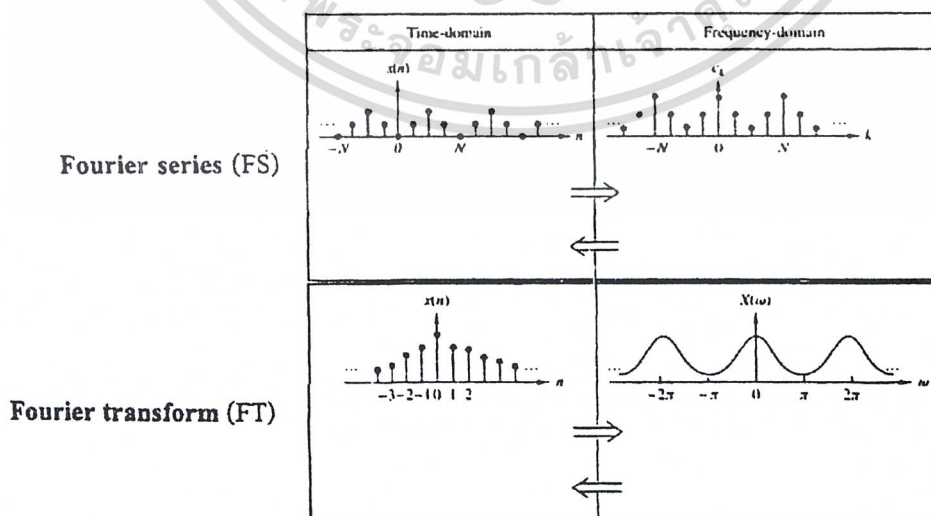
เราจะได้ผลของการ Convolution เป็น

$$y(n) = \{H_t * x(n)\} \quad (6)$$

### 2.3 Frequency-Domain Analysis

การประมวลผลสัญญาณไฟฟ้าในแกนความถี่ ( Frequency-Domain ) เราจะใช้ Fourier Series และ Fourier Transform ในการหาค่าผลรวมของน้ำหนัก ( Weight sum ) ของส่วนประกอบ Harmonically Sinusoids

ส่วนของสัญญาณที่ไม่ต่อเนื่องมีลักษณะแบบ Non-repetitive หรือ Aperiodic ก็สามารถแสดงได้โดยการ Integral ของ Sinusoids โดยไม่มีความสัมพันธ์ทาง Harmonic มาเกี่ยวข้อง



รูปที่ 2.6 Spectrum ของ Fourier และ Fourier Transform

เอกสารนี้เป็นเอกสารที่สงวนไว้สำหรับการใช้งานเพื่อการศึกษาเท่านั้น ไม่อนุญาตให้นำไปใช้ประโยชน์ด้านการค้า ไม่ว่าจะกรณีใดๆ ทั้งสิ้น อีกทั้งห้ามมิให้ตัดแปลงเนื้อหา และต้องอ้างอิงถึงเจ้าของเอกสารทุกครั้งที่มีการนำไปใช้

### 2.3.1 Discrete Time Fourier Series (DTFS)

Sequence ที่มีลักษณะเป็นรายคาบหรือมีลักษณะครบรอบ สัญญาณเหล่านี้จะสามารถแยกส่วนประกอบของมันออกมาวิเคราะห์ได้ จะประกอบไปด้วยสัญญาณ Sinusoidal อันเดียวหรือหลายๆอันรวมกัน สามารถเขียนสมการได้คือ

$$x(n) = \sum_{k=0}^{N-1} a_k e^{j\omega_0 kn} \quad (7)$$

สมการที่ 7 คือสมการทาง Time-domain ของ  $x(n)$  ถ้าเราทำการเปลี่ยนแปลงค่าของ  $x(n)$  จาก Time-domain ไปสู่ Frequency-domain จะได้สมการใหม่คือ

$$\sum_{n=0}^{N-1} x(n) e^{-\frac{j2\pi n}{N} k} = a_k N \quad (8)$$

นั่นคือ

$$a_k = \frac{1}{N} \sum_{n=0}^{N-1} x(n) e^{-\frac{j2\pi n}{N} k} \quad (9)$$

โดยที่  $a_k$  คือ ขนาน Line spectrum  
 $k$  คือ ตำแหน่งความถี่ ( Harmonic )

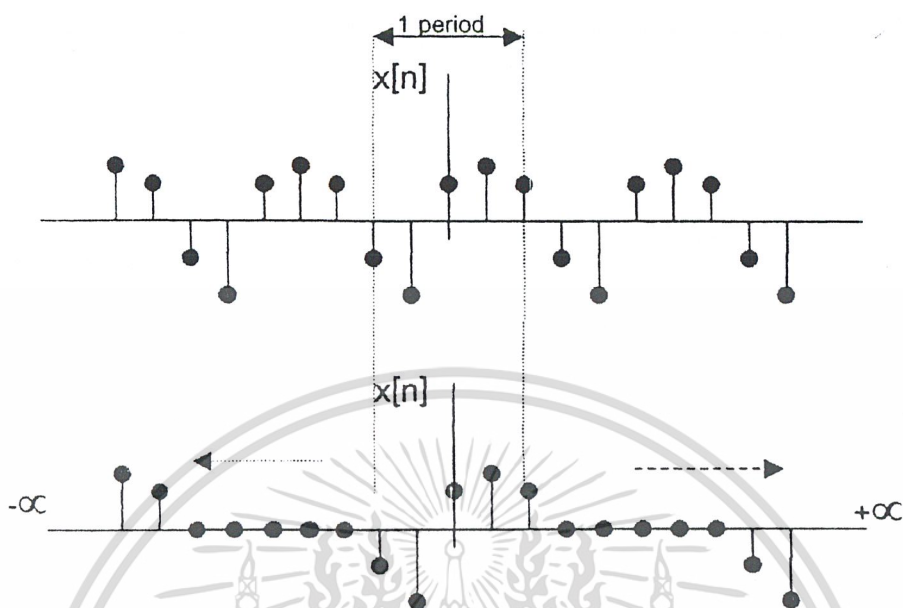
### 2.3.2 Discrete Time Fourier Transform (DTFT)

สัญญาณในความเป็นจริงแล้วมักจะหรือส่วนมากมีลักษณะไม่เป็นรายคาบ หรืออาจจะมีลักษณะเป็นรายคาบแต่มีการเปลี่ยนแปลงไปเป็นอย่างอื่นไม่ต่อเนื่องตลอดช่วง  $\pm \infty$  สัญญาณที่ไม่มีกรกกลับมาซ้ำ ตัวเอง เราจะใช้การวิเคราะห์ส่วนประกอบของสัญญาณโดย Fourier series ไม่ได้เพราะว่ามีข้อจำกัดอยู่ที่ว่ามันจะถูกใช้ในการวิเคราะห์หาความถี่ที่มีลักษณะรายคาบ ( ติดต่อกันจาก  $+\infty$  ถึง  $-\infty$  ) เราจึงจำเป็นต้องใช้วิธีการหาแบบ DTFT (Discrete Time Fourier Transform)

สมการที่ 10 เป็น Analysis equation ของการวิเคราะห์ที่ไม่เป็นรายคาบ

$$X(\omega_{k-1}) = X(e^{j\omega_{k-1}}) = \sum_{n=-\infty}^{\infty} x(n) e^{-j\omega_{k-1} n} \quad (10)$$

เอกสารนี้เป็นเอกสารที่สงวนไว้สำหรับการใช้งานเพื่อการศึกษาเท่านั้น ไม่อนุญาตให้นำไปใช้ประโยชน์ด้านการค้า ไม่ว่ากรณีใดๆ ทั้งสิ้น อีกทั้งห้ามมิให้ตัดแปลงเนื้อหา และต้องอ้างอิงถึงเจ้าของเอกสารทุกครั้งที่มีการนำไปใช้



รูปที่ 2.7 สัญญาณลักษณะที่เป็นรายการถูกเปลี่ยนเป็นแบบไม่รายการ

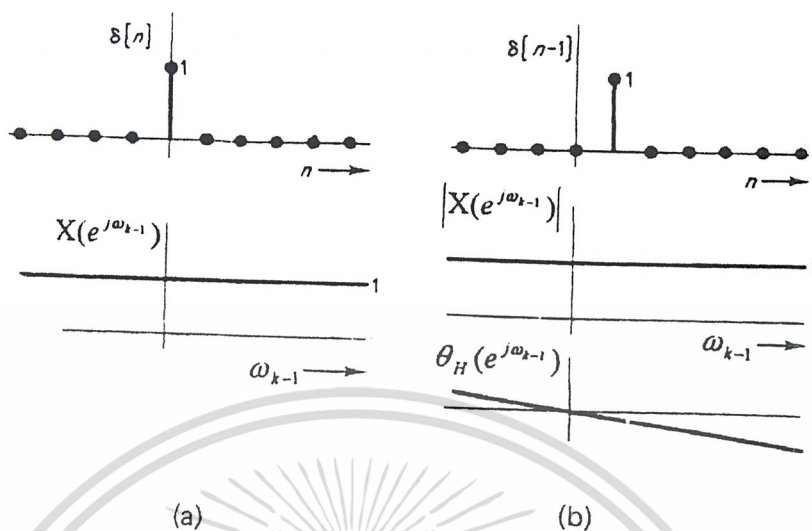
ทำการ Inverse DTFT จะได้ค่า

$$x(n) = \frac{1}{2\pi} \sum_{k=0}^{N-1} X(e^{j\omega_{k-1}}) e^{j\omega_0 k n} \omega_0 \tag{11}$$

เขียนใหม่ให้เป็นสมการของการวิเคราะห์สัญญาณที่ไม่เป็นรายการ

( Synthesis equation)

$$x(n) = \frac{1}{2\pi} \int_{2\pi} X(e^{j\omega_{k-1}}) e^{j\omega_{k-1} n} d\omega_{k-1} \tag{12}$$



รูปที่ 2.8 แสดงถึง Spectrum ของ Impulse ปกติและที่ถูกลื่อนไป 1 Sample

### 2.3.3 Important properties of the Fourier transform

Linearity เพื่อความเข้าใจคุณสมบัติ linearity เราจะใช้อินพุต สัญญาณในรูปแบบ  
รวมกัน คือ

$$y(n) = \{ax_1(n) + bx_2(n)\} \tag{13}$$

จากนั้นเราก็ทำ Fourier Transform

$$Y(e^{j\omega_{k-1}}) = a \cdot \sum_{n=-\infty}^{\infty} x_1(n) \cdot e^{-j\omega_{k-1}n} + b \cdot \sum_{n=-\infty}^{\infty} x_2(n) \cdot e^{-j\omega_{k-1}n} \tag{14}$$

จากคำตอบข้างบนจะเห็นว่าคุณสมบัติ Linearity ยังคงมีอยู่ใน Fourier Transform

Periodicity และ Time shifting ค่าของ Fourier จะมีค่าวนมาค่าเดิมทุกๆค่าของ  $\omega_{k-1}$  ที่เพิ่มหรือลดเท่ากับ  $2\pi$  เราจะแสดงให้เห็นได้โดยเพิ่มช่วงความถี่ของการคำนวณ Fourier ไปเป็นจำนวนเท่าของ  $2\pi$  เรากำหนดให้จำนวนเท่าเป็น k ดังนั้นเราจะได้

$$H(e^{j(\omega_{k-1} + 2\pi k)}) = \sum_{n=-\infty}^{\infty} h(n) e^{-j\omega_{k-1}n} e^{-j2\pi kn} \tag{15}$$

ค่าจริงทุกค่าของ  $k$  จะเห็นได้ว่า  $e^{-j2\pi kn}$  มีค่าเป็น 1 ตลอด จึงสรุปได้ว่า

$$H(e^{j(\omega_{k-1}+2\pi k)}) = H(e^{j\omega_{k-1}}) \quad (16)$$

Convolution จะมีลักษณะเหมือนกับ Convolution sum คือเราจะใช้อินพุท สัญญาณในรูปแบบรวมกัน คือ

$$x_1(n) * x_2(n) \Leftarrow FT \Rightarrow x_1(e^{j\omega_{k-1}})x_2(e^{j\omega_{k-1}}) \quad (17)$$

Property or operation	Periodic signal	DTFS
Transformation	$x[n]$	$a_k = \sum_{n=0}^{N-1} x[n]e^{-j2\pi kn/N}$
Inverse transformation	$x[n] = \sum_{k=0}^{N-1} a_k e^{j2\pi kn/N}$	$a_k$
Linearity	$Ax_1[n] + Bx_2[n]$	$Aa_k + Bb_k$
Time-Shifting	$x[n-n_0]$	$a_k e^{-j2\pi n_0 k/N}$
Time-differentiation	$x[n] - x[n-1]$	$a_k \{1 - e^{-j2\pi k/N}\}$
Periodic convolution	$\sum_{m=0}^{N-1} x_1[m]x_2[n-m]$	$Na_k b_k$
Modulation	$x_1[n]x_2[n]$	$\sum_{m=0}^{N-1} a_m b_{k-m}$

ตารางที่ 1 Discrete Fourier Series : properties

### 2.3.4 Frequency responses of LTI system

เอาพุทของระบบเป็นผลของการ Convolution ของอินพุทกับ Unit sample responses ของระบบ  $h(n)$  ดังสมการ (1)

$$y(n) = \sum_{k=-\infty}^{\infty} x(k)h(n-k) \quad (18)$$

จากสมการข้างบนเปลี่ยน  $k$  เป็น  $p$  จะได้ จะได้สมการเป็น

$$y(n) = \sum_{k=-\infty}^{\infty} x(p)h(n-p) \quad (19)$$

เอกสารนี้เป็นเอกสารที่สงวนไว้สำหรับการใช้งานเพื่อการศึกษาเท่านั้น ไม่อนุญาตให้นำไปใช้ประโยชน์ด้านการค้า ไม่ว่ากรณีใดๆ ทั้งสิ้น อีกทั้งห้ามมิให้ตัดแปลงเนื้อหา และต้องอ้างอิงถึงเจ้าของเอกสารทุกครั้งที่มีการนำไปใช้

ดังนั้นเราจะได้

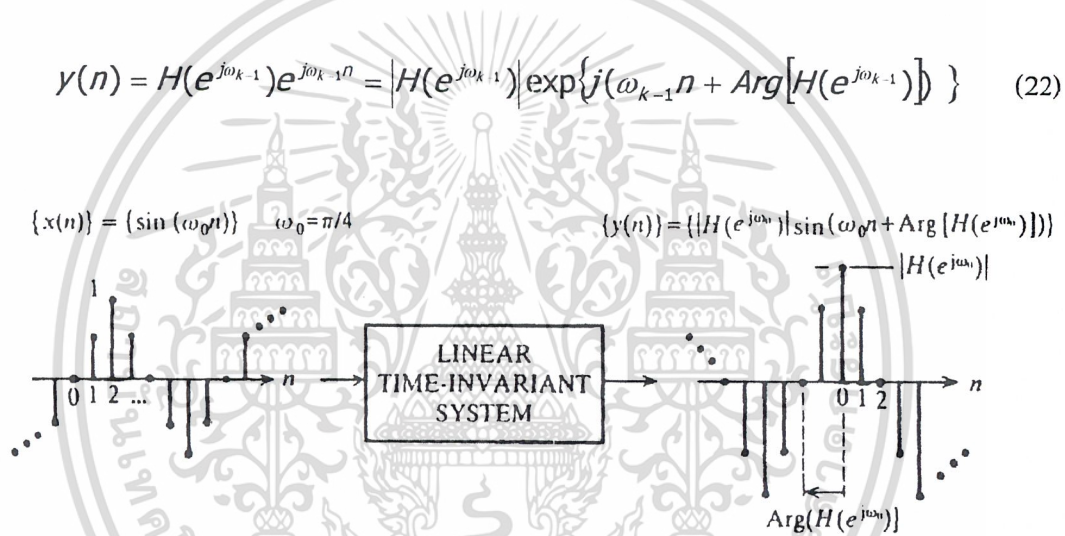
$$y(n) = e^{j\omega_{k-1}n} \sum_{p=-\infty}^{\infty} h(n) e^{-j\omega_{k-1}p} \quad (20)$$

เราสามารถเขียนอีกรูปแบบหนึ่งโดยใช้การเขียนแบบ Complex vector notation เมื่อเปลี่ยน  $p$  เป็น  $n$  เราจะได้

$$H(e^{j\omega_{k-1}}) = \sum_{n=-\infty}^{\infty} h(n) e^{-j\omega_{k-1}n} = |H(e^{j\omega_{k-1}})| e^{j\omega_{k-1}n} \quad (21)$$

เมื่อรวมกับสมการที่ 18 จะได้

$$y(n) = H(e^{j\omega_{k-1}}) e^{j\omega_{k-1}n} = |H(e^{j\omega_{k-1}})| \exp\{j(\omega_{k-1}n + \text{Arg}[H(e^{j\omega_{k-1}})])\} \quad (22)$$



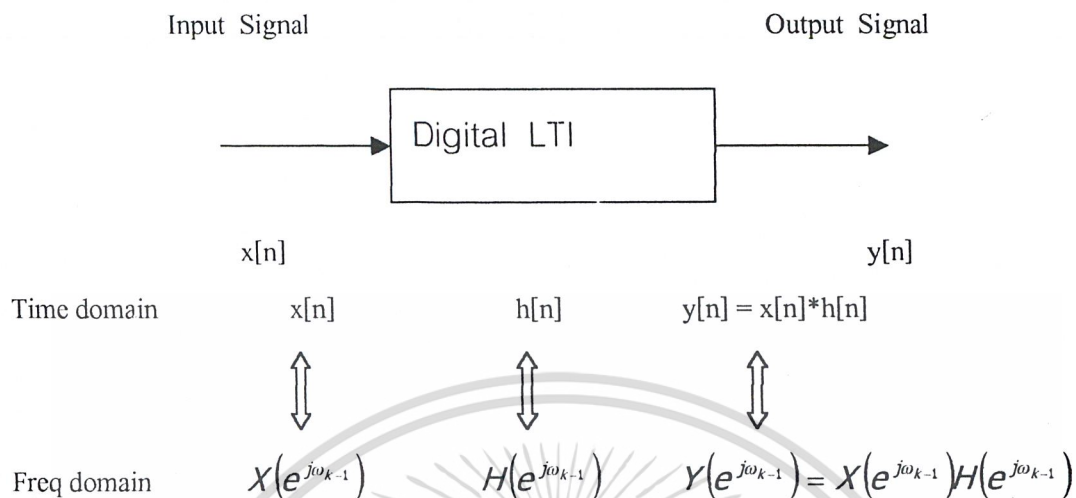
รูปที่ 2.9 แสดงถึงผลของการป้อน Sinusoidal เข้าสู่ระบบ LTI

### 2.3.5 Transfer function

Gain ของระบบหรือ Transfer function คือ

$$H(e^{j\omega_{k-1}}) = \frac{Y(e^{j\omega_{k-1}})}{X(e^{j\omega_{k-1}})} \quad (23)$$

เอกสารนี้เป็นเอกสารที่สงวนไว้สำหรับการใช้งานเพื่อการศึกษาเท่านั้น ไม่อนุญาตให้นำไปใช้ประโยชน์ด้านการค้า ไม่ว่ากรณีใดๆ ทั้งสิ้น อีกทั้งห้ามมิให้ดัดแปลงเนื้อหา และต้องอ้างอิงถึงเจ้าของเอกสารทุกครั้งที่มีการนำไปใช้



รูปที่ 2.10 แสดงถึงอัตราส่วนของ เอ๊าท์พุทต่ออินพุทก็คือ Transfer function

การคำนวณค่า Fourier function นั้นต้องตรวจสอบก่อนว่า sequence สามารถหาค่าได้หรือเปล่า

โดยเช่น sequence  $h(n)$  จะสามารถหาค่าได้ก็ต่อเมื่อผลรวมของค่า Absolute value มีค่าไม่เกิน  $\infty$  ดังนี้

$$\sum_{n=-\infty}^{\infty} |h(n)| < \infty \tag{24}$$

นอกจากการหาค่า Transfer function โดยใช้สมการที่ 23 ก็ยังสามารถหาได้จากสมการ Difference equation ได้ดังนี้

$$\sum_{k=0}^N a_k y(n-k) = \sum_{k=0}^M b_k x(n-k) \tag{25}$$

เปลี่ยน  $k$  เป็น  $p$  จะได้

$$\sum_{p=0}^N a_p y(n-p) = \sum_{p=0}^M b_p x(n-p) \tag{26}$$

ทำการ Fourier function เข้าทั้งสองข้างของสมการที่ 26

เอกสารนี้เป็นเอกสารที่สงวนไว้สำหรับการใช้งานเพื่อการศึกษาเท่านั้น ไม่อนุญาตให้นำไปใช้ประโยชน์ด้านการค้า ไม่ว่ากรณีใดๆ ทั้งสิ้น อีกทั้งห้ามมิให้ดัดแปลงเนื้อหา และต้องอ้างอิงถึงเจ้าของเอกสารทุกครั้งที่มีการนำไปใช้

$$\sum_{p=0}^N a_p Y(e^{j\omega_{k-1}}) e^{-j\omega_{k-1}p} = \sum_{p=0}^M b_p X(e^{j\omega_{k-1}}) e^{-j\omega_{k-1}p} \quad (27)$$

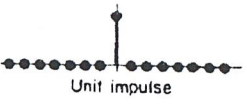
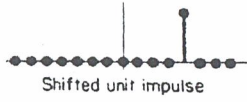
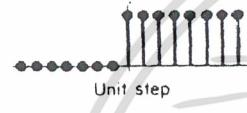

กลับเศษส่วนเพื่อหา Transfer function

$$H(e^{j\omega_{k-1}}) = \frac{Y(e^{j\omega_{k-1}})}{X(e^{j\omega_{k-1}})} = \frac{\sum_{p=0}^M b_p e^{-j\omega_{k-1}p}}{\sum_{p=0}^N a_p e^{-j\omega_{k-1}p}} \quad (28)$$

Property or operation	Aperiodic signal	Fourier Transform
Transformation	$x[n]$	$X(\omega_{k-1}) = X(e^{j\omega_{k-1}}) = \sum_{n=-\infty}^{\infty} x[n] e^{-j\omega_{k-1}n}$
Inverse transformation	$x[n] = \frac{1}{2\pi} \int_{-\pi}^{\pi} X(e^{j\omega_{k-1}}) e^{-j\omega_{k-1}n} d\omega_{k-1}$	$X(e^{j\omega_{k-1}})$
Linearity	$y[n] = \{ax_1[n] + bx_2[n]\}$	$Y(e^{j\omega_{k-1}}) = aX_1(e^{j\omega_{k-1}}) + bX_2(e^{j\omega_{k-1}})$
Time-shifting	$h[n-n_0]$	$H(e^{j\omega_{k-1}}) e^{-j\omega_{k-1}n_0}$
Time-differentiation	$x[n] - x[n-1]$	$X(e^{j\omega_{k-1}}) \{1 - e^{-j\omega_{k-1}}\}$
Convolution	$x_1[n] * x_2[n]$	$X_1(e^{j\omega_{k-1}}) X_2(e^{j\omega_{k-1}})$
Modulation	$x_1[n] x_2[n]$	$\frac{1}{2\pi} X_1(e^{j\omega_{k-1}}) * X_2(e^{j\omega_{k-1}})$

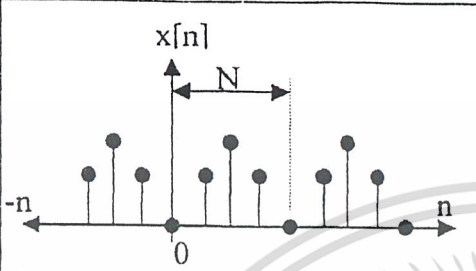
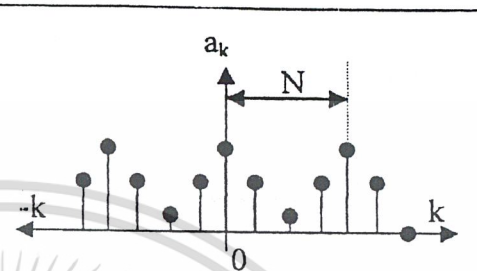
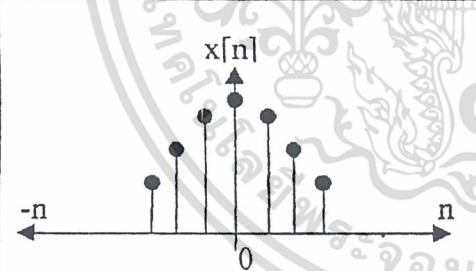
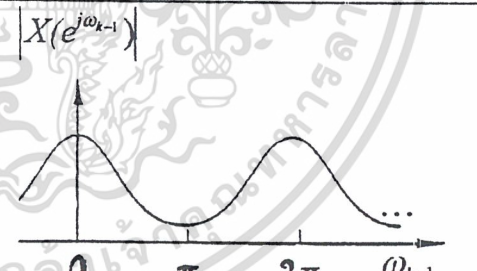
ตารางที่ 2 Discrete Fourier transform : properties

เอกสารนี้เป็นเอกสารที่สงวนไว้สำหรับการใช้งานเพื่อการศึกษาเท่านั้น ไม่อนุญาตให้นำไปใช้ประโยชน์ด้านการค้า ไม่ว่าจะกรณีใดๆ ทั้งสิ้น อีกทั้งห้ามมิให้ดัดแปลงเนื้อหา และต้องอ้างอิงถึงเจ้าของเอกสารทุกครั้งที่มีการนำไปใช้

Waveform	Aperiodic signal $x[n]$	Spectrum $X(\omega_{k-1})$
 <p>Unit impulse</p>	$\delta[n]$	1
 <p>Shifted unit impulse</p>	$\delta[n-n_0]$	$e^{-j\omega_{k-1}n_0}$
 <p>Unit step</p>	$u[n]$	$\{1 - e^{-j\omega_{k-1}}\}^{-1}$ $+ \sum_{k=-\infty}^{\infty} \pi \delta(e^{j\omega_{k-1}} - 2\pi k)$
 <p>Exponential</p>	$a^n u[n], \quad  a  < 1$	$\{1 - ae^{-j\omega_{k-1}}\}^{-1}$

ตารางที่ 3 การแปลงสัญญาณสำคัญโดย Fourier Transform

เอกสารนี้เป็นเอกสารที่สงวนไว้สำหรับการใช้งานเพื่อการศึกษาเท่านั้น ไม่อนุญาตให้นำไปใช้ประโยชน์ด้านการค้า  
ไม่ว่ากรณีใดๆ ทั้งสิ้น อีกทั้งห้ามมิให้ดัดแปลงเนื้อหา และต้องอ้างอิงถึงเจ้าของเอกสารทุกครั้งที่มีการนำไปใช้

Discrete-time signals	
Time-domain	Frequency-domain
 $a_k = \frac{1}{N} \sum_{n=0}^{N-1} x[n] e^{-j2\pi kn}$	 $x[n] = \sum_{k=0}^{N-1} a_k e^{j2\pi kn}$
<b>Discrete and periodic</b>	<b>Discrete and periodic</b>
 $X(e^{j\omega_{k-1}}) = \sum_{n=-\infty}^{\infty} x[n] e^{-j\omega_{k-1}n}$	 $x[n] = \frac{1}{2\pi} \int_{2\pi} X(e^{j\omega_{k-1}}) e^{j\omega_{k-1}n} d\omega_{k-1}$
<b>Discrete and aperiodic</b>	<b>Continuous and periodic</b>

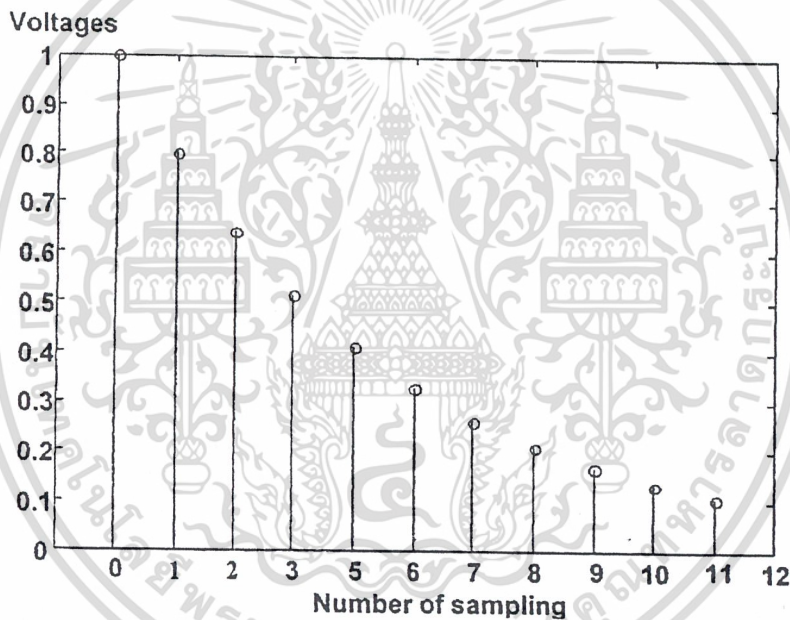
เอกสารนี้เป็นเอกสารที่สงวนไว้สำหรับการใช้งานเพื่อการศึกษาเท่านั้น ไม่อนุญาตให้นำไปใช้ประโยชน์ด้านการค้า  
ไม่ว่ากรณีใดๆ ทั้งสิ้น อีกทั้งห้ามมิให้ดัดแปลงเนื้อหา และต้องอ้างอิงถึงเจ้าของเอกสารทุกครั้งที่มีการนำไปใช้

### 2.4 Z-Transform

Z-Transform เป็นรูปแบบอีกแบบหนึ่งในการแก้ปัญหาโดยใช้ Poles และ Zeros มาทำการแก้ปัญหาทางด้าน DSP และ Digital filter ทำให้การแก้ปัญหาง่ายขึ้น

$$X(z) = \sum_{n=0}^{\infty} X(n)Z^{-n} \tag{29}$$

สมการนี้เป็นรูปแบบมาตรฐาน ของระบบแบบ Causal processor ที่  $n < 0$  จะมีค่าเป็น ศูนย์หมด



รูปที่ 2.11 แสดงลำดับสัญญาณ  $x[n]$

หากเราแทนค่าของ  $z$  ในสมการที่ ด้วย  $e^{j\omega}$  เราจะได้สมการเป็น

$$X(z) = X(e^{j\omega_k}) = \sum_{n=0}^{\infty} x(n)e^{-j\omega_k \cdot n} \tag{30}$$

จะเห็นว่ารูปแบบสมการจะเหมือนกับ Fourier Transform คือเป็นค่า Freq-response ของ  $x(n)$  ดังนั้นหากเราแทนค่านี้แล้วเราก็สามารถหาค่า Freq-response จาก Z-Transform หรืออาจคิดได้อีกอย่างว่า Z-Transform ก็คือ Time-shift operator คือหากสัญญาณ sample ที่ตำแหน่ง  $n$  ใดๆ ที่คูณด้วย  $z^{-n}$  สัญญาณ sample จะถูกเลื่อนให้ถอยหลัง หรือ Delay ไปเท่ากับจำนวน interval  $n$

เอกสารนี้เป็นเอกสารที่สงวนไว้สำหรับการใช้งานเพื่อการศึกษาเท่านั้น ไม่อนุญาตให้นำไปใช้ประโยชน์ด้านการค้า ไม่ว่ากรณีใดๆ ทั้งสิ้น อีกทั้งห้ามมิให้ดัดแปลงเนื้อหา และต้องอ้างอิงถึงเจ้าของเอกสารทุกครั้งที่มีการนำไปใช้

### 2.4.1 The inverse Z-transform

การหาค่า Inverse ของ Z-transform สามารถหาได้หลายวิธีการเช่น การ Contour integration ดังสมการที่ 31

$$x(n) = \frac{1}{2\pi j} \oint X(z)z^{n-1}dz \quad (31)$$

การ Partial fraction ดังตัวอย่าง

$$X(z) = \frac{1}{z(z-1)(2z-1)} \quad (32)$$

$$X(z) = \frac{A}{z} + \frac{B}{(z-1)} + \frac{C}{(2z-1)} \quad (33)$$

การหารยาวและการใช้วิธีการ Recursive algorithm โดยวิธีการ Recursive algorithm เป็นวิธีการที่นิยมมากในการวิเคราะห์ทางด้าน DSP โดยอาศัยความสัมพันธ์ทาง Input/Output และ Transfer function

$$H(z) = \frac{Y(z)}{X(z)} \quad \text{หรือ} \quad Y(z) = H(z).X(z) \quad (34)$$

เมื่อ  $H(z)$  คือ Transfer function,  $X(z)$  เป็น สัญญาณ Input,  $Y(z)$  เป็นสัญญาณ Output

### 2.4.2 Plane poles and zeros

รูปทั่วไปของสมการคือ

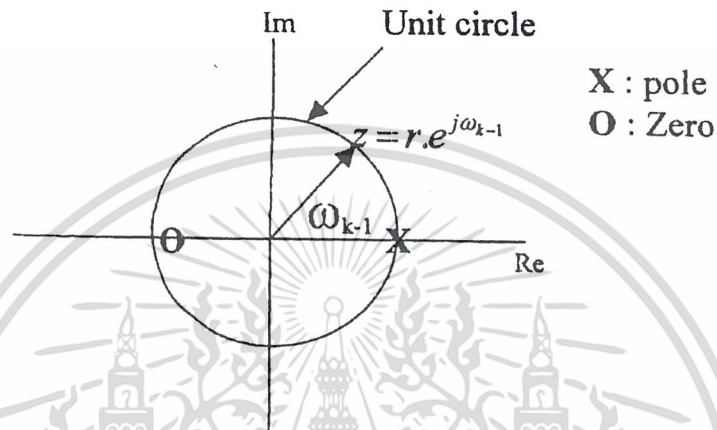
$$X(z) = \frac{K(z-z_1)(z-z_2)(z-z_3)\dots}{(z-p_1)(z-p_2)(z-p_3)\dots} \quad (35)$$

$z_1, z_2, z_3$ , คือ Zeros ของระบบ

$p_1, p_2, p_3$ , คือ Poles ของระบบ

เอกสารนี้เป็นเอกสารที่สงวนไว้สำหรับการใช้งานเพื่อการศึกษาเท่านั้น ไม่อนุญาตให้นำไปใช้ประโยชน์ด้านการค้า ไม่ว่ากรณีใดๆ ทั้งสิ้น อีกทั้งห้ามมิให้ดัดแปลงเนื้อหา และต้องอ้างอิงถึงเจ้าของเอกสารทุกครั้งที่มีการนำไปใช้

ปกติการเขียน Z-plane เราจะเขียนเป็นวงกลมที่มีแกนนอนเป็นแกน ค่าจริง ( Real axis ) และแกนตั้งเป็นแกนจินตภาพ ( Imaginary axis ) และมีส่วนของเส้นรอบวงรัศมีขนาด 1 เราเรียกว่า “ Unit circle ”



ค่าของ  $z$  ที่ทำให้สมการหาค่าได้นั้นเป็นสิ่งจำเป็นเพราะเป็นค้วบอกว่าระบบ Convergence หรือไม่ และช่วงค่า  $z$  ในพื้นที่ Z-plane ที่สมการหาค่าได้นั้นเรียกว่า Region of Convergence (ROC) สามารถเขียนสมการได้ว่า

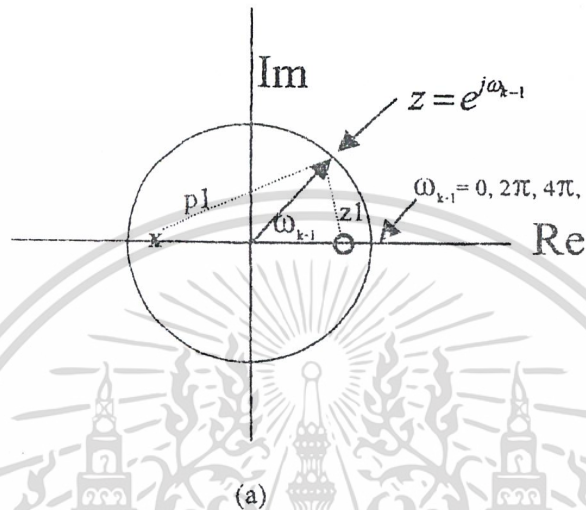
$$|X(z)| < \infty \quad (35)$$

$$\sum_{n=-\infty}^{\infty} |X(n)| |z^{-n}| < \infty \quad (36)$$

ถ้าเราให้ค่า  $z = e^{j\omega_{k-1}}$  และให้  $|z| = |p|$  เราจะได้ว่า

เอกสารนี้เป็นเอกสารที่สงวนไว้สำหรับการใช้งานเพื่อการศึกษาเท่านั้น ไม่อนุญาตให้นำไปใช้ประโยชน์ด้านการค้า ไม่ว่ากรณีใดๆ ทั้งสิ้น อีกทั้งห้ามมิให้ตัดแปลงเนื้อหา และต้องอ้างอิงถึงเจ้าของเอกสารทุกครั้งที่มีการนำไปใช้

$$H(z) = \frac{(e^{j\omega_{k-1}} - |z_1|)}{(e^{j\omega_{k-1}} + |p_1|)} \quad (37)$$



รูปที่ 2.13 Amplitude Z-Plane with unit circle

นั่นคือขนาดของ Amplitude ที่ได้ที่  $\omega_{k-1}$  มีค่าเท่ากับผลการหารกันระหว่าง ระยะทางระหว่างจุดของ Zero ไปสู่จุด  $z$  ที่  $\omega_{k-1}$  ( $z_1$ ) และระยะทางระหว่างจุดของ Pole ไปสู่  $z$  ที่  $\omega_{k-1}$  ( $p_1$ ) หรือเขียนให้ง่ายเป็น

$$|H(e^{j\omega_{k-1}})| = \frac{|z_1|}{|p_1|} \text{ และ Phase ก็สามารถหาได้โดย Phase ของ } z_1 \text{ ลบกับ Phase ของ } p_1$$

### 2.4.3 First and second order of LTI systems

ระบบ LTI หรือ Filter ชนิดต่างๆ ในระบบดิจิทัลก็เหมือนกับระบบอนาล็อกในช่วงความลาดชันในจุดตัดความถี่สามารถทำให้ดีขึ้นได้โดยการเพิ่มจำนวน order ให้มากขึ้น เขียนสมการ first order และ second order ได้ดังนี้

$$\text{first order} \quad H_1(z) = \frac{Y(z)}{X(z)} = \frac{K(z - z_1)}{(z - p_1)} \quad (38)$$

$$\text{second order} \quad H_2(z) = \frac{Y(z)}{X(z)} = \frac{K(z - z_1)(z - z_2)}{(z - p_1)(z - p_2)} \quad (39)$$

เอกสารนี้เป็นเอกสารที่สงวนไว้สำหรับการใช้งานเพื่อการศึกษาเท่านั้น ไม่อนุญาตให้นำไปใช้ประโยชน์ด้านการค้า ไม่ว่ากรณีใดๆ ทั้งสิ้น อีกทั้งห้ามมิให้ดัดแปลงเนื้อหา และต้องอ้างอิงถึงเจ้าของเอกสารทุกครั้งที่มีการนำไปใช้

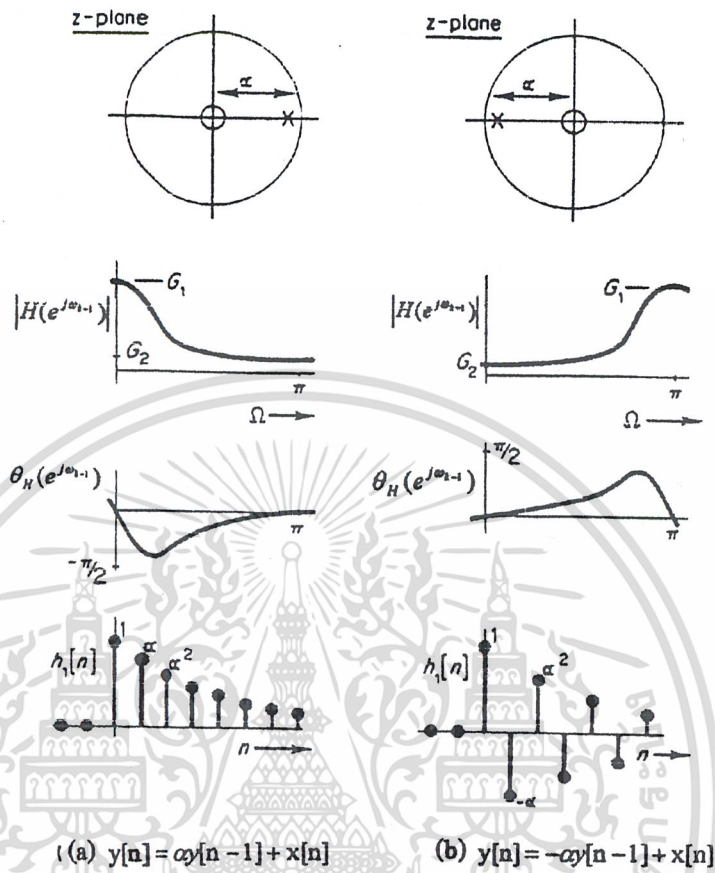
ในการพิจารณาระบบจะกำหนดระบบที่พิจารณาให้ค่าของ Zeros อยู่ที่จุด Origin หรือจุดศูนย์กลางของ Z-plane และ แทนค่า Real poles เป็นสัญลักษณ์  $\alpha$  ให้มีค่าเป็น  $p = r.e^{-j\omega_{k-1}}$  เขียนสมการใหม่ได้

$$\text{first order} \quad H_1(z) = \frac{z}{(z - \alpha)} \quad (40)$$

$$\text{second order} \quad H_2(z) = \frac{z^2}{(z - r.e^{j\omega_{k-1}})(z - r.e^{-j\omega_{k-1}})} \quad (41)$$

$$\text{ได้เป็น} \quad H_2(z) = \frac{z^2}{(z^2 - 2rz \cos \omega_{k-1} + r^2)} \quad (42)$$

first order ค่าของ  $\alpha$  ควรจะมีค่าอยู่ในช่วงภายใน Unit circle ระบบจึงจะเสถียร ถ้าวางไว้ในแกนจริงบวก จะได้ระบบเป็น Low-pass Gain สูงสุดที่  $\omega_{k-1} = 0$  ถ้าค่าของ  $\alpha$  วางไว้ในแกนจริงลบ จะได้ระบบเป็น High-pass Gain สูงสุดที่  $\omega_{k-1} = \pi$  ดังแสดงในรูปที่ 2.14



รูปที่ 2.14 แสดงภาพจำลองของ Low, High pass filter ของ First order system

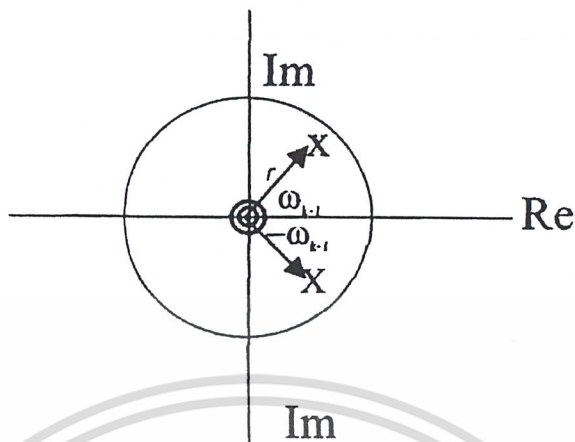
ถ้าค่าของ  $\alpha$  เข้าใกล้ " 1 " มากที่สุด จากสมการที่ 42 เราจะได้ว่า ความกว้างของ  $h(n)$  ใน Time domain มีค่ามาก Bandwidth ใน Frequency domain จะมีค่าแคบลง second order จะได้สมการคือ

$$H_2(z) = \frac{1}{(1 - 2r \cdot \cos \omega_{k-1} z^{-1} + r^2 z^{-2})} \tag{43}$$

แทนค่า  $z = e^{j\omega_{k-1}}$  ในสมการที่ 43

$$H_2(e^{j\omega_{k-1}}) = \frac{1}{(1 - 2r \cdot \cos \omega_{k-1} e^{-j\omega_{k-1}} + r^2 e^{-2j\omega_{k-1}})} \tag{44}$$

จะมีผลคล้ายกับ first order แต่จะมีความชันมากกว่า เอกสารนี้เป็นเอกสารที่สงวนไว้สำหรับใช้ภายในเพื่อการศึกษาเท่านั้น ไม่อนุญาตให้นำไปใช้ประโยชน์ด้านการค้า ไม่ว่ากรณีใดๆ ทั้งสิ้น อีกทั้งห้ามมิให้ดัดแปลงเนื้อหา และต้องอ้างอิงถึงเจ้าของเอกสารทุกครั้งที่มีการนำไปใช้



รูปที่ 2.15 Z-Plane pole-zeros ของระบบ second order

### 2.5 การตอบสนองต่อรูปคลื่นสัญญาณอนันต์(Infinite Impulse Response (IIR))

สมการของIIRฟิลเตอร์แสดง โดยให้  $y(n)$  = เอาท์พุต และ ให้  $k$  = เวลา ดังสมการที่(45)

$$y(n) = \sum_{n=1}^N a_n y[k-n] + \sum_{m=0}^m b_m x[k-m] \tag{45}$$

ทรานส์เฟอร์ฟังก์ชันของ IIR ฟิลเตอร์คือ

$$H(z) = \frac{\sum_{m=0}^M b_m z^{-m}}{1 - \sum_{n=1}^N a_n z^{-n}} \tag{46}$$

โดยที่  $N$  เท่ากับ โพล และ  $M$  เท่ากับ ซีโรในการออกแบบ IIR ฟิลเตอร์ ค่าของ  $M \leq N$  การตอบสนองต่อความถี่ของIIRฟิลเตอร์ สามารถคำนวณ โดยการแทนค่าสัมประสิทธิ์ของ  $a_n$  และ  $b_m$  ในสมการที่ 47

$$H[k] = \frac{\sum_{m=0}^{L-1} \beta_m \exp(j2\pi mk / L)}{\sum_{n=0}^{L-1} \alpha_n \exp(j2\pi k / L)} \tag{47}$$

เอกสารนี้เป็นเอกสารที่สงวนไว้สำหรับการใช้งานเพื่อการศึกษาเท่านั้น ไม่อนุญาตให้นำไปใช้ประโยชน์ด้านการค้า ไม่ว่ากรณีใดๆ ทั้งสิ้น อีกทั้งห้ามมิให้ตัดแปลงเนื้อหา และต้องอ้างอิงถึงเจ้าของเอกสารทุกครั้งที่มีการนำไปใช้

$$\text{โดยที่ } \alpha_n = \begin{cases} 1 & n = 0 \\ \alpha_n & 0 < n \leq N \\ 0 & N < n \end{cases}$$

$$\beta_m = \begin{cases} b_m & 0 \leq m \leq M \\ 0 & M < m \end{cases}$$

ทราสเฟอร์ฟังก์ชันสำหรับ IIR ฟิลเตอร์ถูกกำหนดโดย

$$H(z) = \frac{a_0 + a_1 z^{-1} + \dots + a_n z^{-N}}{1 + b_1 z^{-1} + \dots + b_m z^{-M}} = \frac{\sum_{k=0}^N a_k * z^{-k}}{1 + \sum_{k=0}^M a_k * z^{-k}}$$

ส่วนที่สำคัญในการออกแบบ IIR ฟิลเตอร์คือการค้นหาค่าที่เหมาะสม สำหรับค่าสัมประสิทธิ์และให้สอดคล้องกับลักษณะของฟิลเตอร์ใน Frequency Response ดังนั้นสมการดังกล่าวทั้งสองจึงเป็น Characteristic Equation สำหรับ IIR ฟิลเตอร์

## บทที่ 3

### การวิเคราะห์และออกแบบ

#### 3.1 วงจรขจัดสัญญาณรบกวนแบบปรับตัวได้ (Adaptive Noise Filter)

คือวงจรกรองความถี่ที่มีการปรับค่าตัวแปรต่างๆตามที่ต้องการได้อย่างอัตโนมัติกล่าวคือมันจะทำงานคล้ายกับการทำงานวงจร AGC(Automatic Gain Control) ในเครื่องรับวิทยุและเครื่องรับโทรทัศน์ แต่ในวงจรขจัดสัญญาณรบกวนแบบปรับตัวได้จะใช้การประมวลผลสัญญาณดิจิทัลโดยใช้สมการ IIR Band-Pass Filter  $2^{nd}$  Order ทราเนสเฟอร์ฟังก์ชันของสมการคือ

$$H_{BP}(z) = \left[ \frac{1 - \alpha_0}{2} \right] * \left[ \frac{1 - z^{-2}}{1 - \alpha_1(k)(1 + \alpha_0)z^{-1} + \alpha_0 z^{-2}} \right] \quad (48)$$

โดยจะทำการปรับค่าสัมประสิทธิ์ที่เป็นค่ากำหนดความถี่กลางตามความถี่หลักของสัญญาณทางด้านอินพุตที่เข้ามาเมื่อมีการเปลี่ยนแปลงทางอินพุตในที่นี้จะเป็นการปรับค่าความถี่กลางเมื่อความถี่อินพุตเปลี่ยนไป โดยค่าสัมประสิทธิ์ที่เปลี่ยนไปคือ ค่า  $\alpha_1$

จากสมการที่ 48 สามารถหาค่า inverse Z-Transform เป็นสมการทาง Time-Domain ได้ค่า  $y(k)$  คือ

$$y(k) = \left[ \frac{1 - \alpha_0}{2} \right] * [x(k) - x(k-2)] + y(k-1)\alpha_1(k) * (1 + \alpha_0) - \alpha_0 y(k-2) \quad (49)$$

จากสมการทาง Time-Domain จะมีความสัมพันธ์กับ Z-Domain โดยการเปลี่ยนแปลงระหว่าง  $y^2(k)$  กับ  $H^2(e^{j\omega})$  เป็นสัดส่วนโดยตรงต่อกัน

จาก Stochastic Gradient Adaptive Algorithms ในการ Update Vector ใดๆ โดยเทียบกับตัวที่ต้องการเพื่อให้ค่าที่ทำให้ตัวแปรที่ต้องการมี ค่าสูงสุดสามารถกำหนดโดย

$$w_{k+1} = w_k - \frac{\mu_0}{2} \nabla [\varepsilon^2(k)] \quad (50)$$

ในที่นี้เราจะทำการ Update สัมประสิทธิ์  $\alpha_1(k)$  เทียบกับค่าของ  $y(k)$  เพื่อหาค่าของ  $\alpha_1$  ที่ทำให้ค่า  $y(k)$  มีค่าสูงสุดโดยจาก สมการที่ 50 จะได้สมการคือ

$$\alpha_1(k+1) = \alpha_1(k) + \frac{\mu}{2} \cdot \frac{\partial(y^2(k))}{\partial \alpha_1(k)} \quad (51)$$

เอกสารนี้เป็นเอกสารที่สงวนไว้สำหรับการใช้งานเพื่อการศึกษาเท่านั้น ไม่อนุญาตให้นำไปใช้ประโยชน์ด้านการค้าไม่ว่ากรณีใดๆ ทั้งสิ้น อีกทั้งห้ามมิให้ตัดแปลงเนื้อหา และต้องอ้างอิงถึงเจ้าของเอกสารทุกครั้งที่มีการนำไปใช้

$$\alpha_1(k+1) = \alpha_1(k) + \mu \cdot y(k) \cdot \frac{\partial y(k)}{\partial \alpha_1(k)} \quad (52)$$

โดยกำหนดให้เทอม  $\frac{\partial y(k)}{\partial \alpha_1(k)} = \psi(k)$  ซึ่งจะเรียกว่าสัญญาณควบคุม Adaptive

ของ  $\alpha_1(k)$

เป็นพารามิเตอร์ที่ใช้ในการ Update ค่าถัดไปสามารถหาได้ดังนี้

$$\begin{aligned} \frac{\partial y(k)}{\partial \alpha_1(k)} &= \psi(k) \\ \psi(k) &= \frac{\partial \left[ \left( \frac{1-\alpha_0}{2} \right) [x(k) - x(k-2)] + y(k-1) \cdot \alpha_1(k) \cdot (1+\alpha_0) - \alpha_0 \cdot y(k-2) \right]}{\partial \alpha_1(k)} \\ \psi(k) &= (1+\alpha_0) \left[ \alpha_1(k) \frac{\partial y(k-1)}{\partial \alpha_1(k)} + y(k-1) \right] - \alpha_0 \frac{\partial y(k-2)}{\partial \alpha_1(k)} \quad (53) \end{aligned}$$

จะเห็นว่าจะคิดเทอมของ  $\frac{\partial y(k-i)}{\partial \alpha_1(k)}$  (โดย  $i$  เป็นจำนวนเต็ม) ซึ่งในความเป็นจริง

แล้วจะไม่สามารถหาค่าได้เพราะต้องทำการแยกค่าเป็น  $y(k-1), y(k-2) \dots$  เป็นการตอบสนองของส่วนที่ผ่านมามากมายเพราะ ฉะนั้นจึงต้องมีการประมาณค่าส่วนที่จะพิจารณา คือ ถ้าค่าของ  $\mu$  มีค่าน้อยพอจะทำให้การเปลี่ยนแปลง  $y(k)$  แต่ละครั้งมีค่าน้อยทำให้สามารถประมาณได้ว่า

$$\psi(k-i) = \frac{\partial y(k-i)}{\partial \alpha_1(k-i)} \approx \frac{\partial y(k-i)}{\partial \alpha_1(k)} \quad (54)$$

จะได้

$$\psi(k) = (1+\alpha_0) \cdot \alpha_1(k) \cdot \psi(k-1) + (1+\alpha_0) \cdot y(k-1) - \alpha_0 \psi(k-2) \quad (55)$$

จากสมการของ  $\alpha_1(k+1)$  และ  $\psi(k)$  ข้างต้น จะเป็นสมการที่นำไปทำการ Update ค่าของ  $\alpha_1$  เพื่อการปรับค่าความถี่ทาง Input ที่ทำให้ค่าของ  $y(k)$  มีมากที่สุด ซึ่งก็คือความถี่

กลางนั่นเอง(เพราะ ค่า gain ที่ความถี่กลางมีค่ามากที่สุด)

เอกสารนี้เป็นเอกสารที่สงวนไว้สำหรับการใช้งานเพื่อการศึกษาเท่านั้น ไม่อนุญาตให้นำไปใช้ประโยชน์ด้านการค้า

ไม่ว่ากรณีใดๆ ทั้งสิ้น อีกทั้งห้ามมิให้ดัดแปลงเนื้อหา และต้องอ้างอิงถึงเจ้าของเอกสารทุกครั้งที่มีการนำไปใช้

### 3.2 การเปลี่ยนค่า Step Size Parameter ( $\mu$ )

การลู่เข้าของค่า  $\alpha_1(k)$  เมื่อมีการเพิ่มหรือลดค่า  $\mu$  (Step Size Parameter) จากกราฟจะเห็นว่าเมื่อเพิ่มค่า จะทำให้การเปลี่ยนแปลงค่า  $\alpha_1(k)$  เร็วขึ้นแต่ถ้าเพิ่มมากเกินไปเมื่อระบบปรับค่า  $\alpha_1(k)$  เข้าสู่ค่าที่ตรงแล้วจะเกิดการแกว่งของค่า  $\alpha_1(k)$  มากขึ้นตามและยังมีการเพิ่มค่า  $\mu$  มากขึ้นเท่าใดจะทำให้เกิดการแกว่งมากขึ้นเท่านั้นในการออกแบบจะต้องเลือกขนาดที่เหมาะสมกับช่วงของสัญญาณที่ต้องการใช้งาน โดยการเปลี่ยนค่า  $\mu$  จะเห็นว่าการลู่เข้าค่าที่ถูกต้องเร็วขึ้นกว่าเดิมมาก แต่จะมีผลกระทบเมื่อค่า  $\alpha_1(k)$  เข้าสู่ค่าที่ถูกต้องจะยังมีการแกว่งอยู่มาก ยังมีการแกว่งอยู่มาก ยิ่งค่า  $\mu$  มีค่ามากจะทำให้การแกว่งของส่วนนี้มีมาก

### 3.3 ทบทวนเกี่ยวกับ fast adaptive algorithm อย่างง่าย

เวลาที่ใช้ในการสุ่มตัวอย่าง  $T$  จะถูก normalized ให้มีค่าเท่ากับ 1 และ ค่าตัวแปรที่แปรเปลี่ยนค่าจำนวนเต็ม  $k$  จะใช้แสดงถึงเวลาที่ใช้ในการสุ่มตัวอย่าง โดยจะสมมติว่าให้สัญญาณอินพุทเป็น  $x(k)$  ซึ่งเกิดจากผลรวมของคลื่นสัญญาณไซน์ๆเดียว ของความถี่ที่ไม่ทราบค่า  $A \cos(\omega k + \theta)$ : ( $A, \theta$ : constants,  $\omega$ [rad/sec]: ( $0 < \omega < \pi$ )) กับ ค่า Gaussian noise กำหนดให้เป็น  $n(k)$  จะได้ค่า  $x(k)$  ดังสมการที่ 56

$$x(k) = A * \cos(\omega k + \theta) + n(k) \quad (56)$$

สมการที่ (57) เป็นค่า transfer function ของ IIR bandpass filter อันดับสองกับค่าการแปรเปลี่ยนความถี่กลางเชิงมุม  $\omega_0$  คือ

$$H(z) = \frac{\left[ \frac{1 - \alpha_0(k)}{2} \right] * \left[ \frac{1 - z^{-2}}{1 - \alpha_1(k) \{ 1 + \alpha_0(k) \} z^{-1} + \alpha_0(k) z^{-2}} \right]}{2} \quad (57)$$

โดยที่ค่า  $\alpha_1(k)$ ; ( $-1 < \alpha_1(k) < 1$ ) คือ ค่าสัมประสิทธิ์ของตัวแปรที่เป็นตัวกำหนดค่า  $\omega_0$

$$\alpha_1(k) = \cos(\omega_0) \quad (58)$$

เอกสารนี้เป็นเอกสารที่สงวนไว้สำหรับการใช้งานเพื่อการศึกษาเท่านั้น ไม่อนุญาตให้นำไปใช้ประโยชน์ด้านการค้าไม่ว่ากรณีใดๆ ทั้งสิ้น อีกทั้งห้ามมิให้ดัดแปลงเนื้อหา และต้องอ้างอิงถึงเจ้าของเอกสารทุกครั้งที่มีการนำไปใช้

และ  $\alpha_0(k)$ ; ( $0 < \alpha_0(k) < 1$ ) คือ ค่าสัมประสิทธิ์ของตัวแปรที่เป็นตัวกำหนดค่า Q-factor เมื่อมีค่าที่เข้าใกล้หนึ่ง โดยที่ค่าของ Q-factor คือ

$$Q \approx \frac{\omega_0}{2 \left\{ 1 - \sqrt{\alpha_0(k)} \right\}} \quad (59)$$

สมการ adaptive algorithm ที่จะนำมาใช้เป็นวิธีการของ stochastic gradient ซึ่งจะช่วยให้ได้ค่าเฉลี่ยที่มีค่าสูงสุดของเอาต์พุตของตัว filter โดยมีสมการเป็น

$$\alpha_1(k+1) = \alpha_1(k) + \mu_1 y(k) \psi_1(k) \quad (60)$$

โดยที่ค่า  $\mu_1$  คือ step size parameter  
 $y(k)$  คือ สัญญาณเอาต์พุตของตัว filter  
 $\psi_1(k)$  คือ สัญญาณ adaptive control signal  
 ซึ่งสามารถหาได้จากสมการที่ 61

$$\psi_1(k) = \alpha_1(k) \left\{ 1 + \alpha_0(k) \right\} \psi_1(k-1) - \alpha_0(k) \psi_1(k-2) + \left\{ 1 + \alpha_0(k) \right\} y(k-1) \quad (61)$$

จากสมการที่ 61 สมมติว่า  $y(k)$  คือสัญญาณอินพุต และ  $\psi_1(k)$  คือสัญญาณเอาต์พุต จะได้ค่า transfer function ดังสมการที่ 62

$$G_1(z) = \frac{\psi_1(z)}{Y(z)} = \frac{\left[ 1 + \alpha_0(k) \right] * \left[ 1 - z^{-1} \right]}{1 - \alpha_1(k) \left[ 1 + \alpha_0(k) \right] z^{-1} + \alpha_0(k) z^{-2}} * \Psi_i(z) \quad (62)$$

ค่า adaptive algorithm จากสมการที่ (62) หาค่า  $\alpha_0(k+1)$  ได้จากสมการที่ (63)

$$\alpha_0(k+1) = \alpha_0(k) + \mu_0 \psi_1(k) \psi_0(k) \quad (63)$$

เอกสารนี้เป็นเอกสารที่สงวนไว้สำหรับการใช้งานเพื่อการศึกษาเท่านั้น ไม่อนุญาตให้นำไปใช้ประโยชน์ด้านการค้า ไม่ว่ากรณีใดๆ ทั้งสิ้น อีกทั้งห้ามมิให้ดัดแปลงเนื้อหา และต้องอ้างอิงถึงเจ้าของเอกสารทุกครั้งที่มีการนำไปใช้

โดยที่ค่า  $\mu_0$  คือ step-size parameter สำหรับ Q-factor และ ค่า  $\psi_0(k)$  หาได้จากสมการต่อไปนี้

$$\begin{aligned} \psi_0(k) = & \alpha_1(k) \{ 1 + \alpha_0(k) \} \psi_0(k-1) - \alpha_0(k) \psi_0(k-2) \\ & - 2 \left[ \alpha_0(k) \psi_1(k) - \alpha_1(k) \{ 1 + \alpha_0(k) \} \psi_1(k-1) + \psi_1(k-2) \right] \\ & / \{ 1 - \alpha_0^2(k) \} \end{aligned} \quad (64)$$

โดยที่ค่าของ  $\psi_0(k)$  คือ ค่า adaptive control signal ของค่า  $\alpha_0(k)$

จากสมการที่ 64 สมมติว่าค่า  $\psi_1(k)$  คือ สัญญาณอินพุท และค่า  $\psi_0(k)$  คือ สัญญาณเอาท์พุท จะได้ค่า transfer function ดังสมการที่ 65

$$\begin{aligned} G_0(z) &= \frac{\Psi_0(z)}{\Psi_1(z)} \\ G_0(z) &= \frac{-2}{\{ 1 - \alpha_0^2(k) \}} * \frac{\left[ \alpha_0(k) - \alpha_1(k) \{ 1 + \alpha_0(k) \} z^{-1} + z^{-2} \right]}{\left[ 1 - \alpha_1(k) \{ 1 + \alpha_0(k) \} z^{-1} + \alpha_0(k) z^{-2} \right]} \end{aligned} \quad (65)$$

ซึ่งจากสมการข้างต้นคือฟังก์ชันของ ฟิเตอร์อันดับที่สองทุกชนิด เพื่อให้ฟิลเตอร์มีเสถียรภาพ ค่า  $\alpha_0$  ควรจะมีค่าอยู่ในขอบเขตดังต่อไปนี้

$$-1 < \alpha_{0\min}(k) \leq \alpha_0(k) \leq \alpha_{0\max} < 1 \quad (66)$$

โดยที่ค่า  $\alpha_{0\min}$  คือ ค่าต่ำสุด และ ค่า  $\alpha_{0\max}$  คือ ค่าสูงสุดของค่า  $\alpha_0(k)$  ตามลำดับค่า  $\alpha_0(k)$  จะเป็นค่าที่มีขนาด magnitude ที่สูงสุดของฟังก์ชันที่มีการเปลี่ยนแปลงค่าต่ำสุด สำหรับค่า  $\alpha_1(k)$  จะใช้แสดงถึงค่า  $\alpha_{0opt}(k)$ : (ค่าที่ให้ผลดีที่สุดในค่า  $\alpha_0(k)$ )

ค่าสำหรับ  $\alpha_1(k) < \cos(\omega)$

$$\alpha_{0opt}(k) = \frac{\sin(\omega) - \cos(\omega) + \alpha_1(k)}{\sin(\omega) + \cos(\omega) - \alpha_1(k)} \quad (67)$$

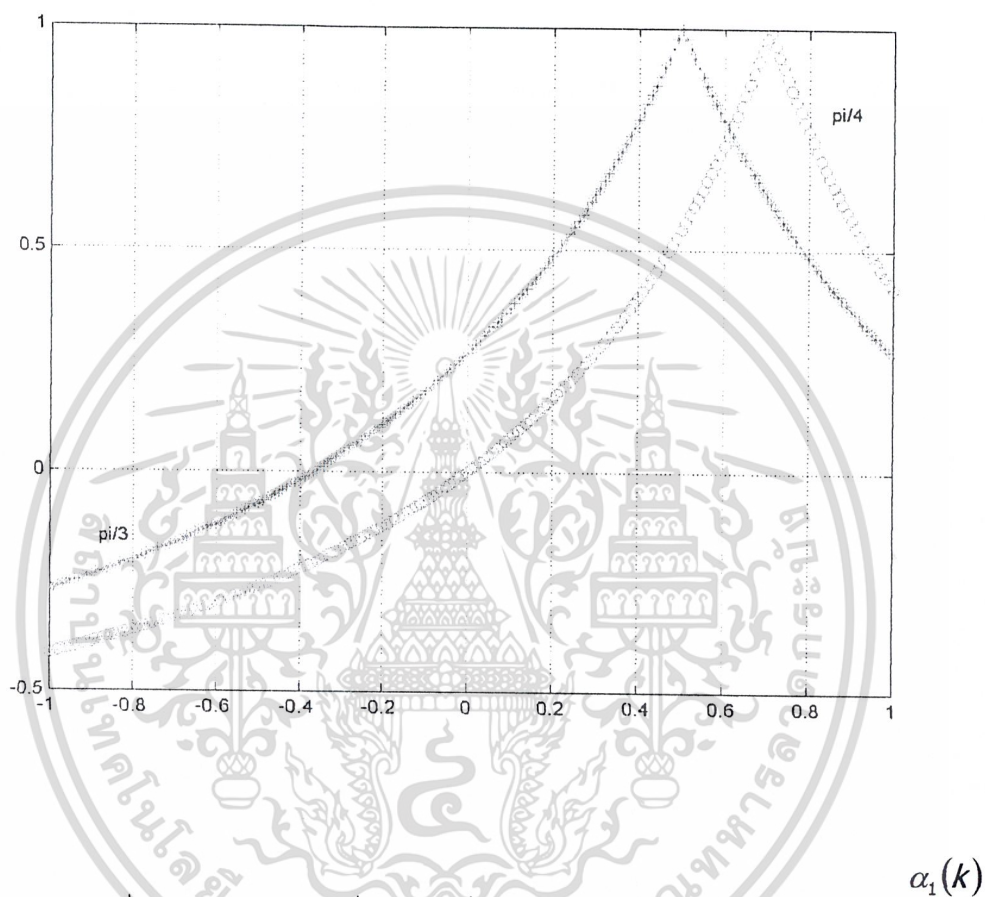
ค่าสำหรับ  $\alpha_1(k) > \cos(\omega)$

$$\alpha_{0opt}(k) = \frac{\sin(\omega) + \cos(\omega) - \alpha_1(k)}{\sin(\omega) - \cos(\omega) + \alpha_1(k)} \quad (68)$$

เอกสารนี้เป็นเอกสารที่สงวนไว้สำหรับการใช้งานเพื่อการศึกษาเท่านั้น ไม่อนุญาตให้นำไปใช้ประโยชน์ด้านการค้า ไม่ว่ากรณีใดๆ ทั้งสิ้น อีกทั้งห้ามมิให้ดัดแปลงเนื้อหา และต้องอ้างอิงถึงเจ้าของเอกสารทุกครั้งที่มีการนำไปใช้

ค่าความสัมพันธ์ที่เหมาะสมที่สุดระหว่าง  $\alpha_0(k)$  กับ  $\alpha_1(k)$  แสดงดังรูปที่ 3.1

$\alpha_{0opt}(k)$



รูปที่ 3.1 ค่าความสัมพันธ์ที่เหมาะสมที่สุดระหว่าง  $\alpha_0(k)$  กับ  $\alpha_1(k)$

$$1: \omega = \frac{\pi}{3}, \quad 2: \frac{\pi}{4}$$

### 3.4 Fast adaptive algorithm โดยการใช้โครงสร้างแบบบล็อกขนาน

จากค่า transfer function ในสมการ

$$H(z) = \frac{1 - \alpha_0(k)}{2} * \frac{1 - z^{-2}}{1 - \alpha_1(k) \{1 + \alpha_0(k)\} z^{-1} + \alpha_0(k) z^{-2}}$$

เอกสารนี้เป็นเอกสารที่สงวนไว้สำหรับการใช้งานเพื่อการศึกษาเท่านั้น ไม่อนุญาตให้นำไปใช้ประโยชน์ด้านการค้า ไม่ว่ากรณีใดๆ ทั้งสิ้น อีกทั้งห้ามมิให้ดัดแปลงเนื้อหา และต้องอ้างอิงถึงเจ้าของเอกสารทุกครั้งที่มีการนำไปใช้

สามารถที่จะนำมาเขียนใหม่ด้วยโครงสร้างแบบบล็อกขนาน เมื่อ

อันดับที่  $L - th$  คือค่าของเวกเตอร์อินพุต  $x(k)$

อันดับที่  $L - th$  คือ ค่าของเวกเตอร์เอาต์พุต  $y(k)$

โดยกำหนดให้เป็น

$$x(k) = [x(Lk) * x(Lk + 1) \dots x(Lk + L - 1)]^t \quad (69)$$

$$y(k) = [y(Lk) * y(Lk + 1) \dots y(Lk + L - 1)]^t \quad (70)$$

ตามลำดับ Z-transform ของสมการที่ 71 และสมการที่ 72 สามารถหาได้จากสมการที่ 69 และสมการที่ 70 ตามลำดับ ดังต่อไปนี้

$$X(z) = [X_0(z)X_1(z) \dots X_{L-1}(z)]^t \quad (71)$$

$$Y(z) = [Y_0(z)Y_1(z) \dots Y_{L-1}(z)]^t \quad (72)$$

โดยที่  $Z = z^L$  และสัญลักษณ์  $t$  แสดงถึงการสลับที่ (transpose) ของเมทริกซ์

สมการทรานส์เฟอร์ฟังก์ชันของเมทริกซ์  $H(z)$  แทนค่าอินพุตด้วย  $L$  และ ค่าเอาต์พุตด้วย  $L$  ในรูปแบบของ Toeplitz แสดงได้ดังนี้

$$\begin{aligned} \bar{Y}(z) &= \bar{H}(z) \cdot \bar{X}(z) \\ \bar{H}(z) &= \bar{Y}(z) \cdot \bar{X}^{-1}(z) \end{aligned} \quad (73)$$

$$\bar{H}(z) = \frac{1 - \alpha_0(k)}{2} \cdot \frac{\bar{R}(z)}{1 - a_1 z^{-1} - a_2 z^{-2}} \quad (74)$$

วิเคราะห์ที่สมการ 75

$$A_1 = 1 - \alpha_0(k) \quad (75)$$

$$A_2 = 1 + \alpha_0(k) \quad (76)$$

$$B = \alpha_1(k) \{1 + \alpha_0(k)\} \quad (77)$$

จากสมการที่ 58

$$\alpha_1(k) = \cos(\omega_0)$$

โดยที่  $l = 0, 1, \dots, L - 1$ ,  $\binom{m}{n} = \frac{m!}{n!(m-n)!}$  และ  $[l]$  คือส่วนของ Gauss เมื่อ  $L = 1$

เอกสารนี้เป็นเอกสารที่สงวนไว้สำหรับการใช้งานเพื่อการศึกษาเท่านั้น ไม่อนุญาตให้นำไปใช้ประโยชน์ด้านการค้า ไม่ว่ากรณีใดๆ ทั้งสิ้น อีกทั้งห้ามมิให้ดัดแปลงเนื้อหา และต้องอ้างอิงถึงเจ้าของเอกสารทุกครั้งที่มีการนำไปใช้

กำหนดให้  $L = 3$

จะได้  $l = 0, 1, 2$

$$a_1 = \sum_{m=0}^{L/2} \frac{(-1)^m L(L-m)}{L-m} \binom{L-m}{m} B^{L-2m} \alpha_0(k)^m \quad (78)$$

$$\begin{aligned} a_1 &= \sum_{m=0}^1 \frac{(-1)^m \cdot 3(3-m)}{3-m} \binom{3-m}{m} B^{3-2m} \alpha_0(k)^m \\ \therefore a_1 &= B^3 - 3B\alpha_0(k) \\ \therefore a_2 &= -\alpha_0(k)^3 \end{aligned} \quad (79)$$

$$c_{l,1}^2 = \sum_{m=0}^{\lfloor (L-l)/2 \rfloor} \frac{(-1)^m (L-l)(L-l-m)}{2(L-l-m)} \binom{L-l-m}{m} B^{L-l-2m} \alpha_0(k)^{m-1} \quad (80)$$

$$\begin{aligned} c_{1,1}^2 &= \sum_{m=0}^1 \frac{(-1)^m \cdot 2(2-m)}{2(2-m)} \binom{2-m}{m} B^{2-2m} \alpha_0(k)^{m-1} \\ \therefore c_{1,1}^2 &= \frac{1}{2} B^2 \alpha_0(k)^{-1} - 1 \end{aligned} \quad (80.1)$$

$$\begin{aligned} c_{0,1}^2 &= \sum_{m=0}^1 \frac{(-1)^m \cdot 3(3-m)}{2(3-m)} \binom{3-m}{m} B^{3-2m} \alpha_0(k)^{m-1} \\ \therefore c_{0,1}^2 &= \frac{1}{2} B^3 \alpha_0(k)^{-1} - \frac{3}{2} \end{aligned} \quad (80.2)$$

$$\begin{aligned} c_{2,1}^2 &= \sum_{m=0}^0 \frac{(-1)^m}{2(1-m)} \binom{1-m}{m} B^{1-2m} \alpha_0(k)^{m-1} \\ \therefore c_{2,1}^2 &= \frac{1}{2} B \alpha_0(k)^{-1} \end{aligned} \quad (80.3)$$

$$c_{l,1}^1 = \sum_{m=0}^{\lfloor (L-l)/2 \rfloor} (-1)^m \binom{L-l-m}{m} B^{L-l-2m} \alpha_0(k)^m \quad (81)$$

$$\begin{aligned} c_{0,1}^1 &= \sum_{m=0}^1 (-1)^m \binom{3-m}{m} B^{3-2m} \alpha_0(k)^m \\ \therefore c_{0,1}^1 &= B^3 - 2B\alpha_0(k) \end{aligned} \quad (81.1)$$

$$\begin{aligned} c_{1,2}^1 &= \sum_{m=0}^1 (-1)^m \binom{2-m}{m} B^{2-2m} \alpha_0(k)^m \\ \therefore c_{1,1}^1 &= B^2 - \alpha_0(k) \end{aligned} \quad (81.2)$$

เอกสารนี้เป็นเอกสารที่สงวนไว้สำหรับการใช้งานเพื่อการศึกษาเท่านั้น ไม่อนุญาตให้นำไปใช้ประโยชน์ด้านการค้า  
ไม่ว่ากรณีใดๆ ทั้งสิ้น อีกทั้งห้ามมิให้ดัดแปลงเนื้อหา และต้องอ้างอิงถึงเจ้าของเอกสารทุกครั้งที่มีการนำไปใช้

$$c_{2,1}^1 = \sum_{m=0}^0 (-1)^m \binom{1-m}{m} B^{1-2m} \alpha_0(k)^m$$

$$\therefore c_{2,1}^1 = B \quad (81.3)$$

$$c_{l,1}^3 = \sum_{m=0}^{\lfloor (l-1)/2 \rfloor} \frac{(-1)^m}{2} \binom{l-l-m-1}{m} B^{l-1-2m-1} \alpha_0(k)^{m-1} \quad (82)$$

$$c_{0,1}^3 = \sum_{m=0}^1 \frac{(-1)^m}{2} \binom{2-m}{m} B^{2-m} \alpha_0(k)^{m-1}$$

$$\therefore c_{0,1}^3 = \frac{1}{2} B^2 \alpha_0(k)^{-1} - \frac{1}{2} B \quad (82.1)$$

$$c_{1,1}^3 = \sum_{m=0}^0 \frac{(-1)^m}{2} \binom{1-m}{m} B^{1-m} \alpha_0(k)^{m-1}$$

$$\therefore c_{1,1}^3 = \frac{1}{2} B \alpha_0(k)^{-1} \quad (82.2)$$

$$c_{2,1}^3 = \sum_{m=0}^0 \frac{(-1)^m}{2} \binom{-m}{m} B^{-m} \alpha_0(k)^{m-1}$$

$$\therefore c_{2,1}^3 = \frac{1}{2} \alpha_0(k)^{-1} \quad (82.3)$$

$$c_{l,2}^1 = \sum_{m=0}^{\lfloor l/2 \rfloor} \frac{(-1)^m}{2} \binom{l-m}{m} B^{l-2m} \alpha_0(k)^{l-l+m-1} \quad (83)$$

$$c_{0,2}^1 = \sum_{m=0}^0 \frac{(-1)^m}{2} \binom{-m}{m} B^{-2m} \alpha_0(k)^{2+m}$$

$$\therefore c_{0,2}^1 = \frac{1}{2} \alpha_0(k)^2 \quad (83.1)$$

$$c_{1,2}^1 = \sum_{m=0}^1 \frac{(-1)^m}{2} \binom{1-m}{m} B^{1-2m} \alpha_0(k)^{1+m}$$

$$\therefore c_{0,2}^1 = \frac{1}{2} \alpha_0(k) - \frac{1}{2} B^{-1} \alpha_0(k)^2 \quad (83.2)$$

$$c_{2,2}^1 = \sum_{m=0}^1 \frac{(-1)^m}{2} \binom{2-m}{m} B^{2-2m} \alpha_0(k)^m$$

$$\therefore c_{0,2}^1 = \frac{1}{2} B^2 - \frac{1}{2} \alpha_0(k) \quad (83.3)$$

$$c_{l,2}^2 = \sum_{m=0}^{\lfloor (l+1)/2 \rfloor} \frac{(-1)^m (l+1)}{2(l-m+1)} \binom{l-m+1}{m} B^{l-2m+1} \alpha_0(k)^{l-l+m-1} \quad (84)$$

เอกสารนี้เป็นเอกสารที่สงวนไว้สำหรับการใช้งานเพื่อการศึกษาเท่านั้น ไม่อนุญาตให้นำไปใช้ประโยชน์ด้านการค้า ไม่ว่าจะกรณีใดๆ ทั้งสิ้น อีกทั้งห้ามมิให้ดัดแปลงเนื้อหา และต้องอ้างอิงถึงเจ้าของเอกสารทุกครั้งที่มีการนำไปใช้

$$c_{0,2}^2 = \sum_{m=0}^0 \frac{(-1)^m}{2(1-m)} \binom{1-m}{m} B^{1-2m} \alpha_0(k)^{2+m}$$

$$\therefore c_{0,2}^2 = \frac{1}{2} B \alpha_0(k)^2 \quad (84.1)$$

$$c_{1,2}^2 = \sum_{m=0}^1 \frac{(-1)^m 2}{2(2-m)} \binom{2-m}{m} B^{2-2m} \alpha_0(k)^{1+m}$$

$$\therefore c_{1,2}^2 = \frac{1}{2} B^2 \alpha_0(k) - B \alpha_0(k)^2 \quad (84.2)$$

$$c_{2,2}^2 = \sum_{m=0}^1 \frac{(-1)^m 3}{2(3-m)} \binom{3-m}{m} B^{3-2m} \alpha_0(k)^m$$

$$\therefore c_{0,2}^1 = \frac{1}{2} B^3 - \frac{3}{2} B \alpha_0(k) \quad (84.3)$$

จากสมการที่ 85

$$R(z) = \begin{bmatrix} r_0(z) & r_1(z) & \cdots & r_{L-1}(z) \\ r_{-1}(z) & r_0(z) & \cdots & \vdots \\ \vdots & \cdot & \cdot & r_1(z) \\ r_{-(L-1)}(z) & \cdots & r_{-1}(z) & r_0(z) \end{bmatrix} \quad (85)$$

เมื่อ ภายใน matrix  $\bar{R}(z)$  แต่ละ element มีค่าเท่ากับ

$$r_s(s) = \begin{cases} b_{s,1} z^{-1} + b_{s,2} z^{-2} \\ 1 + b_{s,1} z^{-1} + b_{s,2} z^{-2} \\ b_{L+s,1} + b_{L+s,2} z^{-1} \end{cases} \quad (86)$$

หาค่า  $b_{z,x}$  ต่างๆ ได้จาก สมการที่ 87

$$\begin{aligned} b_{s,1} &= c_{s,1}^1 + c_{s,1}^2 - B_{s,1}^3 & s \neq 0 \\ b_{s,1} &= A_1(c_{s,1}^2 - B c_{s,1}^3) & s = 0 \\ b_{s,2} &= (B^2 - 2A_2)c_{s,2}^1 - B c_{s,2}^2 & s \neq 0 \\ b_{s,1} &= -2c_{s,2}^1 & s = 0 \end{aligned}$$

จากสมการที่ 85 และ 86 จะพบว่าค่า S มีค่าเท่ากับ -2, -1, 0, 1, 2 ดังนั้นจะได้

เอกสารนี้เป็นเอกสารที่สงวนไว้สำหรับการใช้งานเพื่อการศึกษาเท่านั้น ไม่อนุญาตให้นำไปใช้ประโยชน์ด้านการค้า ไม่ว่าจะกรณีใดๆ ทั้งสิ้น อีกทั้งห้ามมิให้ดัดแปลงเนื้อหา และต้องอ้างอิงถึงเจ้าของเอกสารทุกครั้งที่มีการนำไปใช้

S = -2

$$\begin{aligned} r_{-2}(z) &= b_{1,1} + b_{1,2}z^{-1} \\ &= [c_{1,1}^1 + c_{1,1}^2 - Bc_{1,1}^3] + [(B^2 - 2A_2)c_{1,2}^1 - Bc_{1,2}^2]z^{-1} \end{aligned}$$

$$r_{-2}(z) = \begin{bmatrix} B^2 - \alpha_0(k) + \frac{1}{2}B^2\alpha_0(k)^{-1} \\ -\frac{1}{2}B^2\alpha_0(k) - 1 \end{bmatrix} + \begin{bmatrix} (B^2 - 2A_2) * \left( \frac{1}{2}B\alpha_0(k) - \frac{1}{2}B^{-1}\alpha_0^2(k) \right) \\ -B \left( \frac{1}{2}B^2\alpha_0(k) - B\alpha_0^2(k) \right) \end{bmatrix} z^{-1}$$

$$r_{-2}(z) = [B^2 - \alpha_0(k) - 1] + \begin{bmatrix} -BA_2\alpha_0(k) - \frac{1}{2}B\alpha_0^2(k) \\ -B\alpha_0^2(k) + A_2B^{-1}\alpha_0^2(k) \end{bmatrix} z^{-1} \quad (87)$$

S = -1

$$\begin{aligned} r_{-1}(z) &= b_{2,1} + b_{2,2}z^{-1} \\ &= [c_{2,1}^1 + c_{2,1}^2 - Bc_{2,1}^3] + [(B^2 - 2A_2)c_{2,2}^1 - Bc_{2,2}^2]z^{-1} \end{aligned}$$

$$\begin{aligned} r_{-1}(z) &= \left[ B + \frac{1}{2}B\alpha_0^{-1}(k) - \frac{1}{2}B\alpha_0^{-1}(k) \right] \\ &+ \left[ (B^2 - 2A_2) * \left( \frac{1}{2}B^2 - \frac{1}{2}\alpha_0(k) \right) - B \left( \frac{1}{2}B^3 - \frac{3}{2}B\alpha_0(k) \right) \right] z^{-1} \end{aligned}$$

$$r_{-1}(z) = [B] + [-B^2A_2 - 2B^2\alpha_0(k) - A_2\alpha_0(k)]z^{-1} \quad (88)$$

S = 0

$$r_0(z) = 1 + b_{0,1}z^{-1} + b_{0,2}z^{-2}$$

$$= 1 + [A_1(c_{0,1}^2 - Bc_{0,1}^3)]z^{-1} - 2c_{0,2}^1z^{-2}$$

$$r_0 = 1 + A_1 \left[ \left( \frac{1}{2}B^3\alpha_0^{-1}(k) - \frac{3}{2} \right) - B \left( \frac{1}{2}B^2\alpha_0^{-1}(k) - \frac{1}{2}B \right) \right] z^{-1} - \alpha_0^2(k)z^{-2}$$

$$r_0 = 1 + \left( \frac{3}{2}A_1 - \frac{1}{2}B^2A_1 \right) z^{-1} - \alpha_0^2(k)z^{-2} \quad (89)$$

เอกสารนี้เป็นเอกสารที่สงวนไว้สำหรับการใช้งานเพื่อการศึกษาเท่านั้น ไม่อนุญาตให้นำไปใช้ประโยชน์ด้านการค้า  
ไม่ว่ากรณีใดๆ ทั้งสิ้น อีกทั้งห้ามมิให้ตัดแปลงเนื้อหา และต้องอ้างอิงถึงเจ้าของเอกสารทุกครั้งที่มีการนำไปใช้

S = 1

$$\begin{aligned}
 r_1(z) &= b_{1,1}z^{-1} + b_{1,2}z^{-2} \\
 &= [c_{1,1}^1 + c_{1,1}^2 - Bc_{1,1}^3]z^{-1} + [(B^2 - 2A_2)c_{1,2}^1 - Bc_{1,2}^2]z^{-2} \\
 r_1(z) &= \left[ B^2 - \alpha_0(k) + \frac{1}{2}B^2\alpha_0^{-1}(k) - \frac{1}{2}B^2\alpha_0^{-1}(k) - 1 \right]z^{-1} \\
 &+ \left[ (B^2 - 2A_2) * \left( \frac{1}{2}B\alpha_0(k) - \frac{1}{2}B^{-1}\alpha_0^2(k) \right) - B \left( \frac{1}{2}B^2\alpha_0(k) - B\alpha_0^2(k) \right) \right]z^{-2} \\
 r_1(z) &= [B^2 - \alpha_0(k) - 1]z^{-1} + \left[ \begin{array}{l} -BA_2\alpha_0(k) - \frac{1}{2}B\alpha_0^2(k) \\ -B^2\alpha_0^2(k) + A_2B^{-1}\alpha_0^2(k) \end{array} \right]z^{-2} \quad (90)
 \end{aligned}$$

S = 2

$$\begin{aligned}
 r_2(z) &= b_{2,1}z^{-1} + b_{2,2}z^{-2} \\
 &= [c_{2,1}^1 + c_{2,1}^2 - Bc_{2,1}^3]z^{-1} + [(B^2 - 2A_2)c_{2,2}^1 - Bc_{2,2}^2]z^{-2} \\
 r_{-1}(z) &= \left[ B + \frac{1}{2}B\alpha_0^{-1}(k) - \frac{1}{2}B\alpha_0^{-1}(k) \right]z^{-1} \\
 &+ \left[ (B^2 - 2A_2) * \left( \frac{1}{2}B^2 - \frac{1}{2}\alpha_0(k) \right) - B \left( \frac{1}{2}B^3 - \frac{3}{2}B\alpha_0(k) \right) \right]z^{-2} \\
 r_{-1}(z) &= [B]z^{-1} + [-B^2A_2 - 2B^2\alpha_0(k) - A_2\alpha_0(k)]z^{-2} \quad (91)
 \end{aligned}$$

จากสมการที่ 74 จะมีค่าเท่ากับสมการที่ 57 ส่วนสมการ  $\frac{(1 - \alpha_0(k))r_s(z)}{(2(1 - a_1z^{-1} - a_2z^{-2}))}$  ของ  $H(z)$  คือ ค่า transfer function ของตัวคูณ  $z^{-1}$  อันดับที่สองของ IIR filter แถวลำดับที่  $l - th$  ของ  $H(z)$  จะรับทราบค่าของทุกสาขาของการฟิลเตอร์ด้วย ค่าอินพุต  $L$  และ ค่าเอาต์พุต  $l$  นั้นก็คือค่า  $Y_l(z)$  โดย ค่า transfer function ของค่า  $Y_l(z)$  จะแทนด้วยค่า  $H_l(z)$  ซึ่งได้มาจากสมการที่ 57

ค่า transfer function ของค่า  $Y_l(z)$  คือ

$$\begin{aligned}
 \bar{Y} &= \bar{H}(z) * \bar{X}(z) \\
 \begin{bmatrix} Y_0(z) \\ Y_1(z) \\ Y_2(z) \end{bmatrix} &= \frac{1 - \alpha_0(k)}{2D(z)} \begin{bmatrix} r_0(z) & r_1(z) & r_2(z) \\ r_{-1}(z) & r_0(z) & r_1(z) \\ r_{-2}(z) & r_{-1}(z) & r_0(z) \end{bmatrix} \begin{bmatrix} X_0(z) \\ X_1(z) \\ X_2(z) \end{bmatrix}
 \end{aligned}$$

เอกสารนี้เป็นเอกสารที่สงวนไว้สำหรับการใช้งานเพื่อการศึกษาเท่านั้น ไม่อนุญาตให้นำไปใช้ประโยชน์ด้านการค้า ไม่ว่ากรณีใดๆ ทั้งสิ้น อีกทั้งห้ามมิให้ดัดแปลงเนื้อหา และต้องอ้างอิงถึงเจ้าของเอกสารทุกครั้งที่มีการนำไปใช้

$$\begin{bmatrix} Y_0(z) \\ Y_1(z) \\ Y_2(z) \end{bmatrix} = \frac{1 - \alpha_0(k)}{2D(z)} \begin{bmatrix} r_0(z)X_0(z) + r_1(z)X_1(z) + r_2(z)X_2(z) \\ r_{-1}(z)X_0(z) + r_0(z)X_1(z) + r_1(z)X_2(z) \\ r_{-2}(z)X_0(z) + r_{-1}(z)X_1(z) + r_0(z)X_2(z) \end{bmatrix}$$

$$Y_0(z) = \frac{1 - \alpha_0(k)}{2D(z)} [r_0(z)X_0(z) + r_1(z)X_1(z) + r_2(z)X_2(z)] \quad (92)$$

$$Y_1(z) = \frac{1 - \alpha_0(k)}{2D(z)} [r_{-1}(z)X_0(z) + r_0(z)X_1(z) + r_1(z)X_2(z)] \quad (93)$$

$$Y_2(z) = \frac{1 - \alpha_0(k)}{2D(z)} [r_{-2}(z)X_0(z) + r_{-1}(z)X_1(z) + r_0(z)X_2(z)] \quad (94)$$

ค่า Z-Transform ของสมการที่ 92 คือ

$$Y_0(z) = \frac{1 - \alpha_0(k)}{2D(z)} \left[ \left[ 1 + \left( A_1 \left( -\frac{3}{2} - \frac{1}{2} B^2 \right) \right) z^{-1} - \alpha_0^2(k) z^{-2} \right] X_0(z) + \left[ (B^2 - \alpha_0(k) - 1) z^{-1} + \left[ \frac{A_2(-B\alpha_0(k) + B^{-1}\alpha_0^2(k)) - \frac{1}{2} B\alpha_0^2(k) - B^2\alpha_0^2(k)}{2} \right] z^{-2} \right] X_1(z) + \left[ Bz^{-1} + \left[ A_2(-B^2 - \alpha_0(k)) - 2B^2\alpha_0(k) \right] z^{-2} \right] X_2(z) \right] \quad (95)$$

ค่า Inverse Z-Transform ของสมการที่ 95 คือ

$$y(3k) = \frac{1 - \alpha_0(k)}{2} \left[ x(3k) + \left[ A_1 \left( -\frac{3}{2} - \frac{1}{2} B^2 \right) \right] x(3k - 3) - \alpha_0^2(k) x(3k - 6) + (B^2 - \alpha_0(k)) x(3k - 2) + \left[ \frac{A_2(-B\alpha_0(k) + B^{-1}\alpha_0^2(k)) - \frac{1}{2} B\alpha_0^2(k) - B^2\alpha_0^2(k)}{2} \right] x(3k - 5) + Bx(3k - 1) + \left[ A_2(-B^2 - \alpha_0(k)) - 2B^2\alpha_0(k) \right] x(3k - 4) - B^3 y(3k - 3) + 3B\alpha_0(k) y(3k - 3) + \alpha_0^3(k) y(3k - 6) \right] \quad (96)$$

เอกสารนี้เป็นเอกสารที่สงวนไว้สำหรับการใช้งานเพื่อการศึกษาเท่านั้น ไม่อนุญาตให้นำไปใช้ประโยชน์ด้านการค้า ไม่ว่าจะกรณีใดๆ ทั้งสิ้น อีกทั้งห้ามมิให้ดัดแปลงเนื้อหา และต้องอ้างอิงถึงเจ้าของเอกสารทุกครั้งที่มีการนำไปใช้

ค่า Z-Transform ของสมการที่ 93 คือ

$$Y_1(z) = \frac{1 - \alpha_0(k)}{2D(z)}$$

$$\left[ \begin{aligned} & [B + (A_2(-B^2 - \alpha_0(k)) - 2B^2\alpha_0(k))z^{-1}]X_0(z) \\ & + \left[ \left[ 1 + \left( A_1 \left( -\frac{3}{2} - \frac{1}{2}B^2 \right) \right) z^{-1} \right] - \alpha_0^2(k)z^{-2} \right] X_1(z) \\ & + \left[ (B^2 - \alpha_0(k) - 1)z^{-1} + \left[ \frac{A_2(-B\alpha_0(k) + B^{-1}\alpha_0^2(k)) - \frac{1}{2}B\alpha_0^2(k) - B^2\alpha_0^2(k)}{2} \right] z^{-2} \right] X_2(z) \end{aligned} \right] \quad (97)$$

ค่า Inverse Z-Transform ของสมการที่ 97 คือ

$$y(3k+1) = \frac{1 - \alpha_0(k)}{2} \left[ \begin{aligned} & Bx(3k) + A_2(-B^2 - \alpha_0(k))x(3k-3) - \\ & 2B^2\alpha_0(k)x(3k-3) + x(3k+1) + \left[ A_1 \left( -\frac{3}{2} - \frac{1}{2}B^2 \right) \right] x(3k-2) - \alpha_0^2(k)x(3k-5) + \\ & (B^2 - \alpha_0(k))x(3k-1) + \left[ \frac{A_2(-B\alpha_0(k) + B^{-1}\alpha_0^2(k)) - \frac{1}{2}B\alpha_0^2(k) - B^2\alpha_0^2(k)}{2} \right] x(3k-4) + B^3y(3k-2) + \\ & 3B\alpha_0(k)y(3k-2) + \alpha_0^3(k)y(3k-5) \end{aligned} \right] \quad (98)$$

ค่า Z-Transform ของสมการที่ 94 คือ

$$Y_2(z) = \frac{1 - \alpha_0(k)}{2D(z)}$$

$$\left[ \begin{aligned} & \left[ (B^2 - \alpha_0(k) - 1) + (A_2[-B\alpha_0 + B^{-1}\alpha_0^2(k)]) - \frac{1}{2}B\alpha_0(k) - B^2\alpha_0^2(k) \right] X_1(z) \\ & + [B + (A_2(-B^2 - \alpha_0(k)) - 2B^2\alpha_0(k))z^{-1}]X_1(z) \\ & + \left[ \left[ 1 + \left( A_1 \left( -\frac{3}{2} - \frac{1}{2}B^2 \right) \right) z^{-1} \right] - \alpha_0^2(k)z^{-2} \right] X_2(z) \end{aligned} \right] \quad (99)$$

เอกสารนี้เป็นเอกสารที่สงวนไว้สำหรับการใช้งานเพื่อการศึกษาเท่านั้น ไม่อนุญาตให้นำไปใช้ประโยชน์ด้านการค้า  
ไม่ว่ากรณีใดๆ ทั้งสิ้น อีกทั้งห้ามมิให้ดัดแปลงเนื้อหา และต้องอ้างอิงถึงเจ้าของเอกสารทุกครั้งที่มีการนำไปใช้

ค่า Inverse Z-Transform ของสมการที่ 99 คือ

$$\begin{aligned}
 y(3k+2) = & \frac{1-\alpha_0(k)}{2} \left[ (B^2 - \alpha_0(k) - 1)x(3k) + \left[ \frac{A_2(-B\alpha_2(k) + B^{-1}\alpha_0^2(k)) -}{\frac{1}{2}B\alpha_0(k) - B^2\alpha_0^2(k)} \right] x(3k-3) \right. \\
 & + Bx(3k+1) + A_2(-B^2 - \alpha_0(k))x(3k-2) - 2B^2\alpha_0(k)x(3k-2) \\
 & + x(3k+2) + \left. \left[ A_1\left(-\frac{3}{2} - \frac{1}{2}B^2\right) \right] x(3k-1) - \alpha_0^2(k)x(3k-4) + B^3y(3k-1) + \right. \\
 & \left. 3B\alpha_0(k)y(3k-1) + \alpha_0^3(k)y(3k-4) \right]
 \end{aligned} \tag{100}$$

ค่าความเร็วกลางเชิงมุม  $\omega_0$  ของทุกสาขาของการฟิลเตอร์จะถูกกำหนดโดยค่า  $\alpha_1(k)$  สมการ adaptive algorithm ของ  $\alpha_1(k)$  ของทุกสาขาของการฟิลเตอร์จะสามารถหาได้จาก

$$\alpha_1(k+1) = \alpha_1(k) + \mu_1 \sum_{l=0}^{L-1} y(Lk+l) \psi_1(Lk+l) \tag{101}$$

โดยที่

$$\psi_1(Lk+l) = \frac{\partial y(Lk+l)}{\partial \alpha_1(k)} \tag{102}$$

และค่า  $\mu_1$  คือ ค่า step-size parameter ดังนั้นค่า  $\psi_1(k)$  จะนิยามได้ว่า

$$\psi_1(k) = [\psi_1(Lk) \psi_1(Lk+1) \dots \psi_1(Lk+L-1)]^T \tag{103}$$

และ z-transform ของสมการที่ 104 หาได้จากสมการที่ 103

ค่าของ  $\Psi_1(z)$  นิยามได้จาก

$$\Psi_1(z) = [\Psi_{1,0}(z) \Psi_{1,1}(z) \dots \Psi_{1,L-1}(z)]^T \tag{104}$$

ดังนั้นค่าของ  $\Psi_1(z)$  จึงหาได้จาก

$$\Psi_1(z) = \frac{1}{D(z)} \left\{ \frac{1-\alpha_0(k)}{2} * \frac{\partial R(z)}{\partial \alpha_1(k)} X(z) + \frac{\partial a_1}{\partial \alpha_1(k)} Y(z) z^{-1} \right\} \tag{105}$$

เอกสารนี้เป็นเอกสารที่สงวนไว้สำหรับการใช้งานเพื่อการศึกษาเท่านั้น ไม่อนุญาตให้นำไปใช้ประโยชน์ด้านการค้า ไม่ว่ากรณีใดๆ ทั้งสิ้น อีกทั้งห้ามมิให้ตัดแปลงเนื้อหา และต้องอ้างอิงถึงเจ้าของเอกสารทุกครั้งที่มีการนำไปใช้

โดยที่

$$D(z) = 1 - a_1 z^{-1} - a_2 z^{-2} \quad (106)$$

โดยแต่ละส่วนของสมการที่ 103 จะเป็น adaptive control signal สำหรับโครงสร้างแบบ scalar ในสมการที่ 105 ค่า transfer function ของแต่ละสาขา  $l$  จะหาได้จาก  $\Psi_{1,l}(z)$  ซึ่งแสดงแทนด้วย  $G_{1,l}(z)$  โดยจะมี อินพุต  $L+1$  และ เอาท์พุท 1

สมการ adaptive algorithm ของค่า  $\alpha_0(k)$  ของแต่ละสาขาของการฟิลเตอร์ จะมีพื้นฐานมาจากสมการ algorithm แบบ โครงสร้าง scalar ซึ่งสามารถหาได้จาก

$$\alpha_0(L(k+1)+1) = \alpha_0(Lk+1) + \mu_0 \psi_1(Lk+1) \psi_0(Lk+1) \quad (107)$$

โดยที่

$$\psi_0(Lk+1) = \frac{\partial \psi_1(Lk+1)}{\partial \alpha_0(Lk+1)} \quad (108)$$

สมการเหล่านี้ถูก derived โดยการแทนที่  $Lk+1$  ด้วย  $k$  ในสมการที่ (63) และ (64) ค่าของ  $\psi_0(k)$  นิยามได้จาก

$$\psi_0(k) = [\psi_0(Lk) \psi_0(Lk+1) \dots \psi_0(Lk+L-1)]^t \quad (109)$$

ค่าของ  $\Psi_0(z)$  นิยามได้จาก

$$\Psi_0(z) = [\Psi_{0,0}(z) \Psi_{0,1}(z) \dots \Psi_{0,L-1}(z)]^t \quad (110)$$

ดังนั้นค่าของ  $\Psi_0(z)$  จึงหาได้จาก

$$\Psi_0(z) = \frac{1}{D(z)} \left\{ -\frac{1}{2} \frac{\partial R(z)}{\partial \alpha_1(k)} X(z) + \frac{1 - \alpha_0(Lk+1)}{2} \frac{\partial R(z)}{\partial \alpha_1(k) \partial \alpha_0(Lk+1)} X(z) - \frac{\partial D(z)}{\partial \alpha_1(k)} \frac{\partial Y(z)}{\partial \alpha_0(Lk+1)} - \frac{\partial^2 D(z)}{\partial \alpha_1(k) \partial \alpha_0(Lk+1)} Y(z) - \frac{\partial D(z)}{\partial \alpha_0(Lk+1)} \Psi_1(z) \right\} \quad (111)$$

เอกสารนี้เป็นเอกสารที่สงวนไว้สำหรับการใช้งานเพื่อการศึกษาเท่านั้น ไม่อนุญาตให้นำไปใช้ประโยชน์ด้านการค้า ไม่ว่ากรณีใดๆ ทั้งสิ้น อีกทั้งห้ามมิให้ดัดแปลงเนื้อหา และต้องอ้างอิงถึงเจ้าของเอกสารทุกครั้งที่มีการนำไปใช้

โดยที่ค่า

$$\frac{\partial Y(z)}{\partial \alpha_0(Lk+1)} = \frac{1}{D(z)} \left\{ -\frac{1}{2} R(z) X(z) + \frac{1-\alpha_0(Lk+1)}{2} \frac{\partial R(z)}{\partial \alpha_0(Lk+1)} X(z) - \frac{\partial D(z)}{\partial \alpha_0(Lk+1)} Y(z) \right\} \quad (112)$$

ในสมการที่ 111 ค่าของ transfer function ของสาขาฟิลเตอร์  $l$  จะแทนด้วยค่า  $\Psi_{0,1}(z)$  และค่าของ  $\Psi_{0,1}(z)$  จะแสดงแทนด้วยค่า  $G_{0,1}(z)$  โดยจะมี ค่าอินพุตคือ  $L+1$  และค่าเอาต์พุตคือ  $l$  เราเรียกโครงสร้างของ  $L \geq 2$  ว่าเป็นโครงสร้างแบบ parallel block structure

### 3.5 การวิเคราะห์ convergence rate ของ $\alpha_0(k)$

เนื่องจากสัญญาณของเอาต์พุต และ สัญญาณของ adaptive control signal generator ของแต่ละสาขาของ parallel block structure จะมีค่าเท่ากับสัญญาณของเอาต์พุต และ สัญญาณของ adaptive control signal generator ของ scalar structure ตามลำดับ

ในช่วงแรกเราจะพิจารณาสัญญาณเอาต์พุตของค่า  $H(z)$ ,  $G_1(z)$  และ ค่า  $G_0(z)$  ในโครงสร้างแบบ scalar จากคุณลักษณะทางแอมพลิจูดและทางเฟสของสมการที่ 57 จะแสดงด้วย  $|H(e^{j\omega})|$  และ  $\Theta_H(\omega)$  ตามลำดับ และ ค่าสัญญาณของ adaptive control signal generator สำหรับ ค่า  $\alpha_1(k)$  และ ค่า  $\alpha_0(k)$  ของ  $L=1$  จะแทนด้วย  $|G_1(e^{j\omega})|$ ,  $\Theta_{G_1}(\omega)$ ,  $|G_0(e^{j\omega})|$  และ  $\Theta_{G_0}(\omega)$ , ตามลำดับ ดังนั้นจะได้ค่าคือ

$$\left| H(e^{j\omega}) \right|^2 = \frac{\sin^2(\omega)}{\left\{ \frac{1+\alpha_0(k)}{1-\alpha_0(k)} \right\}^2 \{ \cos(\omega) - \alpha_1(k) \}^2 + \sin^2(\omega)} \quad (113)$$

$$\Theta_H(\omega) = \frac{\pi}{2} - \tan^{-1} \left[ \frac{\{ 1 - \alpha_0(k) \} \sin(\omega)}{\left\{ \frac{1+\alpha_0(k)}{1-\alpha_0(k)} \right\} \{ \cos(\omega) - \alpha_1(k) \}} \right] \quad (114)$$

$$\left| G_1(e^{j\omega}) \right|^2 = \frac{1}{\{ \cos(\omega) - \alpha_1(k) \}^2 + \left\{ \frac{1-\alpha_0(k)}{1+\alpha_0(k)} \right\}^2 \sin^2(\omega)} \quad (115)$$

เอกสารนี้เป็นเอกสารที่สงวนไว้สำหรับการใช้งานเพื่อการศึกษาเท่านั้น ไม่อนุญาตให้นำไปใช้ประโยชน์ด้านการค้า ไม่ว่ากรณีใดๆ ทั้งสิ้น อีกทั้งห้ามมิให้ดัดแปลงเนื้อหา และต้องอ้างอิงถึงเจ้าของเอกสารทุกครั้งที่มีการนำไปใช้

$$\Theta_{G_1}(\omega) = -\tan^{-1} \left[ \frac{\{1 - \alpha_0(k)\} \sin(\omega)}{\{1 - \alpha_0(k)\} \{\cos(\omega) - \alpha_1(k)\}} \right] \quad (116)$$

$$= \Theta_H(\omega) - \frac{\pi}{2} \quad (117)$$

$$|G_0(e^{j\omega})|^2 = \left\{ \frac{2}{1 - \alpha_0^2(k)} \right\} \quad (118)$$

$$\Theta_{G_0}(\omega) = \pi - 2 \tan^{-1} \left[ \frac{\{1 - \alpha_0(k)\} \sin(\omega)}{\{1 + \alpha_0(k)\} \{\cos(\omega) - \alpha_1(k)\}} \right] \quad (119)$$

$$= 2\Theta_H(\omega) \quad (120)$$

เมื่อค่าของ SNR มีค่ามากพอ ค่าของอินพุต  $x(k)$  ในสมการที่ (56) สามารถประมาณได้ว่า

$$x(k) \approx A \cos(\omega k + \theta) \quad (121)$$

และค่าเอาต์พุตของ  $\psi_1(k)$  และ  $\psi_0(k)$  ของค่า  $G_1(z)$  และค่า  $G_0(z)$  สามารถหาได้

จาก

$$\begin{aligned} \psi_1(k) &\approx |G_1(e^{j\omega})| |H(e^{j\omega})| A \cos \{ \omega k + \theta + \Theta_H(\omega) + \Theta_{G_1}(\omega) \} \\ &= |G_1(e^{j\omega})| |H(e^{j\omega})| A \sin \{ \omega k + \theta + 2\Theta_H(\omega) \} \end{aligned} \quad (122)$$

$$\begin{aligned} \psi_0(k) &\approx |G_0(e^{j\omega})| |G_1(e^{j\omega})| |H(e^{j\omega})| A \sin \{ \omega k + \theta + 2\Theta_H(\omega) + \Theta_{G_0}(\omega) \} \\ &= |G_0(e^{j\omega})| |G_1(e^{j\omega})| |H(e^{j\omega})| A \sin \{ \omega k + \theta + 4\Theta_H(\omega) \} \end{aligned} \quad (123)$$

เอกสารนี้เป็นเอกสารที่สงวนไว้สำหรับการใช้งานเพื่อการศึกษาเท่านั้น ไม่อนุญาตให้นำไปใช้ประโยชน์ด้านการค้า  
ไม่ว่ากรณีใดๆ ทั้งสิ้น อีกทั้งห้ามมิให้ดัดแปลงเนื้อหา และต้องอ้างอิงถึงเจ้าของเอกสารทุกครั้งที่มีการนำไปใช้

ในตอนนี้เราจะพิจารณาสัญญาณเอาต์พุตของค่า  $H(z)$ ,  $G_1(z)$  และ ค่า  $G_0(z)$  ในโครงสร้างแบบ parallel block เมื่อสัญญาณอินพุตคือค่า  $x(Lk + l)$  ค่าสัญญาณของ adaptive control คือค่า  $\psi_1(Lk + l)$  และ ค่า  $\psi_0(Lk + l)$  จะสามารถหาได้จากการแทนที่ค่าของ  $\omega k$  ด้วย  $\omega(Lk + l)$  ในสมการที่ 122 และ 123 ตามลำดับ

เราจะได้สมการที่ 107 ใหม่ เพื่อที่จะกำหนดค่า convergence rate ของค่า  $\alpha_0(Lk + l)$  เราสามารถที่จะคำนวณค่าเฉลี่ยผลรวมของค่า  $\psi_1(Lk + l)$  และค่า  $\psi_0(Lk + l)$  ได้จากสมการที่ 124

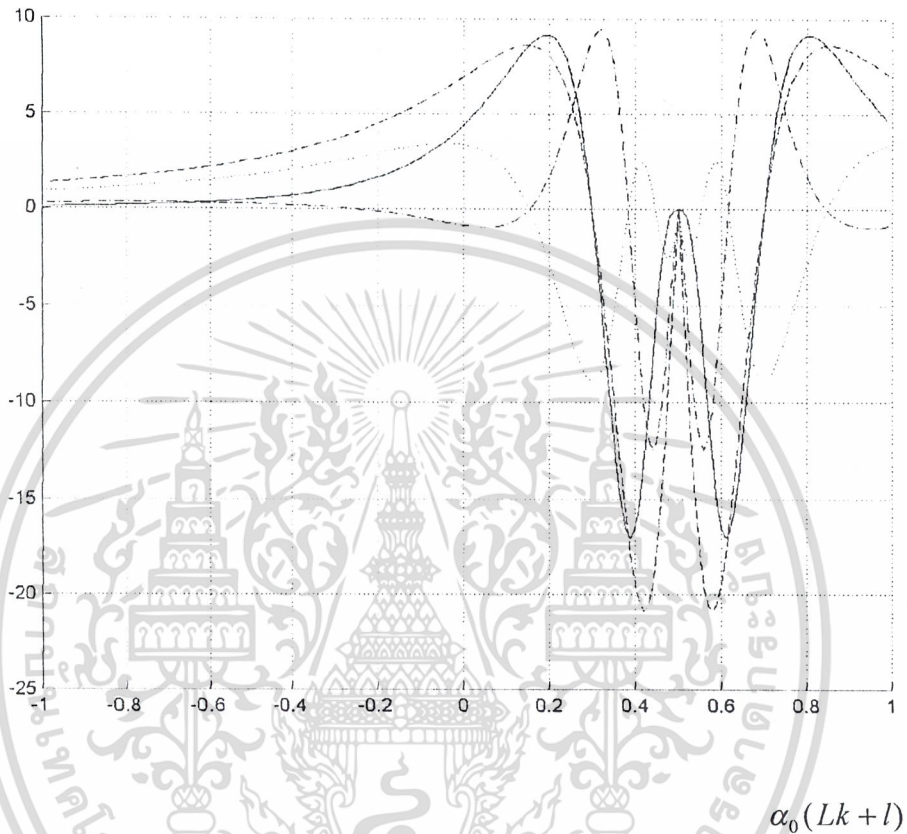
$$m_{\alpha_0}(L, l) = \frac{1}{2K} \sum_{k=0}^{2K-1} \psi_1(Lk + l) \psi_0(Lk + l) \quad (124)$$

โดยที่  $\omega = \frac{\pi}{K}$  และ  $K$  คือจำนวนเต็ม

รูปที่ 3.2 แสดงคุณสมบัติโดยอ้างอิงกับ  $\alpha_0(Lk + l)$  สถานะของการทดสอบคือ  $L = 3, (l = 0, 1, 2), A = 1, \omega = \pi/3, \theta = 0.0$  และ  $\alpha_1(k) = 0.3$

จากรูปที่ 3.2 ค่าของ  $\alpha_0(Lk + l)$  จะเพิ่มขึ้น เมื่อค่า  $m_{\alpha_0}(L, l)$  เป็นบวก และ จะมีค่าลดลง เมื่อเป็นค่าลบ, และจะทำให้เกิดการหยุดซังก (Halt) เมื่อ  $m_{\alpha_0}(L, l) = 0$  จากรูปที่ 3.1 สมการที่ (67) และ สมการที่ (68) เมื่อ ค่า  $\alpha_1(k) = 0.3, \alpha_{opt} = 0.625$

$$m_{\alpha_0}(L, l)$$



$$1: l = 0, \quad 2: l = 1, \quad 3: l = 2, \quad 4: \text{sum of } l = 0, 1, 2$$

$$\alpha_1(k) = 0.3, \quad \alpha_{0opt} = 0.625$$

รูปที่ 3.2 แสดง Characteristics curves ของ  $m_{\alpha_0}(L, l)$

จากรูปที่ 3.2 จะเห็นได้ว่าค่า  $\alpha_0(Lk + l)$  คู่เข้า เมื่อค่า  $m_{\alpha_0}(L, l) = 0$  และจำนวนค่าของการคู่เข้าของค่า  $\alpha_0(Lk + l)$  จะไม่มีค่าแค่หนึ่ง ค่า  $m_{\alpha_0}(L, l)$  ของแต่ละสาขาของการฟิลเตอร์แบบโครงสร้างแบบ parallel block โดยรวมกับสาขา  $l$  จะได้สมการดังต่อไปนี้

$$\sum_{t=0}^{L-1} m_{\alpha_0}(L, l) = \sum_{t=0}^{L-1} \left\{ \frac{1}{2K} \sum_{k_1=0}^{2K-1} \psi_1(Lk_1 + l) \psi_0(Lk_1 + l) \right\}$$

$$= \frac{1}{2K} \sum_{k_1=0}^{2K-1} \left\{ \psi_1(Lk_1 + 0) \psi_0(Lk_1 + 0) + \dots + \psi_1(Lk_1 + L - 1) \psi_0(Lk_1 + L - 1) \right\}$$

$$\psi_1(2L - 1) \psi_0(2L - 1) + \psi_1(2L) \psi_0(2L) + \dots + \psi_1(2LK - 1) \psi_0(2LK - 1) \left\}$$

เอกสารนี้เป็นเอกสารที่สงวนไว้สำหรับการใช้งานเพื่อการศึกษาเท่านั้น ไม่อนุญาตให้นำไปใช้ประโยชน์ด้านการค้าไม่ว่ากรณีใดๆ ทั้งสิ้น อีกทั้งห้ามมิให้ดัดแปลงเนื้อหา และต้องอ้างอิงถึงเจ้าของเอกสารทุกครั้งที่มีการนำไปใช้

$$\begin{aligned}
&= \frac{1}{2K} \sum_{k_2=2}^{2LK-1} \psi_1(k_2) \psi_0(k_2) \\
&= L \frac{1}{2LK} \sum_{k_2=0}^{2LK-1} \psi_1(k_2) \psi_0(k_2) \quad (125)
\end{aligned}$$

จากสมการที่ 125 จะพบว่าผลรวมของการคูณของค่า adaptive control signal สำหรับ  $\alpha_1$  และค่า adaptive control signal สำหรับ  $\alpha_0$  ในแต่ละสาขาของการฟิลเตอร์จะมีค่าเท่ากับ  $L$  เท่าของ  $m_{\alpha_0}(L, l)$  ของโครงสร้างแบบ scalar ดังนั้น จำนวนของการดูเข้าของค่า  $\alpha_0(Lk + l)$  จะมีค่าเริ่มเข้าใกล้ 1 และอัตราการดูเข้าจะเพิ่ม เพราะค่าสัมบูรณ์ค่าใหม่ที่เกิดขึ้นบนค่า  $\alpha_0(Lk + l)$  ในรูปที่ 2 คือการเพิ่มอย่างปกติ โดยสมการใหม่ที่เกิดขึ้นสำหรับสาขาของการใช้ค่าบางค่าแทนที่ค่า  $m_{\alpha_0}(L, l)$  โดยสามารถหาได้จาก

$$\alpha_0(k+1) = \alpha_0(k) + \mu_0 \sum_{l=0}^{L-1} \psi_1(Lk+l) \psi_0(Lk+l) \quad (126)$$

### 3.6 Adaptive control signal generator โดยการใช้โครงสร้าง parallel block

จากการคำนวณที่ซับซ้อนในแต่ละสาขาของตัว filter โดยการใช้ algorithm แบบใหม่ที่ได้จากสมการที่ (112) จะแสดงให้เห็นในตารางที่ 4 โดยที่ ค่าของ  $L = 1$  ซึ่งมีโครงสร้างแบบ scalar จากตารางที่ 1 จะพบว่าการคำนวณที่สลับซับซ้อนในตัวฟิลเตอร์ ค่าของ  $G_0(z)$  จะมีความซับซ้อนมาก เพื่อที่จะลดความซับซ้อนนั้นในการคำนวณนั้น เราจะใช้โครงสร้างแบบขนานให้กับตัว adaptive control signal generator transfer function ของแมกทริกซ์ ค่า  $G_1(z)$  และค่า  $G_0(z)$  แทนด้วยขนาด อินพุต  $L$  และ เอาท์พุท  $L$  ซึ่งอยู่ในรูปแบบของ Toeplitz

	ผลบวก			ผลคูณ		
$L$	1	2	3	1	2	3
$H_1(z)$	3	7	9	4	9	11
$G_{1,l}(z)$	2	5	8	3	5	11
$G_{0,l}(z)$	4	23	33	6	26	39
C.U.C.	4	8/2	20/3	9	18/2	40/3
<b>Total</b>	<b>13</b>	<b>39</b>	<b>170/3</b>	<b>22</b>	<b>52</b>	<b>223/3</b>

C.U.C. : coefficient update circuit

ตารางที่ 4 การคำนวณที่สลับซับซ้อนของโครงสร้าง scalar แบบใหม่

เอกสารนี้เป็นเอกสารที่สงวนไว้สำหรับการใช้งานเพื่อการศึกษาเท่านั้น ไม่อนุญาตให้นำไปใช้ประโยชน์ด้านการค้า ไม่ว่ากรณีใดๆ ทั้งสิ้น อีกทั้งห้ามมิให้ดัดแปลงเนื้อหา และต้องอ้างอิงถึงเจ้าของเอกสารทุกครั้งที่มีการนำไปใช้

$$\Psi_1(z) = G_1(z)Y(z) \quad (127)$$

$$G_1(z) = (1 + \alpha_0(k)) \frac{R_1(z)}{1 - a_1 z^{-1} - a_2 z^{-2}} \quad (128)$$

$$R_1(z) = \begin{bmatrix} r_0^1(z) & r_1^1(z) & \dots & r_{L-1}^1(z) \\ r_{-1}^1(z) & r_0^1(z) & \dots & \vdots \\ \vdots & \dots & \dots & r_1^1(z) \\ r_{-(L-1)}^1(z) & \dots & r_{-1}^1(z) & r_0^1(z) \end{bmatrix} \quad (129)$$

$$r_s^1(z) = \begin{cases} b_{s,1}^1 z^{-1} + b_{s,2}^1 z^{-2} & (s \geq 0) \\ b_{L+s,1}^1 + b_{L+s,2}^1 z^{-1} & (s < 0) \end{cases} \quad (130)$$

$$\begin{cases} b_{s,1}^1 = 2\alpha_0(k)c_{s,1}^3 \\ b_{s,2}^1 = Bc_{s,2}^1 - c_{s,2}^2 \end{cases} \quad (131)$$

จากสมการที่ (115) จะเห็นได้ว่า S มีค่าเท่ากับ -2 ถึง 2

$s = -2$

$$\begin{aligned} r_{-2}^1(z) &= b_{-2,1}^1 + b_{-2,2}^1 z^{-1} \\ &= 2\alpha_0(k)c_{1,1}^3 + [Bc_{1,2}^1 - c_{1,2}^2]z^{-1} \\ &= 2\alpha_0(k)\frac{1}{2}B\alpha_0^{-1}(k) + \left[ B \left[ \frac{1}{2}B\alpha_0(k) - \frac{1}{2}B^{-1}\alpha_0^2(k) \right] - \frac{1}{2}B^2\alpha_0(k) - B\alpha_0^2(k) \right] z^{-1} \\ &= B + \left[ -\frac{1}{2}\alpha_0^2(k) - B\alpha_0^2(k) \right] z^{-1} \end{aligned} \quad (132)$$

$s = -1$

$$\begin{aligned} r_{-1}^1(z) &= b_{-1,1}^1 + b_{-1,2}^1 z^{-1} \\ &= 2\alpha_0(k)c_{2,1}^3 + [Bc_{2,2}^1 - c_{2,2}^2]z^{-1} \\ &= 2\alpha_0(k)\frac{1}{2}\alpha_0^{-1}(k) + \left[ B \left( \frac{1}{2}B^2 - \frac{1}{2}\alpha_0(k) \right) - \frac{1}{2}B^3 - \frac{3}{2}B\alpha_0(k) \right] z^{-1} \\ &= 1 + [2B\alpha_0(k)]z^{-1} \end{aligned} \quad (133)$$

เอกสารนี้เป็นเอกสารที่สงวนไว้สำหรับการใช้งานเพื่อการศึกษาเท่านั้น ไม่อนุญาตให้นำไปใช้ประโยชน์ด้านการค้า  
ไม่ว่ากรณีใดๆ ทั้งสิ้น อีกทั้งห้ามมิให้ดัดแปลงเนื้อหา และต้องอ้างอิงถึงเจ้าของเอกสารทุกครั้งที่มีการนำไปใช้

$s = 0$

$$\begin{aligned}
 r_0^1(\hat{z}) &= b_{0,1}^1 \hat{z}^{-1} + b_{0,2}^1 \hat{z}^{-2} \\
 &= 2\alpha_0(k) c_{0,1}^3 \hat{z}^{-1} + [Bc_{0,2}^1 - c_{0,2}^2] \hat{z}^{-2} \\
 &= 2\alpha_0(k) \left( \frac{1}{2} B^2 \alpha_0^{-1}(k) - \frac{1}{2} B \right) \hat{z}^{-1} + \left[ B \left( \frac{1}{2} \alpha_0^2(k) \right) - \left( \frac{1}{2} B \alpha_0^2(k) \right) \right] \hat{z}^{-2} \\
 &= (B^2 - B\alpha_0(k)) \hat{z}^{-1}
 \end{aligned} \tag{134}$$

$s = 1$

$$\begin{aligned}
 r_1^1(\hat{z}) &= b_{1,1}^1 \hat{z}^{-1} + b_{1,2}^1 \hat{z}^{-2} \\
 &= 2\alpha_0(k) c_{1,1}^3 \hat{z}^{-1} + [Bc_{1,2}^1 - c_{1,2}^2] \hat{z}^{-2} \\
 &= 2\alpha_0(k) \frac{1}{2} B \alpha_0^{-1}(k) \hat{z}^{-1} + \left[ B \left[ \frac{1}{2} B \alpha_0(k) - \frac{1}{2} B^{-1} \alpha_0^2(k) \right] - \frac{1}{2} B^2 \alpha_0(k) - B \alpha_0^2(k) \right] \hat{z}^{-2} \\
 &= B \hat{z}^{-1} + \left[ -\frac{1}{2} \alpha_0^2(k) - B \alpha_0^2(k) \right] \hat{z}^{-2}
 \end{aligned} \tag{135}$$

$s = 2$

$$\begin{aligned}
 r_2^1(\hat{z}) &= b_{2,1}^1 \hat{z}^{-1} + b_{2,2}^1 \hat{z}^{-2} \\
 &= 2\alpha_0(k) c_{2,1}^3 \hat{z}^{-1} + [Bc_{2,2}^1 - c_{2,2}^2] \hat{z}^{-2} \\
 &= 2\alpha_0(k) \frac{1}{2} \alpha_0^{-1}(k) \hat{z}^{-1} + \left[ B \left( \frac{1}{2} B^2 - \frac{1}{2} \alpha_0(k) \right) - \frac{1}{2} B^3 - \frac{3}{2} B \alpha_0(k) \right] \hat{z}^{-2} \\
 &= \hat{z}^{-1} + [2B\alpha_0(k)] \hat{z}^{-2}
 \end{aligned} \tag{136}$$

$$\begin{bmatrix} \Psi_{10}(\hat{z}) \\ \Psi_{11}(\hat{z}) \\ \Psi_{12}(\hat{z}) \end{bmatrix} = \frac{1 + \alpha_0(k)}{D(\hat{z})} \begin{bmatrix} r_0(\hat{z}) & r_1(\hat{z}) & r_2(\hat{z}) \\ r_{-1}(\hat{z}) & r_0(\hat{z}) & r_1(\hat{z}) \\ r_{-2}(\hat{z}) & r_{-1}(\hat{z}) & r_0(\hat{z}) \end{bmatrix} \begin{bmatrix} Y_0(\hat{z}) \\ Y_1(\hat{z}) \\ Y_2(\hat{z}) \end{bmatrix} \tag{137}$$

$$\begin{bmatrix} \Psi_{10}(\hat{z}) \\ \Psi_{11}(\hat{z}) \\ \Psi_{12}(\hat{z}) \end{bmatrix} = \frac{1 + \alpha_0(k)}{D(\hat{z})} \begin{bmatrix} r_0(\hat{z})Y_0(\hat{z}) + r_1(\hat{z})Y_1(\hat{z}) + r_2(\hat{z})Y_2(\hat{z}) \\ r_{-1}(\hat{z})Y_0(\hat{z}) + r_0(\hat{z})Y_1(\hat{z}) + r_1(\hat{z})Y_2(\hat{z}) \\ r_{-2}(\hat{z})Y_0(\hat{z}) + r_{-1}(\hat{z})Y_1(\hat{z}) + r_0(\hat{z})Y_2(\hat{z}) \end{bmatrix} \tag{138}$$

$$\Psi_{10}(\hat{z}) = \frac{1 + \alpha_0(k)}{D(\hat{z})} [r_0(\hat{z})Y_0(\hat{z}) + r_1(\hat{z})Y_1(\hat{z}) + r_2(\hat{z})Y_2(\hat{z})] \tag{139}$$

$$\Psi_{11}(\hat{z}) = \frac{1 + \alpha_0(k)}{D(\hat{z})} [r_{-1}(\hat{z})Y_0(\hat{z}) + r_0(\hat{z})Y_1(\hat{z}) + r_1(\hat{z})Y_2(\hat{z})] \tag{140}$$

$$\Psi_{12}(\hat{z}) = \frac{1 + \alpha_0(k)}{D(\hat{z})} [r_{-2}(\hat{z})Y_0(\hat{z}) + r_{-1}(\hat{z})Y_1(\hat{z}) + r_0(\hat{z})Y_2(\hat{z})] \tag{141}$$

เอกสารนี้เป็นเอกสารที่สงวนไว้สำหรับการใช้งานเพื่อการศึกษาเท่านั้น ไม่อนุญาตให้นำไปใช้ประโยชน์ด้านการค้า  
ไม่ว่ากรณีใดๆ ทั้งสิ้น อีกทั้งห้ามมิให้ดัดแปลงเนื้อหา และต้องอ้างอิงถึงเจ้าของเอกสารทุกครั้งที่มีการนำไปใช้

ค่า Z-Transform ของสมการที่ 139 คือ

$$\Psi_{10}(z) = \frac{1 + \alpha_0(k)}{D(z)} \left[ \begin{aligned} & (B^2 - B\beta_{00}(k))z^{-1}Y_0(z) + \left( Bz^{-1} + \left( -\frac{1}{2}\alpha_0^2(k) \right) z^{-2} \right) Y_1(z) \\ & + (z^{-1} + (-2\alpha_0(k))z^{-2})Y_2(z) \end{aligned} \right] \quad (142)$$

ค่า Inverse Z-Transform ของสมการที่ 142 คือ

$$\psi_{10}(3k) = 1 + \alpha_0(k) \left[ \begin{aligned} & (B^2 - B\alpha_0(k))y(3k-3) + By(3k-2) + \left( -\frac{1}{2}\alpha_0^2(k) - B\alpha_0^2(k) \right) \\ & y(3k-5) + y(3k-1) + (-2\alpha_0(k))y(3k-4) + (B^3 - 3B\alpha_0(k)) \\ & \psi_1(3k-3) + \alpha_0^3(k)\psi_1(3k-6) \end{aligned} \right] \quad (143)$$

ค่า Z-Transform ของสมการที่ 140 คือ

$$\Psi_{11}(z) = \frac{1 + \alpha_0(k)}{D(z)} \left[ \begin{aligned} & (1 + (-2\alpha_0(k))z^{-1})Y_0(z) + (B^2 - B\alpha_0(k))z^{-1}Y_1(z) + \\ & \left( Bz^{-1} + \left( -\frac{1}{2}\alpha_0^2(k) - B\alpha_0^2(k) \right) z^{-1} \right) Y_2(z) \end{aligned} \right] \quad (144)$$

ค่า Inverse Z-Transform ของสมการที่ 144 คือ

$$\psi_{11}(3k+1) = 1 + \alpha_0(k) \left[ \begin{aligned} & y(3k) + (-2B\alpha_0(k))y(3k-3) + (B^2 - B\alpha_0(k))y(3k-2) + \\ & By(3k-1) + \left( -\frac{1}{2}\alpha_0^2(k) - B\alpha_0^2(k) \right) y(3k-5) + \\ & (B^3 - 3B\alpha_0(k))\psi_1(3k-2) + \alpha_0^3(k)\psi_1(3k-5) \end{aligned} \right] \quad (145)$$

ค่า Z-Transform ของสมการที่ 141 คือ

$$\Psi_{12}(z) = \frac{1 + \alpha_0(k)}{D(z)} \left[ \begin{aligned} & \left( B + \left( -\frac{1}{2}\alpha_0^2(k) - B\alpha_0^2(k) \right) z^{-1} \right) Y_0(z) + (1 + (-2\alpha_0(k))z^{-1})Y_1(z) + \\ & (B^2 - B\alpha_0(k))z^{-1}Y_2(z) \end{aligned} \right] \quad (146)$$

เอกสารนี้เป็นเอกสารที่สงวนไว้สำหรับการใช้งานเพื่อการศึกษาเท่านั้น ไม่อนุญาตให้นำไปใช้ประโยชน์ด้านการค้า  
ไม่ว่ากรณีใดๆ ทั้งสิ้น อีกทั้งห้ามมิให้ตัดแปลงเนื้อหา และต้องอ้างอิงถึงเจ้าของเอกสารทุกครั้งที่มีการนำไปใช้

ค่า Inverse Z-Transform ของสมการที่ 146 คือ

$$\psi_{12}(3k+1) = 1 + \alpha_0(k) \left[ \begin{array}{l} By(3k) + \left( -\frac{1}{2}\alpha_0^2(k) - B\alpha_0^2(k) \right) y(3k-3) + y(3k+1) + \\ (-2B\alpha_0(k))y(3k-2) + (B^2 - B\alpha_0(k))y(3k-1) + \\ (B^3 - 3B\alpha_0(k))\psi_1(3k-1) + \alpha_0^3(k)\psi_1(3k-4) \end{array} \right] \quad (147)$$

$$\Psi_0(z) = G_0(z)\Psi_1(z) \quad (148)$$

$$G_0(z) = \frac{-2}{1 - \alpha_0^2(k)} \frac{R_0(z)}{1 - a_1 z^{-1} - a_2 z^{-2}} \quad (149)$$

$$R_0(z) = \begin{bmatrix} r_0^0(z) & r_1^0(z) & \dots & r_{L-1}^0(z) \\ r_1^0(z) & r_0^0(z) & \dots & \vdots \\ \vdots & \vdots & \ddots & r_1^0(z) \\ r_{-(L-1)}^0(z) & \dots & r_{-1}^0(z) & r_0^0(z) \end{bmatrix} \quad (150)$$

$$r_s^0(z) = \begin{cases} b_{s,1}^0 z^{-1} + b_{s,2}^0 z^{-2} & (s > 0) \\ \alpha_0(k) + b_{s,1}^0 z^{-1} + b_{s,2}^0 z^{-2} & (s = 0) \\ b_{L+s,1}^0 + b_{L+s,2}^0 z^{-1} & (s < 0) \end{cases} \quad (151)$$

$$\begin{cases} b_{s,1}^0 = A_1(-c_{s,1}^1 - c_{s,1}^2 + Bc_{s,1}^3) & (s \neq 0) \\ b_{s,1}^0 = A_1(-c_{s,1}^1 - c_{s,1}^2 + Bc_{s,1}^3) - 2\alpha_0^2(k)c_{s,1}^2 & (s = 0) \\ b_{s,2}^0 = A_1\{(2A_2 - B^2)c_{s,2}^1 + Bc_{s,2}^2\} & (s \neq 0) \\ b_{s,2}^0 = 2c_{s,2}^1 & (s = 0) \end{cases} \quad (152)$$

$$s = -2$$

$$\begin{aligned} r_{-2}^0(\hat{z}) &= b_{1,1}^0 + b_{1,2}^0 \hat{z}^{-1} \\ &= A_1[-c_{1,1}^1 - c_{1,1}^2 + Bc_{1,1}^3] + A_1[(2A_2 - B^2)c_{1,2}^1 + Bc_{1,2}^2] \hat{z}^{-1} \end{aligned}$$

เอกสารนี้เป็นเอกสารที่สงวนไว้สำหรับการใช้งานเพื่อการศึกษาเท่านั้น ไม่อนุญาตให้นำไปใช้ประโยชน์ด้านการค้า  
ไม่ว่ากรณีใดๆ ทั้งสิ้น อีกทั้งห้ามมิให้ดัดแปลงเนื้อหา และต้องอ้างอิงถึงเจ้าของเอกสารทุกครั้งที่มีการนำไปใช้

$$\begin{aligned}
&= A_1 \left[ -B^2 + \alpha_0(k) - \frac{1}{2} B^2 \alpha_0^{-1}(k) + 1 + B \left( \frac{1}{2} B \alpha_0^{-1}(k) \right) \right] \\
&+ A_1 \left[ (2A_2 - B^2) \frac{1}{2} B \alpha_0(k) - \frac{1}{2} B^{-1} \alpha_0^2(k) + B \frac{1}{2} B^2 \alpha_0(k) - B \alpha_0^2(k) \right] z^{-1} \\
&= A_1 \left[ -B^2 + \alpha_0(k) + 1 \right] + A_1 \left[ A_2 B \alpha_0(k) - A_2 B^{-1} \alpha_0^2(k) - \frac{1}{2} B \alpha_0^2(k) - B^2 \alpha_0^2(k) \right] z^{-1}
\end{aligned} \tag{153}$$

$$s = -1$$

$$\begin{aligned}
r_{-1}^0(z) &= b_{2,1}^0 + b_{2,2}^0 z^{-1} \\
&= A_1 \left[ -c_{2,1}^1 - c_{2,1}^2 + B c_{2,1}^3 \right] + A_1 \left[ (2A_2 - B^2) c_{2,2}^1 + B c_{2,2}^2 \right] z^{-1} \\
&= A_1 \left[ -\frac{1}{2} B \alpha_0^{-1}(k) - B + B \left( \frac{1}{2} \alpha_0^{-1}(k) \right) \right] \\
&+ A_1 \left[ (2A_2 - B^2) \frac{1}{2} B^2 - \frac{1}{2} \alpha_0(k) + B \left( \frac{1}{2} B^3 - \frac{3}{2} B \alpha_0(k) \right) \right] z^{-1} \\
&= A_1 \left[ -B \right] + A_1 \left[ B^2 A_2 - A_2 \alpha_0(k) + B^2 \alpha_0(k) \right] z^{-1}
\end{aligned} \tag{154}$$

$$s = 0$$

$$\begin{aligned}
r_0^0(z) &= \alpha_0(k) + b_{0,1}^0 z^{-1} + b_{0,2}^0 z^{-2} \\
&= \alpha_0(k) + \left[ A_1 \left( -c_{0,1}^1 - c_{0,1}^2 + B c_{0,1}^3 \right) - 2\alpha_0^2(k) c_{0,1}^2 \right] z^{-1} + 2c_{0,2}^1 z^{-2} \\
&= \alpha_0(k) + \left[ \begin{array}{l} A_1 \left( -B^3 + 2B\alpha_0(k) - \frac{1}{2} B^3 \alpha_0^{-1}(k) + \frac{3}{2} \right) \\ + B \left( \frac{1}{2} B^2 \alpha_0^{-1}(k) - \frac{1}{2} B \right) \\ - 2\alpha_0^2(k) \left( \frac{1}{2} B^3 \alpha_0^{-1}(k) - \frac{3}{2} \right) \end{array} \right] z^{-1} \\
&+ 2 \left( \frac{1}{2} \alpha_0^2(k) \right) z^{-2} \\
&= \alpha_0(k) + \left[ A_1 \left( -B^3 + 2\alpha_0(k) - \frac{1}{2} B + \frac{3}{2} \right) - B^3 \alpha_0(k) + 3\alpha_0^2(k) \right] z^{-1} \\
&+ \left( \alpha_0^2(k) \right) z^{-2}
\end{aligned} \tag{155}$$

เอกสารนี้เป็นเอกสารที่สงวนไว้สำหรับการใช้งานเพื่อการศึกษาเท่านั้น ไม่อนุญาตให้นำไปใช้ประโยชน์ด้านการค้า  
ไม่ว่ากรณีใดๆ ทั้งสิ้น อีกทั้งห้ามมิให้ดัดแปลงเนื้อหา และต้องอ้างอิงถึงเจ้าของเอกสารทุกครั้งที่มีการนำไปใช้

$$s = 1$$

$$\begin{aligned}
 r_1^0(\hat{z}) &= b_{1,1}^0 \hat{z}^{-1} + b_{1,2}^0 \hat{z}^{-2} \\
 &= A_1 [-c_{1,1}^1 - c_{1,1}^2 + Bc_{1,1}^3] \hat{z}^{-1} + A_1 [(2A_2 - B^2)c_{1,2}^1 + Bc_{1,2}^2] \hat{z}^{-2} \\
 &= A_1 \left[ -B^2 + \alpha_0(k) - \frac{1}{2} B^2 \alpha_0^{-1}(k) + 1 + B \left( \frac{1}{2} B \alpha_0^{-1}(k) \right) \right] \hat{z}^{-1} \\
 &\quad + A_1 \left[ (2A_2 - B^2) \frac{1}{2} B \alpha_0(k) - \frac{1}{2} B^{-1} \alpha_0^2(k) + B \frac{1}{2} B^2 \alpha_0(k) - B \alpha_0^2(k) \right] \hat{z}^{-2} \\
 &= A_1 [-B^2 + \alpha_0(k) + 1] \hat{z}^{-1} + A_1 \left[ A_2 B \alpha_0(k) - A_2 B^{-1} \alpha_0^2(k) - \frac{1}{2} B \alpha_0^2(k) - B^2 \alpha_0^2(k) \right] \hat{z}^{-2}
 \end{aligned} \tag{156}$$

$$s = 2$$

$$\begin{aligned}
 r_2^0(\hat{z}) &= b_{2,1}^0 \hat{z}^{-1} + b_{2,2}^0 \hat{z}^{-2} \\
 &= A_1 [-c_{2,1}^1 - c_{2,1}^2 + Bc_{2,1}^3] \hat{z}^{-1} + A_1 [(2A_2 - B^2)c_{2,2}^1 + Bc_{2,2}^2] \hat{z}^{-2} \\
 &= A_1 \left[ -\frac{1}{2} B \alpha_0^{-1}(k) - B + B \left( \frac{1}{2} \alpha_0^{-1}(k) \right) \right] \hat{z}^{-1} \\
 &\quad + A_1 \left[ (2A_2 - B^2) \frac{1}{2} B^2 - \frac{1}{2} \alpha_0(k) + B \left( \frac{1}{2} B^3 - \frac{3}{2} B \alpha_0(k) \right) \right] \hat{z}^{-2} \\
 &= A_1 [-B] \hat{z}^{-1} + A_1 [B^2 A_2 - A_2 \alpha_0(k) + B^2 \alpha_0(k)] \hat{z}^{-2}
 \end{aligned} \tag{157}$$

$$\begin{bmatrix} \Psi_{00}(\hat{z}) \\ \Psi_{01}(\hat{z}) \\ \Psi_{02}(\hat{z}) \end{bmatrix} = \frac{-2}{1 - \alpha_0^2(k)D(\hat{z})} \begin{bmatrix} r_0(\hat{z}) & r_1(\hat{z}) & r_2(\hat{z}) \\ r_{-1}(\hat{z}) & r_0(\hat{z}) & r_1(\hat{z}) \\ r_{-2}(\hat{z}) & r_{-1}(\hat{z}) & r_0(\hat{z}) \end{bmatrix} \begin{bmatrix} \Psi_{10}(\hat{z}) \\ \Psi_{11}(\hat{z}) \\ \Psi_{12}(\hat{z}) \end{bmatrix} \tag{159}$$

$$\begin{bmatrix} \Psi_{00}(\hat{z}) \\ \Psi_{01}(\hat{z}) \\ \Psi_{02}(\hat{z}) \end{bmatrix} = \frac{-2}{1 - \alpha_0^2(k)D(\hat{z})} \begin{bmatrix} r_0(\hat{z})\Psi_{10}(\hat{z}) + r_1(\hat{z})\Psi_{11}(\hat{z}) + r_2(\hat{z})\Psi_{12}(\hat{z}) \\ r_{-1}(\hat{z})\Psi_{10}(\hat{z}) + r_0(\hat{z})\Psi_{11}(\hat{z}) + r_1(\hat{z})\Psi_{12}(\hat{z}) \\ r_{-2}(\hat{z})\Psi_{10}(\hat{z}) + r_{-1}(\hat{z})\Psi_{11}(\hat{z}) + r_0(\hat{z})\Psi_{12}(\hat{z}) \end{bmatrix} \tag{160}$$

$$\Psi_{00}(\hat{z}) = \frac{-2}{1 - \alpha_0^2(k)D(\hat{z})} [r_0(\hat{z})\Psi_{10}(\hat{z}) + r_1(\hat{z})\Psi_{11}(\hat{z}) + r_2(\hat{z})\Psi_{12}(\hat{z})] \tag{161}$$

$$\Psi_{01}(\hat{z}) = \frac{-2}{1 - \alpha_0^2(k)D(\hat{z})} [r_{-1}(\hat{z})\Psi_{10}(\hat{z}) + r_0(\hat{z})\Psi_{11}(\hat{z}) + r_1(\hat{z})\Psi_{12}(\hat{z})] \tag{162}$$

$$\Psi_{02}(\hat{z}) = \frac{-2}{1 - \alpha_0^2(k)D(\hat{z})} [r_{-2}(\hat{z})\Psi_{10}(\hat{z}) + r_{-1}(\hat{z})\Psi_{11}(\hat{z}) + r_0(\hat{z})\Psi_{12}(\hat{z})] \tag{163}$$

เอกสารนี้เป็นเอกสารที่สงวนไว้สำหรับการใช้งานเพื่อการศึกษาเท่านั้น ไม่อนุญาตให้นำไปใช้ประโยชน์ด้านการค้า  
ไม่ว่ากรณีใดๆ ทั้งสิ้น อีกทั้งห้ามมิให้ดัดแปลงเนื้อหา และต้องอ้างอิงถึงเจ้าของเอกสารทุกครั้งที่มีการนำไปใช้

ค่า Z-Transform ของสมการที่ 161 คือ

$$\Psi_{00}(z) = \frac{-2}{1 - \alpha_0^2(k)D(z)} \left[ \begin{aligned} & \left( \alpha_0(k) + \begin{pmatrix} -B^3 + 2B\alpha_0(k) \\ -\frac{1}{2}B^2 + \frac{3}{2} \\ -B^3\alpha_0(k) + 3\alpha_0^2(k) \end{pmatrix} z^{-1} + \alpha_0^2(k)z^{-2} \right) \Psi_{10}(z) + \\ & \begin{pmatrix} A_1(-B^2 + \alpha_0(k) + 1)z^{-1} + \\ A_1 \left( A_2(B\alpha_0(k) - B^{-1}\alpha_0^2(k)) + \frac{1}{2}B\alpha_0^2(k) \right) z^{-2} \\ -B^2\alpha_0^2(k) \end{pmatrix} \Psi_{11}(z) + \\ & (A_1(-B)z^{-1} + (A_1(A_2(B^2 - \alpha_0(k)) - B^2\alpha_0(k)))z^{-2}) \Psi_{12}(z) \end{aligned} \right] \quad (164)$$

ค่า Inverse Z-Transform ของสมการที่ 164 คือ

$$\psi_{00}(3k) = \frac{-2}{1 - \alpha_0^2(k)} \left[ \begin{aligned} & \left( \alpha_0(k)\psi_{10}(3k) + A_1 \begin{pmatrix} -B^3 + 2B\alpha_0(k) \\ -\frac{1}{2}B^2 + \frac{3}{2} \end{pmatrix} \psi_{10}(3k-3) + \right. \\ & \left. -B^3\alpha_0(k)\psi_{10}(3k-3) + 3\alpha_0^2(k) + \alpha_0^2(k)\psi_{10}(3k-6) \right) + \\ & \left( A_1(-B^2 + \alpha_0(k) + 1)\psi_{11}(3k-2) + \right. \\ & \left. A_1 \left( A_2(B\alpha_0(k) - B^{-1}\alpha_0^2(k)) + \frac{1}{2}B\alpha_0^2(k) - B^2\alpha_0^2(k) \right) \psi_{11}(3k-5) \right) + \\ & (A_1(-B)\psi_{12}(3k-1) + (A_1(A_2(B^2 - \alpha_0(k)) - B^2\alpha_0(k)))\psi_{12}(3k-4)) + \\ & (B^3 - 3B\alpha_0(k))\psi_{00}(3k-3) + \alpha_0^3(k)\psi_{00}(3k-6) \end{aligned} \right] \quad (165)$$

เอกสารนี้เป็นเอกสารที่สงวนไว้สำหรับการใช้งานเพื่อการศึกษาเท่านั้น ไม่อนุญาตให้นำไปใช้ประโยชน์ด้านการค้า  
ไม่ว่ากรณีใดๆ ทั้งสิ้น อีกทั้งห้ามมิให้ตัดแปลงเนื้อหา และต้องอ้างอิงถึงเจ้าของเอกสารทุกครั้งที่มีการนำไปใช้

ค่า Z-Transform ของสมการที่ 162 คือ

$$\Psi_{01}(\hat{z}) = \frac{-2}{1 - \alpha_0^2(k)D(\hat{z})} \left[ \begin{aligned} & (A_1(-B) + A_1[A_2(B^2 - \alpha_0(k)) - B^2\alpha_0(k)]\hat{z}^{-1})\Psi_{10}(\hat{z}) + \\ & \left( \alpha_0(k) + A_1 \left( \frac{-B^3 + 2B\alpha_0(k) -}{-\frac{1}{2}B^2 + \frac{3}{2}} \right) \hat{z}^{-1} \right) \Psi_{11}(\hat{z}) + \\ & \left( -B^3\alpha_0(k)\hat{z}^{-1} + 3\beta_0^2(k)\hat{z}^{-1} + \alpha_0^2(k)\hat{z}^{-2} \right) \\ & \left( A_1(-B^2 + \alpha_0(k) + 1)\hat{z}^{-1} + \right. \\ & \left. A_1 \left( A_2(B\alpha_0(k) - B^{-1}\alpha_0^2(k)) + \frac{1}{2}B\alpha_0^2(k) - B^2\alpha_0^2(k) \right) \hat{z}^{-2} \right) \Psi_{12}(\hat{z}) \end{aligned} \right] \quad (166)$$

ค่า Inverse Z-Transform ของสมการที่ 166 คือ

$$\psi_{01}(3k+1) = \frac{-2}{1 - \alpha_0^2(k)} \left[ \begin{aligned} & (A_1(-B)\psi_{10}(3k) + A_1[A_2(B^2 - \alpha_0(k)) - B^2\alpha_0(k)]\psi_{10}(3k-3)) + \\ & \left( \alpha_0(k)\psi_{11}(3k+1) + A_1 \left( \frac{-B^3 + 2B\alpha_0(k) -}{-\frac{1}{2}B^2 + \frac{3}{2}} \right) \psi_{11}(3k-2) + \right. \\ & \left. -B^3\alpha_0(k)\psi_{11}(3k-2) + 3\alpha_0^2(k)\psi_{11}(3k-2) + \alpha_0^2(k)\psi_{11}(3k-5) \right) \\ & \left( A_1(-B^2 + \alpha_0(k) + 1)\psi_{11}(3k-1) + \right. \\ & \left. A_1 \left( A_2(B\alpha_0(k) - B^{-1}\alpha_0^2(k)) + \frac{1}{2}B\alpha_0^2(k) - B^2\alpha_0^2(k) \right) \psi_{12}(3k-4) \right) \\ & (B^3 - 3B\alpha_0(k))\psi_0(3k-2) + \alpha_0^3(k)\psi_0(3k-5) \end{aligned} \right] \quad (167)$$

เอกสารนี้เป็นเอกสารที่สงวนไว้สำหรับการใช้งานเพื่อการศึกษาเท่านั้น ไม่อนุญาตให้นำไปใช้ประโยชน์ด้านการค้า  
ไม่ว่ากรณีใดๆ ทั้งสิ้น อีกทั้งห้ามมิให้ดัดแปลงเนื้อหา และต้องอ้างอิงถึงเจ้าของเอกสารทุกครั้งที่มีการนำไปใช้

ค่า Z-Transform ของสมการที่ 163 คือ

$$\Psi_{02}(\hat{z}) = \frac{-2}{1 - \alpha_0^2(k)D(\hat{z})} \left[ \begin{array}{l} \left( A_1(-B^2 + \alpha_0(k) + 1) + A_1 \left( \frac{A_2(B\alpha_0(k) - B^{-1}\alpha_0^2(k)) + \frac{1}{2}B\alpha_0(k) - B^2\alpha_0^2(k)}{2} \right) \right) \hat{z}^{-1} \Psi_{10}(\hat{z}) \\ (A_1(-B) + A_1[A_2(B^2 - \alpha_0(k)) - B^2\alpha_0(k)]\hat{z}^{-1})\Psi_{11}(\hat{z}) + \\ \left( \alpha_0(k) + A_1 \left( \frac{-B^3 + 2B\alpha_0(k)}{-\frac{1}{2}B^2 + \frac{3}{2}} \right) \right) \hat{z}^{-1} \\ (-B^3\alpha_0(k)\hat{z}^{-1} + 3\alpha_0^2(k)\hat{z}^{-1} + \alpha_0^2(k)\hat{z}^{-2}) \end{array} \right] \Psi_{12}(\hat{z}) \quad (168)$$

ค่า Inverse Z-Transform ของสมการที่ 168 คือ

$$\psi_{02}(3k+2) = \frac{-2}{1 - \alpha_0^2(k)} \left[ \begin{array}{l} \left( A_1(-B^2 + \alpha_0(k) + 1)\psi_{10}(3k) + \right. \\ \left. A_1 \left( \frac{A_2(B\alpha_0(k) - B^{-1}\alpha_0^2(k)) + \frac{1}{2}B\alpha_0(k) - B^2\alpha_0^2(k)}{2} \right) \psi_{10}(3k-3) \right) + \\ (A_1(-B)\psi_{11}(3k+1) + A_1[A_2(B^2 - \alpha_0(k)) - B^2\alpha_0(k)]\psi_{11}(3k-2)) \\ (\alpha_0(k)\psi_{12}(3k+2) + \\ A_1 \left( \frac{-B^3 + 2B\alpha_0(k)}{-\frac{1}{2}B^2 + \frac{3}{2}} \right) \psi_{12}(3k-1) + \\ (-B^3\alpha_0(k)\psi_{12}(3k-1) + 3\alpha_0^2(k)\psi_{12}(3k-1) + \alpha_0^2(k)\psi_{12}(3k-4), \\ (B^3 - 3B\alpha_0(k))\psi_{10}(3k-2) + \alpha_0^3(k)(3k-5) \end{array} \right] \quad (169)$$

การคำนวณที่สลับซับซ้อนในแต่ละสาขาของการพีลเตอร์ถ้าโครงสร้างนั้นเป็น algorithm แบบใหม่ที่ได้จากสมการที่ 126 และ เป็นแบบadaptive control signal generator โครงสร้างแบบ parallel block structure ที่แสดงดังตารางที่ 5 เมื่อ ค่าของ  $L = 1$  ซึ่งก็คือมีโครงสร้างแบบ scalar structure

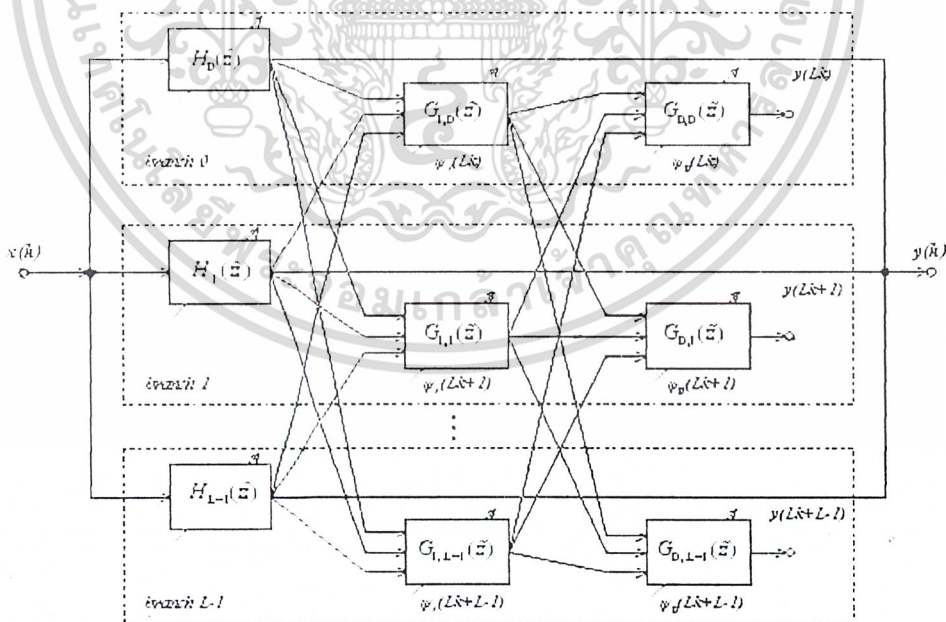
เอกสารนี้เป็นเอกสารที่สงวนไว้สำหรับการใช้งานเพื่อการศึกษาเท่านั้น ไม่อนุญาตให้นำไปใช้ประโยชน์ด้านการค้า ไม่ว่ากรณีใดๆ ทั้งสิ้น อีกทั้งห้ามมิให้ดัดแปลงเนื้อหา และต้องอ้างอิงถึงเจ้าของเอกสารทุกครั้งที่มีการนำไปใช้

L	ผลบวก			ผลคูณ		
	1	2	3	1	2	3
$H_1(z)$	3	6	7	4	7	8
$G_{1,l}(z)$	2	4	6	3	5	7
$G_{0,l}(z)$	4	6	8	6	8	10
C.U.C.	5	10/2	18/3	10	18/2	32/3
<b>Total</b>	<b>14</b>	<b>21</b>	<b>81/3</b>	<b>23</b>	<b>29</b>	<b>107/3</b>

C.U.C. : coefficient update circuit

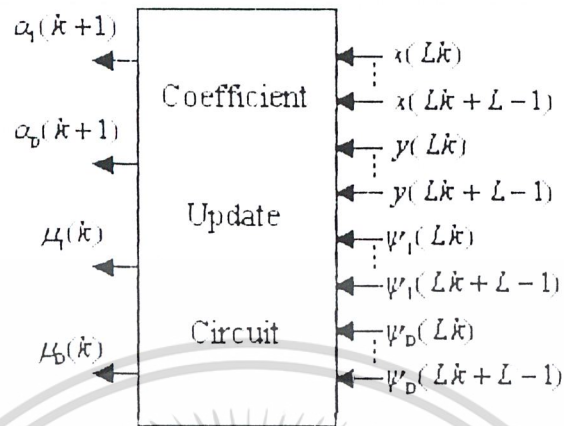
ตารางที่ 5 การคำนวณที่สลับซับซ้อนของparallel block structure แบบใหม่

สมการ โครงสร้างแบบใหม่โดยการใช้ สมการ Algorithm แบบใหม่ที่ได้จากสมการที่ 126 และสมการ  $\alpha_1(k+1) = \alpha_1(k) + \mu_1 \sum_{l=0}^{L-1} \{ x(Lk+l) - y(Lk+l) \} \psi_1(Lk+l)$  ค่าของ adaptive control signal generator ที่มีโครงสร้างแบบ Parallel block และมีการแปรเปลี่ยน step-size parameter อย่างต่อเนื่อง



รูปที่ 3.3 โครงสร้างแบบบล็อกขนาน

เอกสารนี้เป็นเอกสารที่สงวนไว้สำหรับการใช้งานเพื่อการศึกษาเท่านั้น ไม่อนุญาตให้นำไปใช้ประโยชน์ด้านการค้า ไม่ว่าจะกรณีใดๆ ทั้งสิ้น อีกทั้งห้ามมิให้ดัดแปลงเนื้อหา และต้องอ้างอิงถึงเจ้าของเอกสารทุกครั้งที่มีการนำไปใช้



รูปที่ 3.4 วงจรปรับค่าสัมประสิทธิ์ล่าสุด



เอกสารนี้เป็นเอกสารที่สงวนไว้สำหรับการใช้งานเพื่อการศึกษาเท่านั้น ไม่อนุญาตให้นำไปใช้ประโยชน์ด้านการค้า  
ไม่ว่ากรณีใดๆ ทั้งสิ้น อีกทั้งห้ามมิให้ดัดแปลงเนื้อหา และต้องอ้างอิงถึงเจ้าของเอกสารทุกครั้งที่มีการนำไปใช้

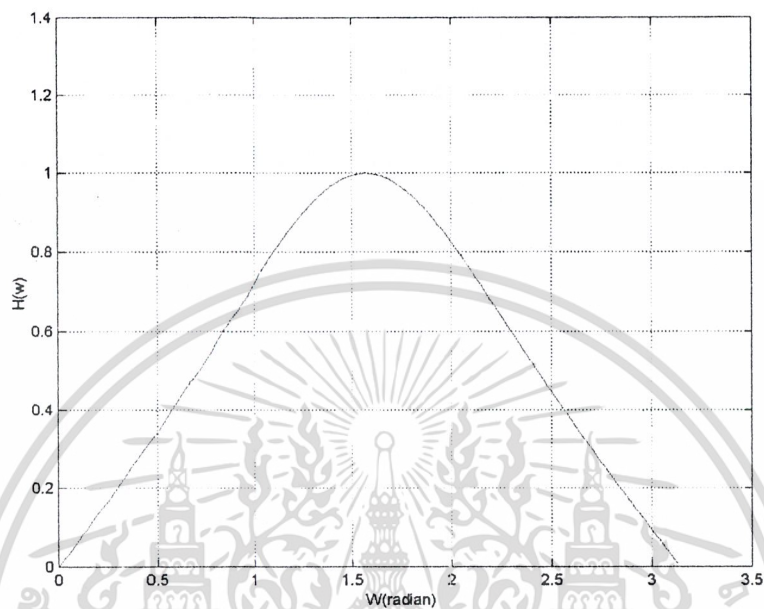
## บทที่ 4

โปรแกรมแสดงคุณสมบัติของ  $|H(\omega)|$  เทียบกับ  $\omega$

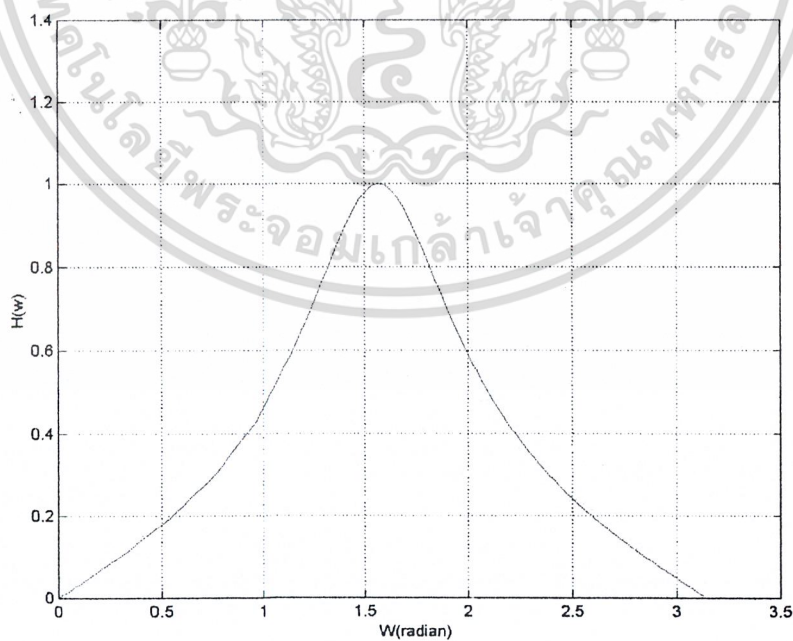
```
alpha0( $\alpha_0$ )=-1;
while (alpha0<0|alpha0 >1)
    alpha0=input('alpha0 0 to 1\n(alpha0=)');
end
omega( $\omega$  )=-1;
while(omega<0|omega>180);
    omega=input('W(0<w<pi)(degree)\n(W=)');
end
alpha1( $\alpha_1$ ) =cos((pi/180)*omega);
b1=1;
b2=0;
b3=-1;
a1=1;
a2=-alpha1.*(1+alpha0);
a3=alpha0;
k=(1-alpha0)/2;
n=[b1 b2 b3];
d=[a1 a2 a3];
[Tz,ws]=freqz(n,d,200);
plot(ws,abs(Tz*k),'r');
xlabel('W(radian)');
ylabel('H(w)');
grid on;
hold on
```

เอกสารนี้เป็นเอกสารที่สงวนไว้สำหรับการใช้งานเพื่อการศึกษาเท่านั้น ไม่อนุญาตให้นำไปใช้ประโยชน์ด้านการค้า  
ไม่ว่ากรณีใดๆ ทั้งสิ้น อีกทั้งห้ามมิให้ดัดแปลงเนื้อหา และต้องอ้างอิงถึงเจ้าของเอกสารทุกครั้งที่มีการนำไปใช้

กราฟคุณสมบัติของ  $|H(\omega)|$  เทียบกับ  $\omega$

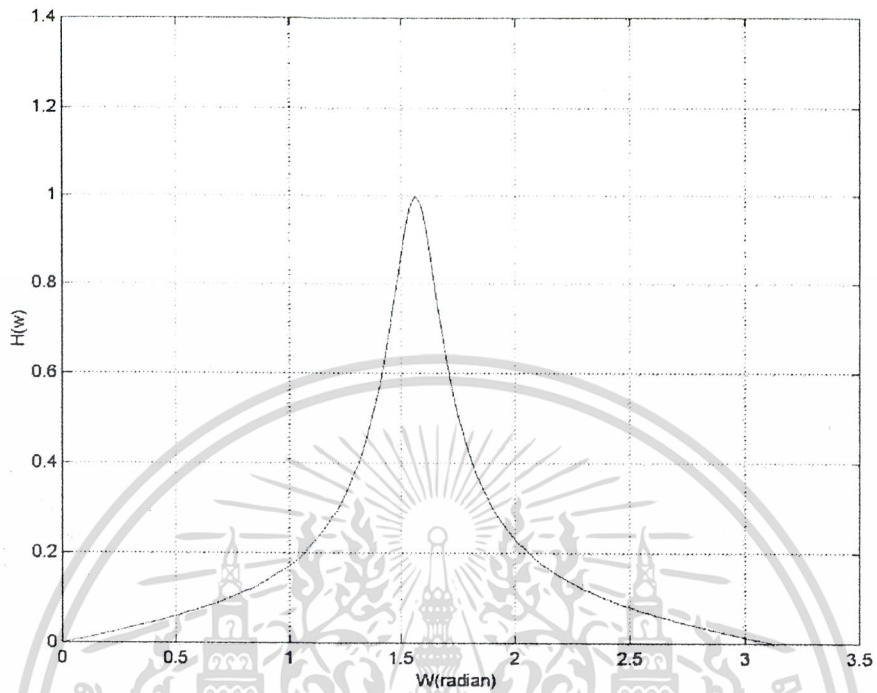


รูปที่ 4.1  $\alpha_0 = 0.2, \omega_c = \frac{\pi}{2}$

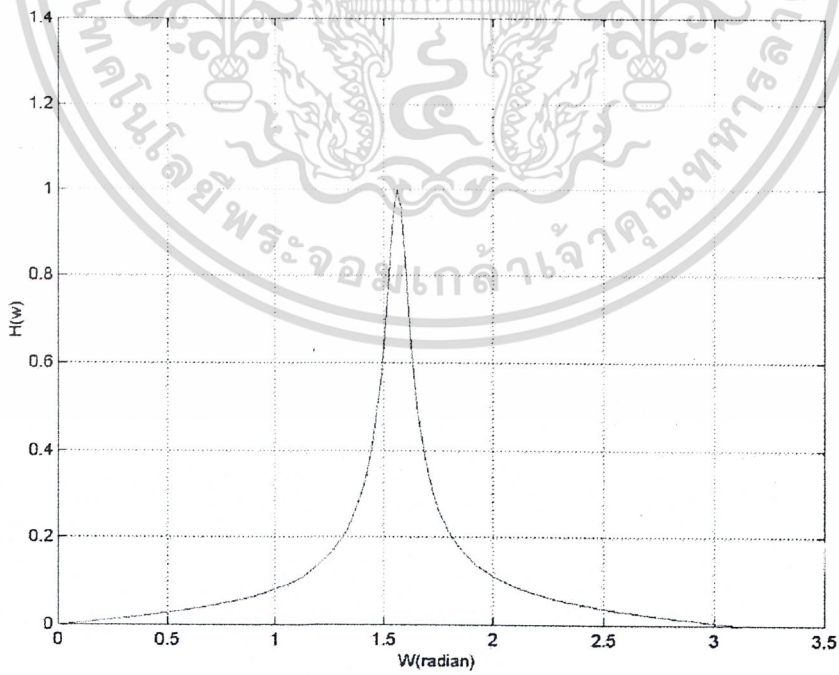


รูปที่ 4.2  $\alpha_0 = 0.5, \omega_c = \frac{\pi}{2}$

เอกสารนี้เป็นเอกสารที่สงวนไว้สำหรับการใช้งานเพื่อการศึกษาเท่านั้น ไม่อนุญาตให้นำไปใช้ประโยชน์ด้านการค้า  
ไม่ว่ากรณีใดๆ ทั้งสิ้น อีกทั้งห้ามมิให้ดัดแปลงเนื้อหา และต้องอ้างอิงถึงเจ้าของเอกสารทุกครั้งที่มีการนำไปใช้



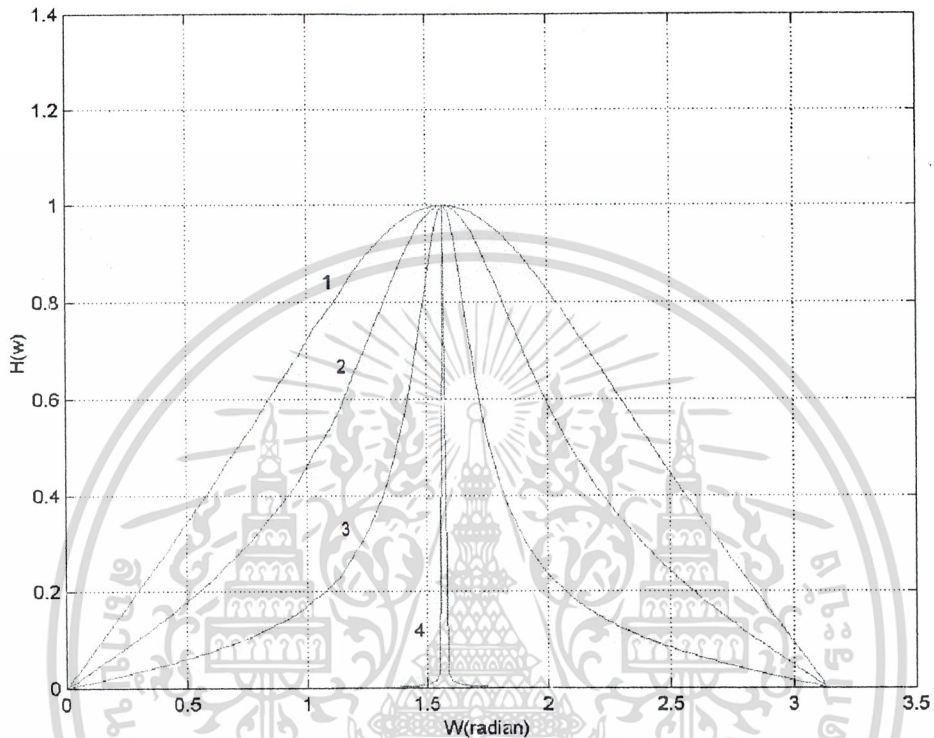
รูปที่ 4.3  $\alpha_0 = 0.8, \omega = \frac{\pi}{2}$



รูปที่ 4.4  $\alpha_0 = 0.9, \omega = \frac{\pi}{2}$

เอกสารนี้เป็นเอกสารที่สงวนไว้สำหรับการใช้งานเพื่อการศึกษาเท่านั้น ไม่อนุญาตให้นำไปใช้ประโยชน์ด้านการค้า  
ไม่ว่ากรณีใดๆ ทั้งสิ้น อีกทั้งห้ามมิให้ดัดแปลงเนื้อหา และต้องอ้างอิงถึงเจ้าของเอกสารทุกครั้งที่มีการนำไปใช้

กราฟคุณสมบัติของ  $|H(\omega)|$  เทียบกับ  $\omega$



$$\text{รูปที่ 4.5} \quad \left. \begin{array}{l} 1. \alpha_0 = 0.3 \\ 2. \alpha_0 = 0.5 \\ 3. \alpha_0 = 0.8 \\ 4. \alpha_0 = 0.999 \end{array} \right\} \frac{\pi}{2}$$

จากรูปที่ 4.5 แสดงถึงคุณลักษณะของ  $|H(\omega)|$  เทียบกับ  $\omega$  เมื่อกำหนดค่า  $\alpha_0$  มีค่าต่างๆ จะเห็นได้ว่าเมื่อ  $\alpha_0$  เข้าใกล้หนึ่ง จะทำให้ค่าของ Q factor มีค่าสูง

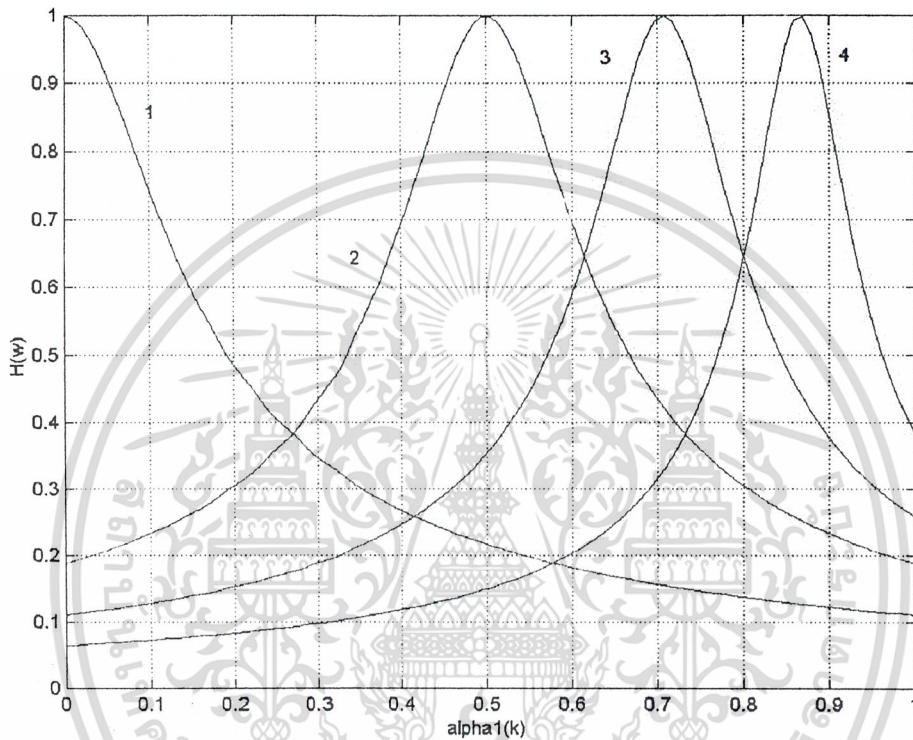
เอกสารนี้เป็นเอกสารที่สงวนไว้สำหรับการใช้งานเพื่อการศึกษาเท่านั้น ไม่อนุญาตให้นำไปใช้ประโยชน์ด้านการค้า  
ไม่ว่ากรณีใดๆ ทั้งสิ้น อีกทั้งห้ามมิให้ดัดแปลงเนื้อหา และต้องอ้างอิงถึงเจ้าของเอกสารทุกครั้งที่มีการนำไปใช้

โปรแกรมแสดงคุณสมบัติของ  $|H(\omega)|$  เทียบกับ  $\alpha_1$

```
%{H(w)}=alp1
clc
alpha0=-1;
while(alpha0<0|alpha0>1)
    alpha0=input('Q factor(0<alpha<1)\n(alpha0=)');
end
omega=-1;
while(omega<0|omega>180);
    omega=input('W(0<w<pi)(pi*\n(w=)');
end
alpha1=linspace(0,1,100);
h=zeros(size(alpha1));
h=abs([j.*sin(omega)]./[[[cos(omega)-alpha1].*[[1+alpha0]./[1-alpha0]]]+j.*sin(omega)]);
plot(alpha1,h);
grid on;
xlabel('alpha1(k)');
ylabel('{H(w)}');
hold on
```

เอกสารนี้เป็นเอกสารที่สงวนไว้สำหรับการใช้งานเพื่อการศึกษาเท่านั้น ไม่อนุญาตให้นำไปใช้ประโยชน์ด้านการค้า  
ไม่ว่ากรณีใดๆ ทั้งสิ้น อีกทั้งห้ามมิให้ดัดแปลงเนื้อหา และต้องอ้างอิงถึงเจ้าของเอกสารทุกครั้งที่มีการนำไปใช้

กราฟคุณสมบัติของ  $|H(\omega)|$  เทียบกับ  $\alpha_1$



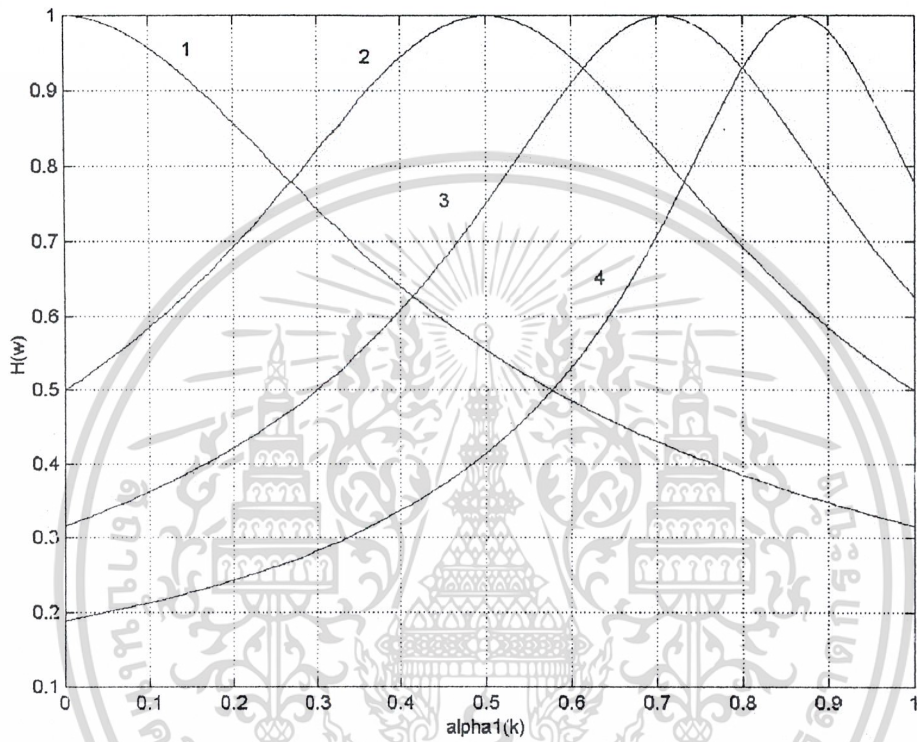
รูปที่ 4.6  $\alpha_0 = 0.8, \omega =$

$$\left\{ \begin{array}{l} 1 = \frac{\pi}{2} \\ 2 = \frac{\pi}{3} \\ 3 = \frac{\pi}{4} \\ 4 = \frac{\pi}{6} \end{array} \right.$$

จากรูปที่ 4.6 แสดงถึงคุณลักษณะของ  $|H(\omega)|$  เทียบกับ  $\alpha_1$  เมื่อกำหนดค่า  $\alpha_0 = 0.8$  และค่า  $\omega$  ค่าต่างๆ

เอกสารนี้เป็นเอกสารที่สงวนไว้สำหรับการใช้งานเพื่อการศึกษาเท่านั้น ไม่อนุญาตให้นำไปใช้ประโยชน์ด้านการค้า ไม่ว่ากรณีใดๆ ทั้งสิ้น อีกทั้งห้ามมิให้ดัดแปลงเนื้อหา และต้องอ้างอิงถึงเจ้าของเอกสารทุกครั้งที่มีการนำไปใช้

กราฟคุณสมบัติของ  $|H(\omega)|$  เทียบกับ  $\alpha_1$



รูปที่ 4.7  $\alpha_0 = 0.5, \omega = \begin{cases} 1 = \frac{\pi}{2} \\ 2 = \frac{\pi}{3} \\ 3 = \frac{\pi}{4} \\ 4 = \frac{\pi}{6} \end{cases}$

จากรูปที่ 4.7 แสดงถึงคุณลักษณะของ  $|H(\omega)|$  เทียบกับ  $\alpha_1$  เมื่อกำหนดค่า  $\alpha_0 = 0.5$  และค่า  $\omega$  ค่าต่างๆ

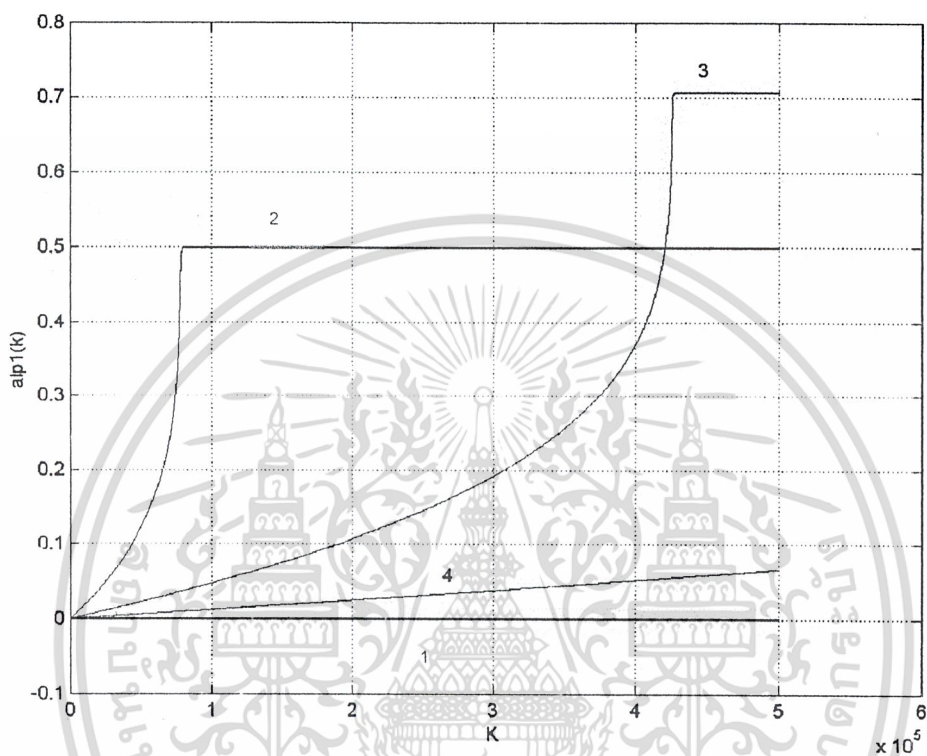
เอกสารนี้เป็นเอกสารที่สงวนไว้สำหรับการใช้งานเพื่อการศึกษาเท่านั้น ไม่อนุญาตให้นำไปใช้ประโยชน์ด้านการค้า  
ไม่ว่ากรณีใดๆ ทั้งสิ้น อีกทั้งห้ามมิให้ดัดแปลงเนื้อหา และต้องอ้างอิงถึงเจ้าของเอกสารทุกครั้งที่มีการนำไปใช้

โปรแกรมแสดงคุณสมบัติของ  $\alpha_1(k)$  เทียบกับ  $k$  เมื่อ  $L = 1$

```
%alpha1(k){L=1}
w=-1;
while(w<0|w>180);
    w=input('w(0 to 180)\n(W=)');
end
n=500000;
k=0:n-1;
data=cos((pi*w/180)*k+randn(1,1))+0.1*randn(1,n);
alp0=0.8;
u=0.00005;
x=zeros(n+2,1);
x(3:n+2)=data;
w1=zeros(n+2,1);
alp1=zeros(n+2,1);
y=zeros(n+2,1);
for k=3:n+2;
    y(k)=(1-alp0)/2.*(x(k)-x(k-2))+alp1(k).*(1+alp0).*y(k-1)-alp0.*y(k-2);
    w1(k)=alp1(k).*(1+alp0).*w1(k-1)-alp0.*w1(k-2)+(1+alp0).*y(k-1);
    alp1(k+1)=alp1(k)+u*y(k)*w1(k);
end
plot(alp1);
grid on;
xlabel('K');
ylabel('alp1(k)');
hold on;
clear
```

เอกสารนี้เป็นเอกสารที่สงวนไว้สำหรับการใช้งานเพื่อการศึกษาเท่านั้น ไม่อนุญาตให้นำไปใช้ประโยชน์ด้านการค้า  
ไม่ว่ากรณีใดๆ ทั้งสิ้น อีกทั้งห้ามมิให้ดัดแปลงเนื้อหา และต้องอ้างอิงถึงเจ้าของเอกสารทุกครั้งที่มีการนำไปใช้

กราฟแสดงคุณสมบัติของ  $\alpha_1(k)$  เทียบกับ  $k$  เมื่อ  $L = 1$



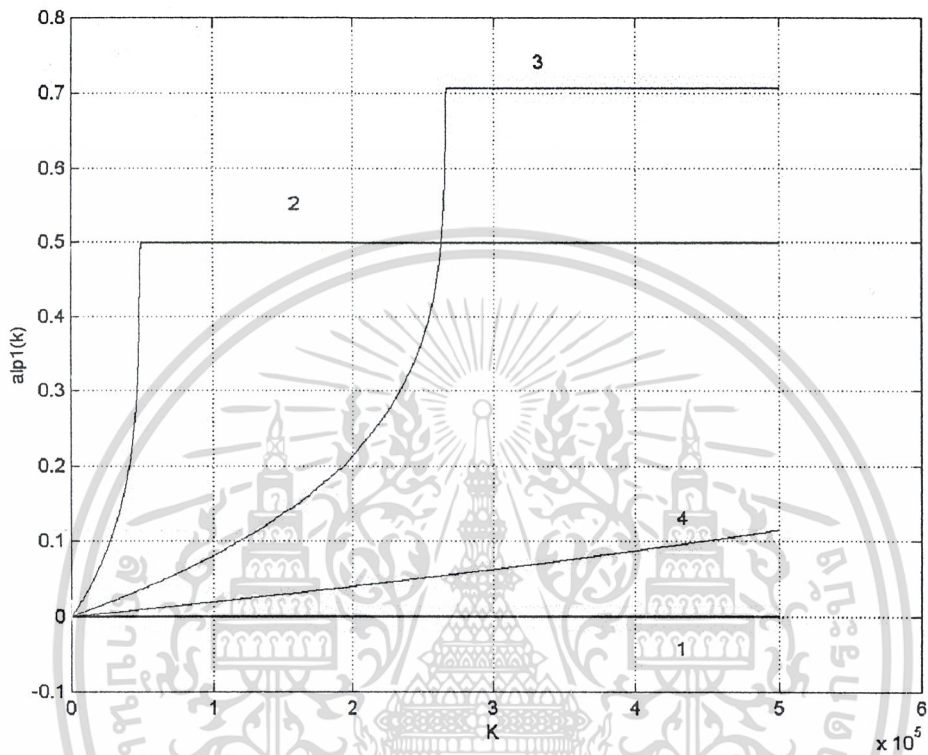
รูปที่ 4.8

$\mu = 0.00005, \alpha_0 = 0.8, \omega =$

$$\left\{ \begin{array}{l} 1 = \frac{\pi}{2} \\ 2 = \frac{\pi}{3} \\ 3 = \frac{\pi}{4} \\ 4 = \frac{\pi}{6} \end{array} \right.$$

เอกสารนี้เป็นเอกสารที่สงวนไว้สำหรับการใช้งานเพื่อการศึกษาเท่านั้น ไม่อนุญาตให้นำไปใช้ประโยชน์ด้านการค้า  
ไม่ว่ากรณีใดๆ ทั้งสิ้น อีกทั้งห้ามมิให้ดัดแปลงเนื้อหา และต้องอ้างอิงถึงเจ้าของเอกสารทุกครั้งที่มีการนำไปใช้

กราฟแสดงคุณสมบัติของ  $\alpha_1(k)$  เทียบกับ  $k$  เมื่อ  $L = 1$



รูปที่ 4.9

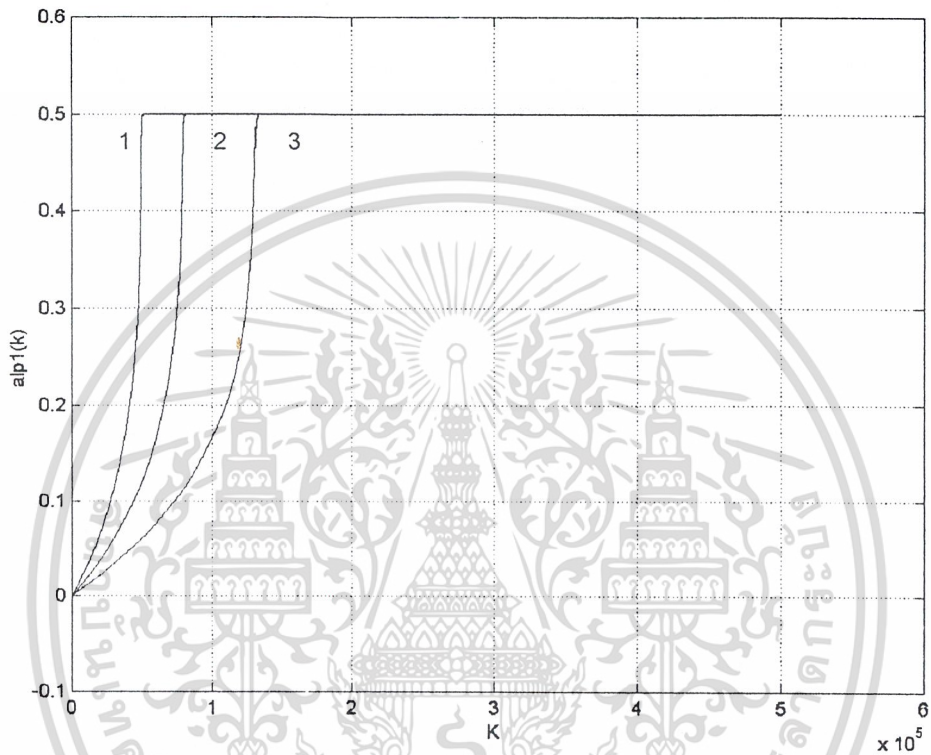
$\mu = 0.00008, \alpha_0 = 0.8, \omega =$

$$\left\{ \begin{array}{l} 1 = \frac{\pi}{2} \\ 2 = \frac{\pi}{3} \\ 3 = \frac{\pi}{4} \\ 4 = \frac{\pi}{6} \end{array} \right.$$

จากรูปที่ 4.8 และรูปที่ 4.9 จะเห็นได้ว่าเมื่อค่า  $\mu$  เพิ่มขึ้นจะทำให้การลู่เข้าทำได้เร็วขึ้น

เอกสารนี้เป็นเอกสารที่สงวนไว้สำหรับการใช้งานเพื่อการศึกษาเท่านั้น ไม่อนุญาตให้นำไปใช้ประโยชน์ด้านการค้า  
ไม่ว่ากรณีใดๆ ทั้งสิ้น อีกทั้งห้ามมิให้ดัดแปลงเนื้อหา และต้องอ้างอิงถึงเจ้าของเอกสารทุกครั้งที่มีการนำไปใช้

กราฟแสดงคุณสมบัติของ  $\alpha_1(k)$  เทียบกับ  $k$  เมื่อ  $L = 1$



รูปที่ 4.11  $\omega = \frac{\pi}{3}, \alpha_0 = 0.8, \mu = \begin{cases} 1 = 0.00008 \\ 2 = 0.00005 \\ 3 = 0.00003 \end{cases}$

จากรูปที่ 4.11 เมื่อกำหนดค่า  $\omega = \frac{\pi}{3}, \alpha_0 = 0.8$  จะเห็นว่าเมื่อค่า  $\mu$  มีค่ามากทำให้การลู่เข้าทำได้เร็วกว่า

เอกสารนี้เป็นเอกสารที่สงวนไว้สำหรับการใช้งานเพื่อการศึกษาเท่านั้น ไม่อนุญาตให้นำไปใช้ประโยชน์ด้านการค้า ไม่ว่ากรณีใดๆ ทั้งสิ้น อีกทั้งห้ามมิให้ดัดแปลงเนื้อหา และต้องอ้างอิงถึงเจ้าของเอกสารทุกครั้งที่มีการนำไปใช้

โปรแกรมแสดงคุณสมบัติของ  $m\alpha_0(L, l)$  กรณี  $L=1$

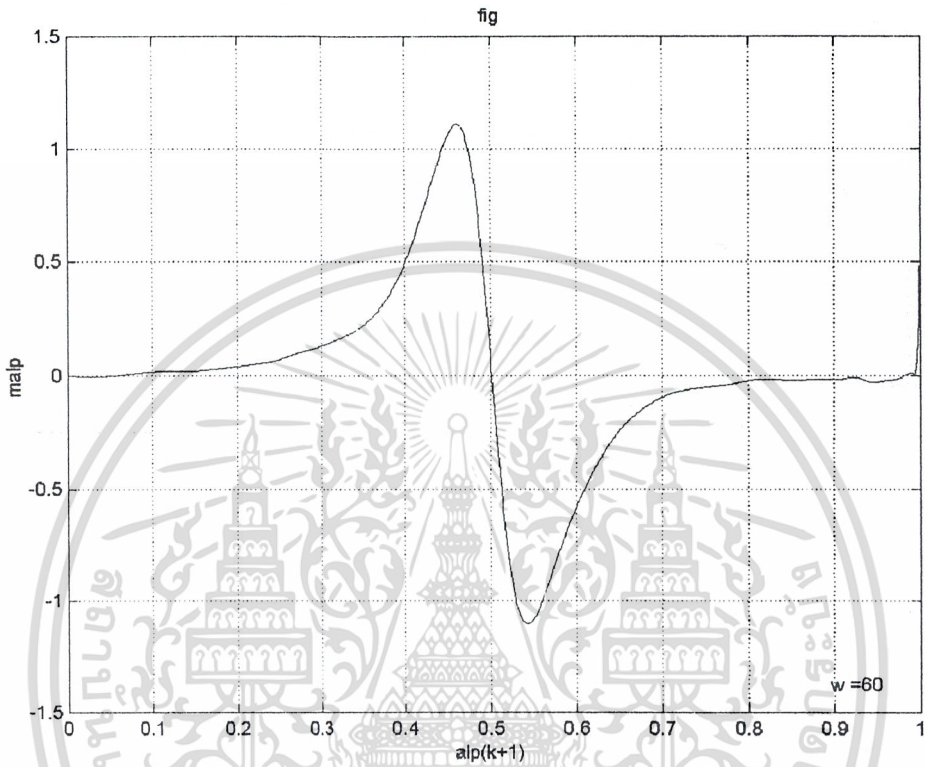
```

w=-1;
while(w<0|w>180)
    w=input('w(0 to 180)\n w=')
end
n=500; k=0:n-1; N=1000;
data=cos(((pi*w/180)*k)+randn(1,1))+0.1*randn(1,length(k));
alp0=0.85; u=0.00005;
x=zeros(n+2,1);
x(3:n+2)=data;
w1=zeros(n+4,1);
alp1=linspace(0,1,N);
y=zeros(n+4,1);
malp1=zeros(N,1);
for i=1:N
    for k=3:n+2
        y(k)=(1-alp0)/2.*(x(k)-x(k-2))+alp1(i)*(1+alp0).*y(k-1)-alp0.*y(k-2);
        w1(k)=alp1(i).(1+alp0).*w1(k-1)-alp0.*w1(k-2)+(1+alp0).*y(k-1);
        malp1(i)=1/6*(y(k-2)*w1(k-2)+y(k-1)*w1(k-1)+y(k)*w1(k)+y(k+1)*w1(k+1)+y(k+2)*w1
(k+2));
    end
end
plot(alp1,malp1,'b');
grid on;
xlabel('alp(k+1)');
ylabel('malp');
title('fig');
hold on;
clear;

```

เอกสารนี้เป็นเอกสารที่สงวนไว้สำหรับการใช้งานเพื่อการศึกษาเท่านั้น ไม่อนุญาตให้นำไปใช้ประโยชน์ด้านการค้า  
ไม่ว่ากรณีใดๆ ทั้งสิ้น อีกทั้งห้ามมิให้ดัดแปลงเนื้อหา และต้องอ้างอิงถึงเจ้าของเอกสารทุกครั้งที่มีการนำไปใช้

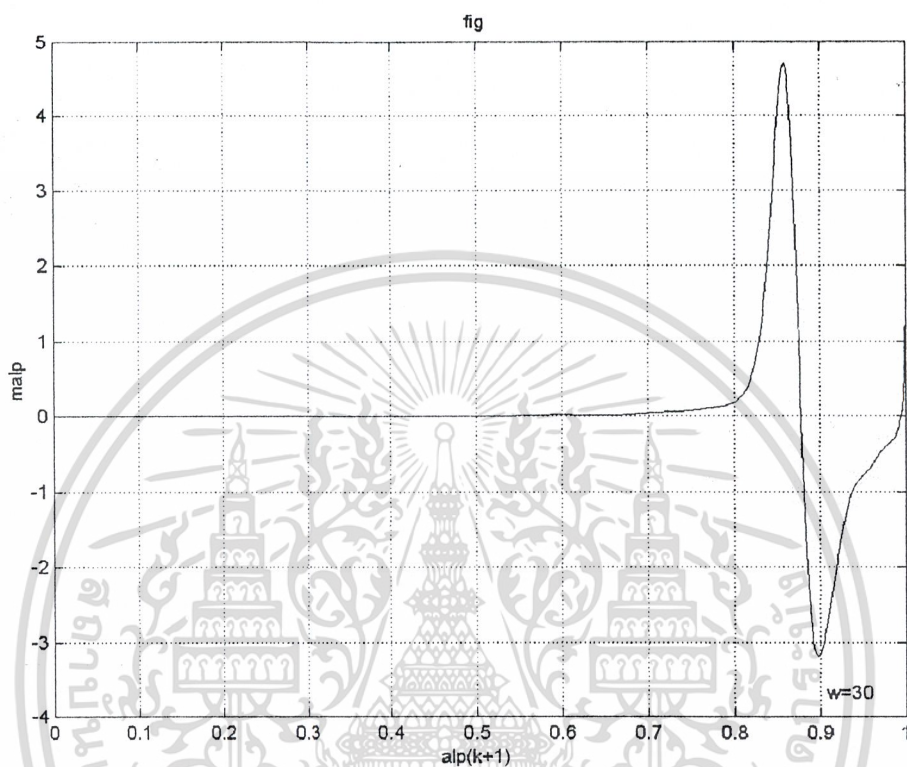
กราฟแสดงคุณสมบัติของ  $m\alpha_0(L, l)$  กรณี  $L=1$



รูปที่ 4.13  $\alpha_0 = 0.85, \omega = \frac{\pi}{3}, \mu = 0.00005$

เอกสารนี้เป็นเอกสารที่สงวนไว้สำหรับการใช้งานเพื่อการศึกษาเท่านั้น ไม่อนุญาตให้นำไปใช้ประโยชน์ด้านการค้า  
ไม่ว่ากรณีใดๆ ทั้งสิ้น อีกทั้งห้ามมิให้ดัดแปลงเนื้อหา และต้องอ้างอิงถึงเจ้าของเอกสารทุกครั้งที่มีการนำไปใช้

กราฟแสดงคุณสมบัติของ  $m\alpha_0(L, l)$  กรณี  $L=1$

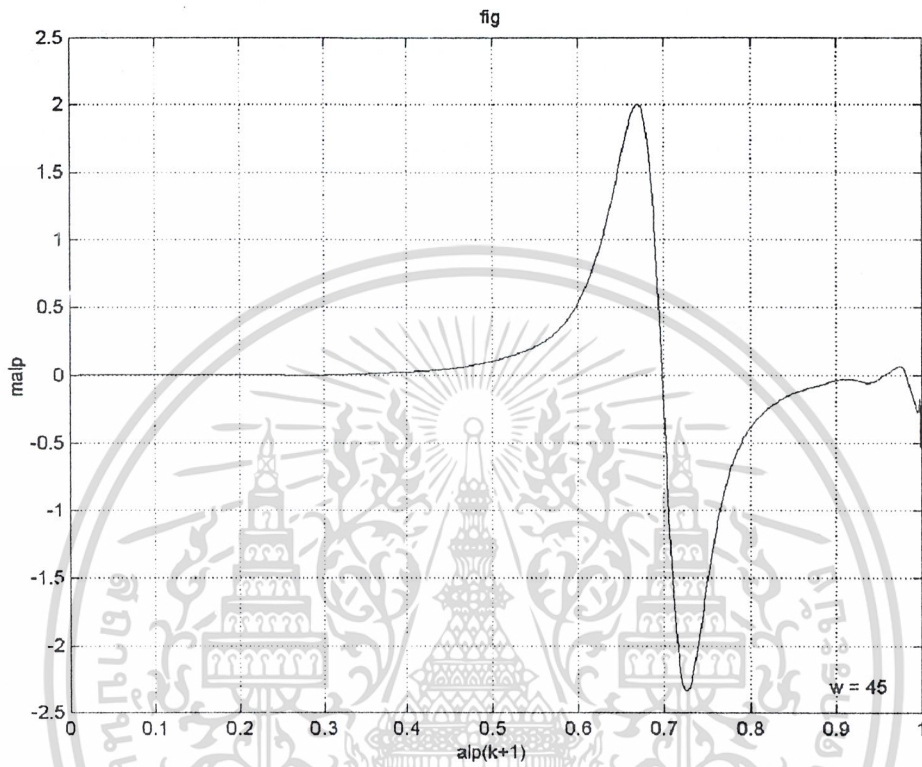


รูปที่ 4.14  $\alpha_0 = 0.85, \omega = \frac{\pi}{6}, \mu = 0.00005$

ก

เอกสารนี้เป็นเอกสารที่สงวนไว้สำหรับการใช้งานเพื่อการศึกษาเท่านั้น ไม่อนุญาตให้นำไปใช้ประโยชน์ด้านการค้า ไม่ว่ากรณีใดๆ ทั้งสิ้น อีกทั้งห้ามมิให้ดัดแปลงเนื้อหา และต้องอ้างอิงถึงเจ้าของเอกสารทุกครั้งที่มีการนำไปใช้

กราฟแสดงคุณสมบัติของ  $m\alpha_0(L, l)$  กรณี  $L=1$



รูปที่ 4.15  $\alpha_0 = 0.85, \omega = \frac{\pi}{4}, \mu = 0.00005$

เอกสารนี้เป็นเอกสารที่สงวนไว้สำหรับการใช้งานเพื่อการศึกษาเท่านั้น ไม่อนุญาตให้นำไปใช้ประโยชน์ด้านการค้า  
ไม่ว่ากรณีใดๆ ทั้งสิ้น อีกทั้งห้ามมิให้ดัดแปลงเนื้อหา และต้องอ้างอิงถึงเจ้าของเอกสารทุกครั้งที่มีการนำไปใช้

โปรแกรมแสดงค่าความสัมพันธ์ที่เหมาะสมที่สุดระหว่าง  $\alpha_0(k)$ ,  $\alpha_1(k)$

```
function p = phi0(k,g0z,g1z,hz,w,L,l,theta,angle_hw)
```

```
p = (g0z.*g1z.*hz).*1.*sin(w*(L*k+l)+theta+4*angle_hw);
```

```
function p = phi1(k,g1z,hz,w,L,l,theta,angle_hw)
```

```
p = g1z.*hz.*1.*sin(w*(L*k+l)+theta+2*angle_hw);
```

```
function alpha_k0=opti(w)
```

```
%alpha_k1=input(' Alpha1(k) =');
```

```
alpha_k1=[-1:0.01:1];
```

```
alpha_k1_low=alpha_k1( find(alpha_k1 <= cos(w)) );
```

```
alpha_k1_up=alpha_k1( find(alpha_k1 >=cos(w)) );
```

```
% For alpha_k1 <= cos(w)
```

```
alpha_k0_low=( sin(w)-cos(w)+alpha_k1_low )./( sin(w)+cos(w)-alpha_k1_low );
```

```
% For ak1 > cos(w)
```

```
alpha_k0_up=( sin(w)+cos(w)-alpha_k1_up )./( sin(w)-cos(w)+alpha_k1_up );
```

```
%
```

```
alpha_k0=[alpha_k0_low alpha_k0_up];
```

```
%function opti_alp(w1,w2)
```

```
w1=pi/3;
```

```
w2=pi/4;
```

```
alpha_k01=opti(w1);
```

```
alpha_k02=opti(w2);
```

```
figure
```

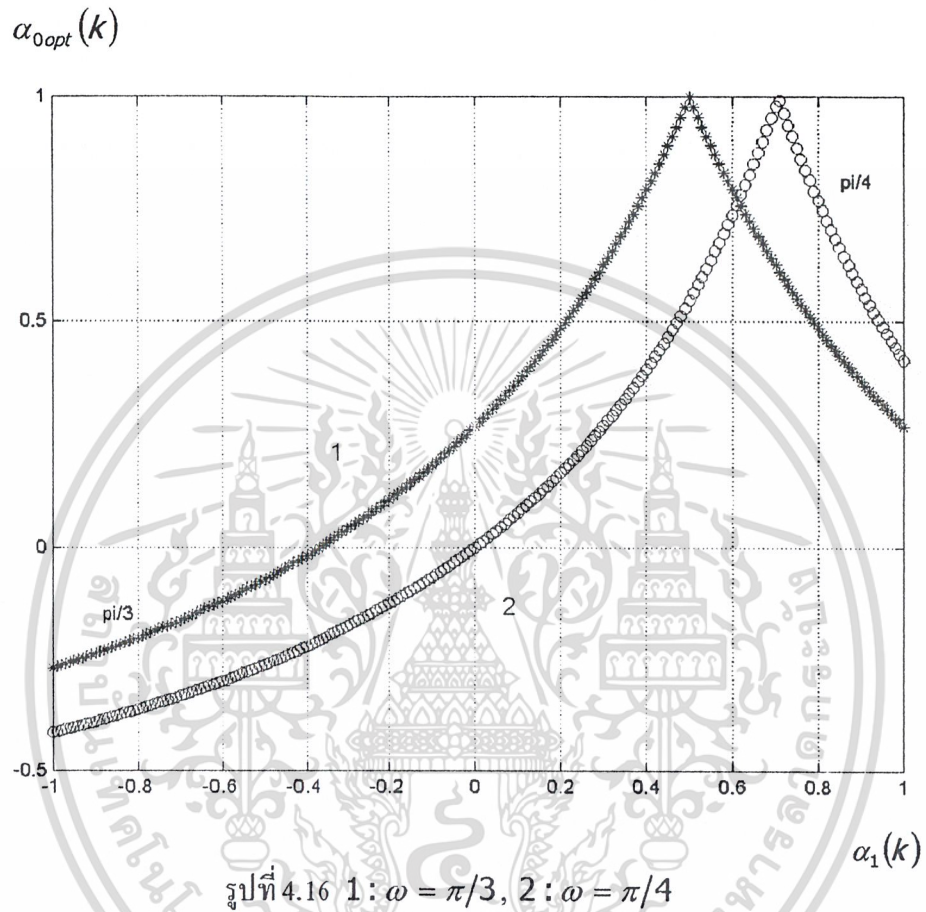
```
plot([-1:0.01:1],alpha_k01,'*'); gtext('pi/3'); hold on
```

```
plot([-1:0.01:1],alpha_k02,'o'); gtext('pi/4'); hold off
```

```
grid on
```

เอกสารนี้เป็นเอกสารที่สงวนไว้สำหรับการใช้งานเพื่อการศึกษาเท่านั้น ไม่อนุญาตให้นำไปใช้ประโยชน์ด้านการค้า  
ไม่ว่ากรณีใดๆ ทั้งสิ้น อีกทั้งห้ามมิให้ดัดแปลงเนื้อหา และต้องอ้างอิงถึงเจ้าของเอกสารทุกครั้งที่มีการนำไปใช้

กราฟแสดงค่าความสัมพันธ์ ที่เหมาะสมที่สุดระหว่าง  $\alpha_0(k)$  และ  $\alpha_1(k)$



เอกสารนี้เป็นเอกสารที่สงวนไว้สำหรับการใช้งานเพื่อการศึกษาเท่านั้น ไม่อนุญาตให้นำไปใช้ประโยชน์ด้านการค้า  
ไม่ว่ากรณีใดๆ ทั้งสิ้น อีกทั้งห้ามมิให้ดัดแปลงเนื้อหา และต้องอ้างอิงถึงเจ้าของเอกสารทุกครั้งที่มีการนำไปใช้

โปรแกรมแสดง Characteristics curves ของ  $m_{\alpha 0}(L, l)$

```

w=input('w = ');
theta=input('theta = ');
L=input('L = ');
l=input('l = ');

%%%%%% optimal alpha 0 & alpha 1 %%%%%%%%%
alpha_k1=[-0.99:0.01:0.99];
alpha_k1_low=alpha_k1( find(alpha_k1 <= cos(w)) );
alpha_k1_up=alpha_k1( find(alpha_k1 >=cos(w)) );
% For alpha_k1 < cos(w)
alpha_k0_low=( sin(w)-cos(w)+alpha_k1_low )./( sin(w)+cos(w)-alpha_k1_low );
% For ak1 > cos(w)
alpha_k0_up=( sin(w)+cos(w)-alpha_k1_up )./( sin(w)-cos(w)+alpha_k1_up );
%
alpha_k0=[alpha_k0_low alpha_k0_up];
%%%%%%%%%%%%%%%%%%%%%%%%%%%%%%%%%%%%%%%%%%%%%%%%%%%%%%%%%%%%%%%%%%%%%%%%
a10 = alpha_k0; a11 = 0.3;
% Define...
% w = angle, a10 = alpha 0, a11 = alpha 1
% theta = angle, k = intervals

%%%%%%%%%%%%%%%%%%%%%%%%%%%%%%%%%%%%%%%%%%%%%%%%%%%%%%%%%%%%%%%%%%%%%%%%
% hz = H(z)
temp_hz = (sin(w)^2)./( ((1+a10)/(1-a10)).^2 .*(cos(w)-a11).^2 +sin(w)^2 );
hz = sqrt(abs(temp_hz));

%%%%%%%%%%%%%%%%%%%%%%%%%%%%%%%%%%%%%%%%%%%%%%%%%%%%%%%%%%%%%%%%%%%%%%%%
% angle_hw = angle_H(w)

```

เอกสารนี้เป็นเอกสารที่สงวนไว้สำหรับการใช้งานเพื่อการศึกษาเท่านั้น ไม่อนุญาตให้นำไปใช้ประโยชน์ด้านการค้า  
ไม่ว่ากรณีใดๆ ทั้งสิ้น อีกทั้งห้ามมิให้ดัดแปลงเนื้อหา และต้องอ้างอิงถึงเจ้าของเอกสารทุกครั้งที่มีการนำไปใช้

```
angle_hw = pi/2 -atan( ((1-a10)*sin(w))./((1+a10).*(cos(w)-a11)) );
```

```
%%%%%%%%%%%%%%%%%%%%%%%%%%%%%%%%%%%%%%%%%%%%%%%%%%%%%%%%%%%%%%%%%%%%%%%%%
```

```
% g0z = G0(z)
```

```
g0z = abs( 2./(1-a10.^2) );
```

```
% g1z = G1(z)
```

```
temp_g1z = 1./ ( cos(w)-a11).^2 +(((1-a10)./(1+a10)).^2)*sin(w)^2 );
```

```
g1z = sqrt(abs(temp_g1z));
```

```
%%%%%%%%%%%%%%%%%%%%%%%%%%%%%%%%%%%%%%%%%%%%%%%%%%%%%%%%%%%%%%%%%%%%%%%%%
```

```
% angle_g0w = angle_G0(w)
```

```
angle_g0w = 2*angle_hw;
```

```
% angle_g1w = angle_G1(w)
```

```
angle_g1w = angle_hw -pi/2;
```

```
%%%%%%%%%%%%%%%%%%%%%%%%%%%%%%%%%%%%%%%%%%%%%%%%%%%%%%%%%%%%%%%%%%%%%%%%%
```

```
K = pi/w;
```

```
temp = 0;
```

```
for k =0:2*K-1
```

```
    temp = temp + phi1(k,g1z,hz,w,L,l,theta,angle_hw)...
```

```
    .*phi0(k,g0z,g1z,hz,w,L,l,theta,angle_hw);
```

```
end
```

```
m10 = temp/(2*K);
```

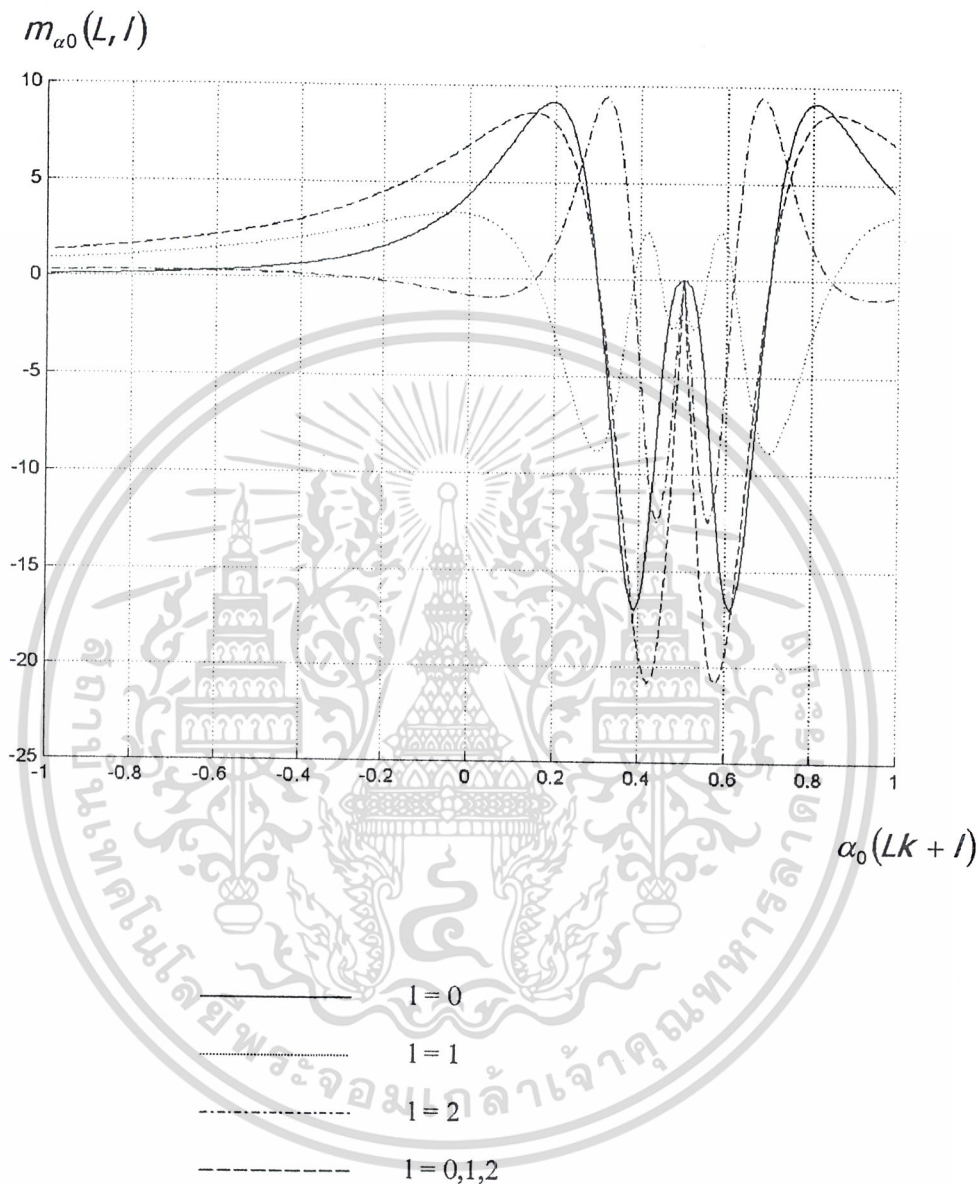
```
figure(200),hold on
```

```
plot([-0.99:0.01:0.99],m10,'-k');hold off
```

```
grid on;
```

เอกสารนี้เป็นเอกสารที่สงวนไว้สำหรับการใช้งานเพื่อการศึกษาเท่านั้น ไม่อนุญาตให้นำไปใช้ประโยชน์ด้านการค้า  
ไม่ว่ากรณีใดๆ ทั้งสิ้น อีกทั้งห้ามมิให้ดัดแปลงเนื้อหา และต้องอ้างอิงถึงเจ้าของเอกสารทุกครั้งที่มีการนำไปใช้

กราฟแสดง Characteristics curves ของ  $m_{\alpha_0}(L, l)$



รูปที่ 4.17  $\alpha_1(k) = 0.3, \omega = \frac{\pi}{3}, \ominus = 0$

เอกสารนี้เป็นเอกสารที่สงวนไว้สำหรับการใช้งานเพื่อการศึกษาเท่านั้น ไม่อนุญาตให้นำไปใช้ประโยชน์ด้านการค้า ไม่ว่ากรณีใดๆ ทั้งสิ้น อีกทั้งห้ามมิให้ดัดแปลงเนื้อหา และต้องอ้างอิงถึงเจ้าของเอกสารทุกครั้งที่มีการนำไปใช้

โปรแกรมแสดงกระบวนการ convergence ของ  $\alpha_1(k)$

```

clear
clc
figure(5)
%alpha1(k){L=1}
w=60;
%while(w<0|w>180);
%w=input('w(0 to 180)\n(W=)');
%end
n=15000;
k=0:n-1;
data=cos((pi*w/180)*k+randn(1,1))+0.1*randn(1,n);
alp0=0.8;
u=0.0005;
x=zeros(n+2,1);
x(3:n+2)=data;
w1=zeros(n+2,1);
alp1=zeros(n+2,1);
y=zeros(n+2,1);
for k=3:n+2;
    y(k)=(1-alp0)/2.*(x(k)-x(k-2))+alp1(k).*(1+alp0).*y(k-1)-alp0.*y(k-2);
    w1(k)=alp1(k).*(1+alp0).*w1(k-1)-alp0.*w1(k-2)+(1+alp0).*y(k-1);
    alp1(k+1)=alp1(k)+u*y(k)*w1(k);
end
plot(alp1);
clear

```

```

clc
figure(5)
%alpha1(k){L=1}
w=60;
%while(w<0|w>180);
%w=input('w(0 to 180)\n(W=)');
%end
n=15000;
k=0:n-1;
data=cos((pi*w/180)*k+randn(1,1))+0.1*randn(1,n);
alp0=0.8;
u=0.0005;
x=zeros(n+2,1);
x(3:n+2)=data;
w1=zeros(n+2,1);
alp1=zeros(n+2,1);
y=zeros(n+2,1);
for k=3:n+2;
    y(k)=(1-alp0)/2.*(x(k)-x(k-2))+alp1(k).*(1+alp0).*y(k-1)-alp0.*y(k-2);
    w1(k)=alp1(k).*(1+alp0).*w1(k-1)-alp0.*w1(k-2)+(1+alp0).*y(k-1);
    alp1(k+1)=alp1(k)+u*y(k)*w1(k);
end
plot(alp1);
clear

```

เอกสารนี้เป็นเอกสารที่สงวนไว้สำหรับการใช้งานเพื่อการศึกษาเท่านั้น ไม่อนุญาตให้นำไปใช้ประโยชน์ด้านการค้า  
ไม่ว่ากรณีใดๆ ทั้งสิ้น อีกทั้งห้ามมิให้ดัดแปลงเนื้อหา และต้องอ้างอิงถึงเจ้าของเอกสารทุกครั้งที่มีการนำไปใช้

```

clc
%alpha1(k) {L=1}
w=60;
%while(w<0|w>180);
% w=input('w(0 to 180)\n(W=)');
%end
n=15000;
k=0:n-1;
data=cos((pi*w/180)*k)+0.1*randn(1,n);
alp0=0.8;
u1max =0.001; u1min =0.000001;
alp0max =0.99; alp0min =-0.99;
u1=((u1max-u1min)/(alp0max-alp0min))*(alp0max-alp0)+u1min;
x=zeros(n+2,1);
x(3:n+2)=data;
w1=zeros(n+2,1);
alp1=zeros(n+2,1);
y=zeros(n+2,1);
for k=3:n+2;
    y(k)=(1-alp0)/2.*(x(k)-x(k-2))+alp1(k).*(1+alp0).*y(k-1)-alp0.*y(k-2);
    w1(k)=alp1(k).*(1+alp0).*w1(k-1)-alp0.*w1(k-2)+(1+alp0).*y(k-1);
    alp1(k+1)=alp1(k)+u1*(x(k)-y(k))*w1(k);
end
figure(5)
plot(alp1);
clear

```

เอกสารนี้เป็นเอกสารที่สงวนไว้สำหรับการใช้งานเพื่อการศึกษาเท่านั้น ไม่อนุญาตให้นำไปใช้ประโยชน์ด้านการค้า  
ไม่ว่ากรณีใดๆ ทั้งสิ้น อีกทั้งห้ามมิให้ดัดแปลงเนื้อหา และต้องอ้างอิงถึงเจ้าของเอกสารทุกครั้งที่มีการนำไปใช้

```

clc
w=60;
%while(w<0|w>180)
% w=input('w(0 to 180)\n w=')
%end
n=50000;
k=0:n-1;
data1=cos((pi*w/180)*k)+0.1*randn(1,n);
alp0=0.85;
u=4.7527e-004;
x=zeros(n+3,1);
x(4:n+3)=data1;
y=zeros(n+3,1);
w1=zeros(n+3,1);
alp1=zeros(n+3,1);
for k=3:((n+3)-mod(n,2))/2

y(2*k) = ((1-alp0)/2)*...
( x(2*k)+alp1(k)*(1+alp0)*x(2*k-1)-(1-alp0)*x(2*k-2)...
-alp1(k)*(1+alp0)*x(2*k-3)-alp0*x(2*k-4) )...
+( alp1(k)^2*(1+alp0^2)+2*alp0)*y(2*k-2)-alp0^2*y(2*k-4);

y(2*k+1) = ((1-alp0)/2)*...
( alp1(k)*(1+alp0)*x(2*k)+x(2*k+1)-(1-alp0)*x(2*k-1)...
-alp1(k)*(1+alp0)*x(2*k-2)-alp0*x(2*k-3) )...
+( alp1(k)^2*(1+alp0^2)+2*alp0)*y(2*k-1)-alp0^2*y(2*k-3);

w1(2*k) = ((1-alp0)/2)*...

```

เอกสารนี้เป็นเอกสารที่สงวนไว้สำหรับการใช้งานเพื่อการศึกษาเท่านั้น ไม่อนุญาตให้นำไปใช้ประโยชน์ด้านการค้า  
ไม่ว่ากรณีใดๆ ทั้งสิ้น อีกทั้งห้ามมิให้ดัดแปลงเนื้อหา และต้องอ้างอิงถึงเจ้าของเอกสารทุกครั้งที่มีการนำไปใช้

```

((1+alp0)*x(2*k-1)-(1+alp0)*x(2*k-3) )...
+2*alp1(k)*(1+alp0)^2*y(2*k-2)...
+( alp1(k)^2*(1+alp0^2)+2*alp0 )*w1(2*k-2)...
+alp0^2*w1(2*k-4);

```

```
w1(2*k+1) =((1-alp0)/2)*...
```

```

((1+alp0)*x(2*k)-(1+alp0)*x(2*k-2) )...
+2*alp1(k)*(1+alp0)^2*y(2*k-1)...
+( alp1(k)^2*(1+alp0^2)+2*alp0 )*w1(2*k-1)-alp0^2*w1(2*k-3);

```

```
alp1(k+1)=alp1(k)+u*((x(2*k)-y(2*k))*w1(2*k) + (x(2*k+1)-y(2*k+1))*w1(2*k+1) );
```

```
end
```

```
figure(5)
```

```
plot(alp1(1:16000),'k');
```

```
clear
```

เอกสารนี้เป็นเอกสารที่สงวนไว้สำหรับการใช้งานเพื่อการศึกษาเท่านั้น ไม่อนุญาตให้นำไปใช้ประโยชน์ด้านการค้า  
ไม่ว่ากรณีใดๆ ทั้งสิ้น อีกทั้งห้ามมิให้ดัดแปลงเนื้อหา และต้องอ้างอิงถึงเจ้าของเอกสารทุกครั้งที่มีการนำไปใช้

```

clc
w=60;
%while(w<0|w>180)
% w=input('w(0 to 180)\n(w=)');
%end
n=50000;
k=0:n-1;
data1=cos((pi*w/180)*k)+0.1*randn(1,n);
alp0=0.85;
u=4.7527e-004;
x=zeros(n+3,1);
x(4:n+3)=data1;
y=zeros(n+3,1);
w1=zeros(n+3,1);
alp1=zeros(n+3,1);
for k=3:((n+3)-mod(n,3))/3
    A =alp1(k)*(1+alp0);

y(3*k)=((1-alp0)/2)*...
    ( x(3*k)+A*x(3*k-1)+(A^2-alp0-1)*x(3*k-2)-(1-alp0)*A*x(3*k-3)...
    +(alp0^2+alp0-A^2)*x(3*k-4)-A*alp0*x(3*k-5)-(alp0^2)*x(3*k-6) )...
    +(A^3-3*A*alp0)*y(3*k-3)-(alp0^3)*y(3*k-6);

y(3*k+1)=((1-alp0)/2)*...
    ( A*x(3*k)+x(3*k+1)+(A^2-alp0-1)*x(3*k-1)-(1-alp0)*A*x(3*k-2)...
    +(alp0^2+alp0-A^2)*x(3*k-3)-A*alp0*x(3*k-4)-(alp0^2)*x(3*k-5) )...
    +(A^3-3*A*alp0)*y(3*k-2)-(alp0^3)*y(3*k-5);

```

เอกสารนี้เป็นเอกสารที่สงวนไว้สำหรับการใช้งานเพื่อการศึกษาเท่านั้น ไม่อนุญาตให้นำไปใช้ประโยชน์ด้านการค้า  
ไม่ว่ากรณีใดๆ ทั้งสิ้น อีกทั้งห้ามมิให้ดัดแปลงเนื้อหา และต้องอ้างอิงถึงเจ้าของเอกสารทุกครั้งที่มีการนำไปใช้

$$y(3^*k+2)=((1-\text{alp0})/2)*...$$

$$\begin{aligned} & ((A^2-\text{alp0}-1)*x(3^*k)+A*x(3^*k+1)+x(3^*k+2)-(1-\text{alp0})*A*x(3^*k-1)... \\ & +(\text{alp0}^2+\text{alp0}-A^2)*x(3^*k-2)-A*\text{alp0}*x(3^*k-3)-(\text{alp0}^2)*x(3^*k-4) )... \\ & +(A^3-3*A*\text{alp0})*y(3^*k-1)-(\text{alp0}^3)*y(3^*k-4); \end{aligned}$$

$$w1(3^*k)=((1-\text{alp0})/2)*...$$

$$\begin{aligned} & ((1+\text{alp0})*x(3^*k-1)+2*A*(1+\text{alp0})*x(3^*k-2)+(1-\text{alp0}^2)*x(3^*k-3)... \\ & -2*A*(1+\text{alp0})*x(3^*k-4)-(1+\text{alp0})*\text{alp0}*x(3^*k-5) )... \\ & +(3*A^2*(1+\text{alp0})-3*\text{alp0}*(1+\text{alp0}))*y(3^*k-3)... \\ & +(A^3-3*A*\text{alp0})*w1(3^*k-3)-(\text{alp0}^3)*w1(3^*k-6); \end{aligned}$$

$$w1(3^*k+1)=((1-\text{alp0})/2)*...$$

$$\begin{aligned} & ((1+\text{alp0})*x(3^*k)+2*A*(1+\text{alp0})*x(3^*k-1)+(1-\text{alp0}^2)*x(3^*k-2)... \\ & -2*A*(1+\text{alp0})*x(3^*k-3)-(1+\text{alp0})*\text{alp0}*x(3^*k-4) )... \\ & +(3*A^2*(1+\text{alp0})-3*\text{alp0}*(1+\text{alp0}))*y(3^*k-2)+(A^3-3*A*\text{alp0})*w1(3^*k-2)... \\ & -(\text{alp0}^3)*w1(3^*k-5); \end{aligned}$$

$$w1(3^*k+2)=((1+\text{alp0})/2)*...$$

$$\begin{aligned} & (2*A*(1+\text{alp0})*x(3^*k)+(1+\text{alp0})*x(3^*k+1)+(1-\text{alp0}^2)*x(3^*k-1)... \\ & -2*A*(1+\text{alp0})*x(3^*k-2)-(1+\text{alp0})*\text{alp0}*x(3^*k-3) )... \\ & +(3*A^2*(1+\text{alp0})-3*\text{alp0}*(1+\text{alp0}))*y(3^*k-1)... \\ & +(A^3-3*A*\text{alp0})*w1(3^*k-1)-(\text{alp0}^3)*w1(3^*k-4); \end{aligned}$$

$$\text{alp1}(k+1)=\text{alp1}(k)+u*(x(3^*k)-y(3^*k))*w1(3^*k)...$$

$$+(x(3^*k+1)-y(3^*k+1))*w1(3^*k+1)...$$

$$+(x(3^*k+2)-y(3^*k+2))*w1(3^*k+2) );$$

end

figure(5)

plot(alp1(1:16000),'r');

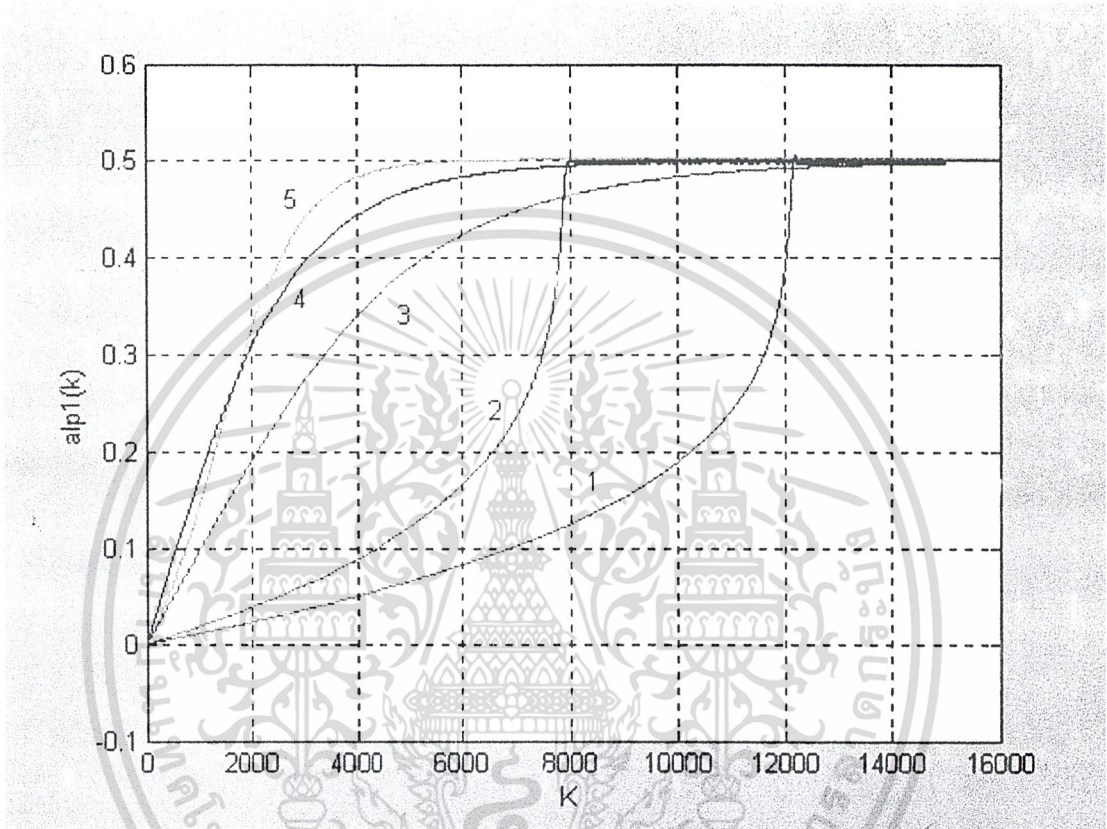
เอกสารนี้เป็นเอกสารที่สงวนไว้สำหรับการใช้งานเพื่อการศึกษาเท่านั้น ไม่อนุญาตให้นำไปใช้ประโยชน์ด้านการค้า  
ไม่ว่ากรณีใดๆ ทั้งสิ้น อีกทั้งห้ามมิให้ตัดแปลงเนื้อหา และต้องอ้างอิงถึงเจ้าของเอกสารทุกครั้งที่มีการนำไปใช้

```
grid on;  
xlabel('K');  
ylabel('alp1(k)');  
hold on
```



เอกสารนี้เป็นเอกสารที่สงวนไว้สำหรับการใช้งานเพื่อการศึกษาเท่านั้น ไม่อนุญาตให้นำไปใช้ประโยชน์ด้านการค้า  
ไม่ว่ากรณีใดๆ ทั้งสิ้น อีกทั้งห้ามมิให้ดัดแปลงเนื้อหา และต้องอ้างอิงถึงเจ้าของเอกสารทุกครั้งที่มีการนำไปใช้

กราฟแสดงกระบวนการ convergence ของ  $\alpha_1(k)$



รูปที่ 4.18 กระบวนการ convergence ของ  $\alpha_1(k)$  (3)l=1,(4)l=2,(5)l=3

ค่าที่ใช้ในการในการจำลอง  $A = 1$ ,  $\text{SNR} = 10\text{dB}$ ,  $\omega = \pi/3$ ,  $\theta = 0$ ,

$$\mu_{1\max} = 0.001, \mu_{1\min} = 0.000001, \mu_{0\max} = 0.01, \mu_{0\min} = 0.00001$$

$$\alpha_{0\max} = 0.99, \alpha_{0\min} = -0.99, K_1 = 1, K_0 = 0$$

เอกสารนี้เป็นเอกสารที่สงวนไว้สำหรับการใช้งานเพื่อการศึกษาเท่านั้น ไม่อนุญาตให้นำไปใช้ประโยชน์ด้านการค้า  
ไม่ว่ากรณีใดๆ ทั้งสิ้น อีกทั้งห้ามมิให้ดัดแปลงเนื้อหา และต้องอ้างอิงถึงเจ้าของเอกสารทุกครั้งที่มีการนำไปใช้

## บทที่ 5

### สรุปผลการทดลอง

จากผลของการวิเคราะห์และออกแบบ Adaptive algorithm แบบโครงสร้างบล็อกขนาน โดยการนำเอา coefficient update circuit ในแต่ละสาขามาทำงานร่วมกันภายในวงจรเดียว เพื่อที่จะทำให้ผลการ convergence ของค่า  $\alpha_1(k)$  มีความรวดเร็วและถูกต้องในค่าที่เหมาะสมที่สุด

ค่าของ convergence ของแต่ละสาขาของการ filter จะต้องแตกต่างจากค่าเริ่มต้น โดยขึ้นอยู่กับค่าของ  $\alpha_0(Lk + 1)$  ในแต่ละสาขา และ จำนวนครั้งของการคำนวณจะมีขนาดใหญ่ algorithm แบบโครงสร้างแบบบล็อกขนานที่มีวงจรสัมพันธ์การ update ต้องการเพียงแค่เก็บค่าสัมประสิทธิ์เพียงค่าเดียวเท่านั้นที่ update แล้วในแต่ละสาขาของตัว filter ซึ่งสามารถที่จะลดจำนวนครั้งของการคำนวณที่ซับซ้อนลง จะทำให้วงจรมีส่วนประกอบของอุปกรณ์น้อยกว่าในโครงสร้างแบบสเกลาร์เราทราบได้จากการเปรียบเทียบ ตัวบวก  $\oplus$  ตัวคูณ  $\otimes$  ที่เป็นผลรวมในตารางที่ 4 และ 5

จากกราฟแสดงคุณสมบัติต่างๆ ทำให้เราได้ทราบถึงประสิทธิภาพการทำงานของ การติดตามสัญญาณอินพุตที่มีความรวดเร็ว ถูกต้องเพียงใด

## เอกสารอ้างอิง

1. วัลลภ สุระกำพลธร, การประมวลผลสัญญาณเชิงเลข ( Digital Signal Processing ), สถาบันเทคโนโลยีพระจอมเกล้าเจ้าคุณทหารลาดกระบัง, สำนักพิมพ์ ไดนาพรีนท์ , ตุลาคม พ.ศ. 2533
2. อรรถสิทธิ์ เหล่าสกุล, Digital Signal Processing (Fundamentals), สถาบันเทคโนโลยีพระจอมเกล้าเจ้าคุณทหารลาดกระบัง
3. มนัส สัจจวิเศษ, วรรณ ภัทรอมรกุล, คู่มือการใช้งาน MATLAB ฉบับสมบูรณ์, สำนักพิมพ์ อินโฟเพรส, พิมพ์ครั้งที่ 1 2543
4. S.Nishimura, S.Mori, J.K.Kim and K.Hirano, “Parallel block structure for adaptive high speed noise canceller ” Trans.IEICE, J72-A, No.5, pp.786-794, May 1998.
5. K.Maruyama, C.Benjangkprasert, N.Takebe, “High speed adaptive noise canceller with parallel block structure”, Trans.IEICE,E79A, No.3, pp.275-282, Mar.1996.

เอกสารนี้เป็นเอกสารที่สงวนไว้สำหรับการใช้งานเพื่อการศึกษาเท่านั้น ไม่อนุญาตให้นำไปใช้ประโยชน์ด้านการค้า  
ไม่ว่ากรณีใดๆ ทั้งสิ้น อีกทั้งห้ามมิให้ดัดแปลงเนื้อหา และต้องอ้างอิงถึงเจ้าของเอกสารทุกครั้งที่มีการนำไปใช้